

به نام خدا

# سرای دانشجو

دانلود برترین جزوات و فیلم های دانشجویی

بامادرارتباط باشید



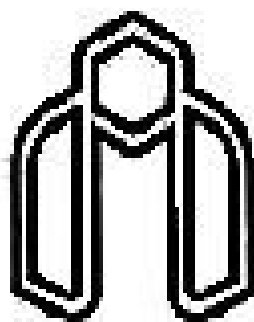
Website:

[www.sarayedaneshjo.com](http://www.sarayedaneshjo.com)

Email:

[info.sarayedaneshjo@gmail.com](mailto:info.sarayedaneshjo@gmail.com)

دانش اگر در ثریا هم باشد مردانی انر سرزمین پارس بدان دست خواهند یافت. رسول اکرم (ص)



دانشگاه صنعتی شاهرود

دانشکده مهندسی برق و رباتیک

# مخابرات ۱

استاد مربوطه : دکتر هادی گرایلو



## فهرست مطالب

صفحه	عنوان
۱	فصل اول : انتقال سیگنال و فیلتر کردن
۱	دیاگرام یک سیستم مخابراتی
۱	فرستنده
۱	کانال انتقال
۲	گیرنده
۴	انرژی سیگنال
۵	اعوجاج
۵	اعوجاج خطی
۶	تعدیل
۹	اعوجاج غیرخطی
۱۳	اتلاف توان در انتقال
۱۵	اتلاف توان و تکرارکننده‌ها
۱۶	عملگر متوسط‌گیری
۱۷	توابع همبستگی
۱۷	تابع همبستگی متقابل
۱۷	تابع خودهمبستگی
۱۸	دو سیگنال ناهمبسته

۱۸	.....	همبستگی سیگنالهای انرژی
۱۹	.....	توابع همبستگی بین ورودی- خروجی در یک سیستم LTI
۲۰	.....	تابع چگالی طیفی
۲۳	.....	<b>فصل دوم : نویز</b>
۲۳	.....	نویز حرارتی
۲۵	.....	قضیه انتقال توان ماکزیمم
۲۶	.....	نویز سفید
۲۶	.....	دمای نویز
۲۷	.....	برخی روابط مربوط به اعمال نویز سفید گوسی به یک سیستم LTI
۲۹	.....	محاسبه پهنای باند معادل نویز
۳۰	.....	انتقال سیگنال با نویز
۳۱	.....	نسبت سیگنال به نویز (SNR)
۳۲	.....	سیستم انتقال باند پایه آنالوگ
۳۳	.....	نویز تقویت کننده
۳۶	.....	آشکارسازی پالس و فیلترهای تطبیق یافته
۳۹	.....	<b>فصل سوم : مدولاسیون پیوسته خطی</b>
۴۰	.....	الف) مدولاسیون AM
۴۲	.....	ب) مدولاسیون DSB یا DSB-SC
۴۳	.....	مدولاتور

۴۳	.....	۱-مدولاتورهای ضرب کننده
۴۴	.....	۲- مدولاتورهای قانون مجذور و مدولاتورهای متعادل
۴۶	.....	۳- مدولاتورهای سوئیچی
۴۷	.....	ج) مدولاسیون SSB
۴۹	.....	مدارات تولید سیگنال SSB
۵۱	.....	تبدیل فرکانسی
۵۱	.....	دمودلاسیون
۵۲	.....	الف) آشکارسازی سنکرون
۵۴	.....	ب) آشکارسازی پوش
۵۷	.....	<b>فصل چهارم : مدولاسیون موج پیوسته نمایی</b>
۵۷	.....	مدولاسیون نمایی
۵۸	.....	مدولاسیون PM
۵۸	.....	مدولاسیون FM
۶۰	.....	FM و PM باند باریک
۶۱	.....	مدولاسیون تُن
۶۴	.....	بررسی فازوری مدولاسیون نمایی در حالت تک تُن
۶۵	.....	محاسبه پهنای باند FM
۶۸	.....	اعوجاج خطی
۷۰	.....	تولید مستقیم FM
۷۰	.....	تولید PM

۷۱	.....	تولید غیرمستقیم FM
۷۲	.....	آشکارسازی فرکانسی
۷۵	.....	تداخل
۷۶	.....	فیلترهای deemphasis و preemphasis

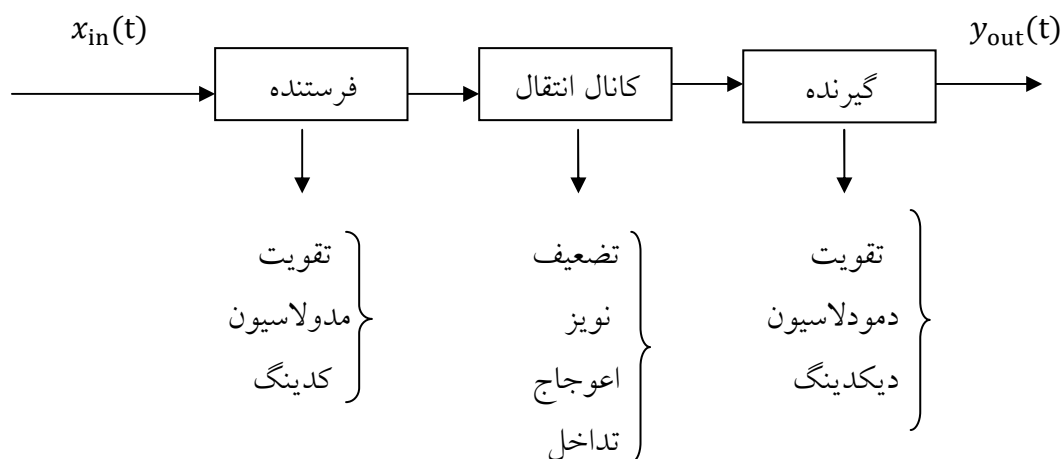
گردآورنده : مرتضی شامانی

بهمن ماه ۸۹

# فصل اول

## انتقال سیگنال و فیلتر کردن

### دیاگرام یک سیستم مخابراتی :



**فرستنده:** فرستنده سیگنال ورودی  $x_{in}(t)$  را به سیگنالی تبدیل می کند که مناسب انتقال در داخل کانال باشد. لذا اعمال پردازش سیگنال که در آنجا انجام می شود تقریباً همیشه شامل تقویت، مدولاسیون<sup>۱</sup> و احتمالاً رمزنگاری<sup>۲</sup> است.

مدولاسیون مشخصات طیفی سیگنال ورودی را متناسب با مشخصات طیفی کانال تغییر می دهد و کدینگ سیگنال ورودی را به گونه ای تغییر می دهد که احتمال یا نرخ خطا در گیرنده (بدلیل وجود نویز، تداخل و اعوجاج) کاهش یابد.

**کانال انتقال:** در کانال انتقال معمولاً توان سیگنال ورودی کاهش می یابد که به آن تضعیف<sup>۳</sup> می گویند. لذا

1. modulation  
3.attenuation

2. coding



لازم است در گیرنده واحدی برای تقویت<sup>۱</sup> وجود داشته باشد. کانال انتقال علاوه بر تضعیف شامل نویز، تداخل و اعوجاج نیز می باشد که بسیار جدی تر از تضعیف هستند زیرا آنها شکل سیگنال را تغییر می دهند حال آنکه تضعیف فقط اندازه سیگنال را تغییر می دهد که با یک تقویت کننده قابل جبران است.

**نویز:** به تغییرات تصادفی و غیر قابل پیش بینی سیگنال الکتریکی گفته می شود. نویز در اثر فرآیندهای طبیعی داخل و یا خارج سیستم تولید می شود. بطور مثال مقاومت الکتریکی نویز دارد. در عمل، نویز همواره وجود دارد و نمی توان آن را بطور کامل حذف کرد.

**اعوجاج:** به تغییر شکل غیرخطی سیگنال ورودی در حوزه زمان گفته می شود. اگر سیگنال ورودی صفر باشد اعوجاج هم صفر است. برای حذف یا کاهش اثرات اعوجاج از تعدیل کننده<sup>۲</sup> و یا کامپندینگ<sup>۳</sup> استفاده می شود. مهمترین تفاوت نویز و اعوجاج این است که سیستم دارای اعوجاج دارای رفتاری قابل تشخیص است، اما نویز اینگونه نیست. (نویز یعنی یک سیگنال تصادفی) سیستمی که دارای ورودی نیست اگر به آن اعوجاج دهیم خروجی نخواهیم داشت، اما در مورد نویز چه ورودی بدهیم چه ندهیم؛ در خروجی، نویز خواهیم داشت.

**تداخل:** به تأثیر عوامل محیطی روی سیگنال اصلی گفته می شود که راه حل آن استفاده از فیلترهای مناسب است.

**توجه:** نویز، تداخل و اعوجاج در هر نقطه از سیستم مخابراتی ممکن است روی دهد اما مرسوم است که همه آنها را در قسمت مربوط به کانال مدل کنند و بقیه سیستم را ایده آل فرض می کنند.

**گیرنده:** تمام کارهای لازم برای تبدیل سیگنال دریافتی  $x_{in}(t)$  از کانال انتقال به سیگنال پیغام  $y_{out}(t)$  را باید انجام دهد. از جمله:

▪ تقویت توان (بخاطر تضعیف کانال)

1. amplification  
3. companding

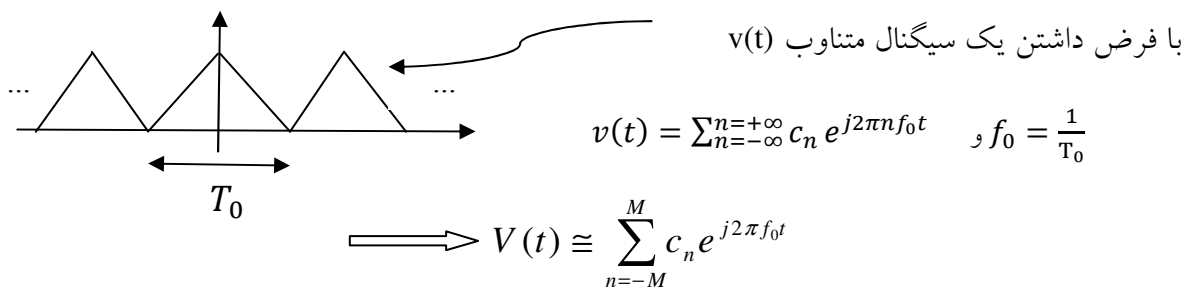
2. equalizer

■ دمدولاسیون<sup>۱</sup> برای برگرداندن سیگنال از حوزه طیفی کانال به حوزه طیفی اولیه

■ دیکدینگ<sup>۲</sup> برای استخراج پیام از سیگنال کد شده.

لذا در یک سیستم مخابراتی ایده آل باید:  $y_{out}(t) = x_{in}(t)$

### یادآوری سری فوریه :



در یک سیستم LTI (خطی تغییرناپذیر با زمان) داریم:

$$y(t) = x(t) * h(t) = h(t) * x(t) \quad \text{که } h(t) \text{ پاسخ ضربه}^3 \text{ است.}$$

تابع انتقال  $h(t)$  برابر است با:  $\mathcal{F}\{h(t)\} = H(f) = \int_{-\infty}^{+\infty} h(t) e^{-j2\pi f t} dt$

اگر  $h(t)$  حقیقی باشد  $H(f)$  تقارن هرمیتی دارد، یعنی:

$$H(-f) = H^*(f) \equiv \begin{cases} |H(f)| & \text{تابع زوج} \\ \angle H(f) & \text{تابع فرد} \end{cases}$$

**نکته:** شرط لازم برای وجود تبدیل فوریه، LTI بودن است.

در یک سیستم LTI اگر ورودی  $x(t)$  و خروجی  $y(t)$  باشد، داریم:

$$x(t) = A_x \cos(2\pi f_0 t + \varphi_x) \rightarrow y(t) = A_y \cos(2\pi f_0 t + \varphi_y)$$

$$\begin{cases} A_y = A_x |H(f)|_{f=f_0} \\ \varphi_y = \varphi_x + \angle H(f_0) \end{cases}$$

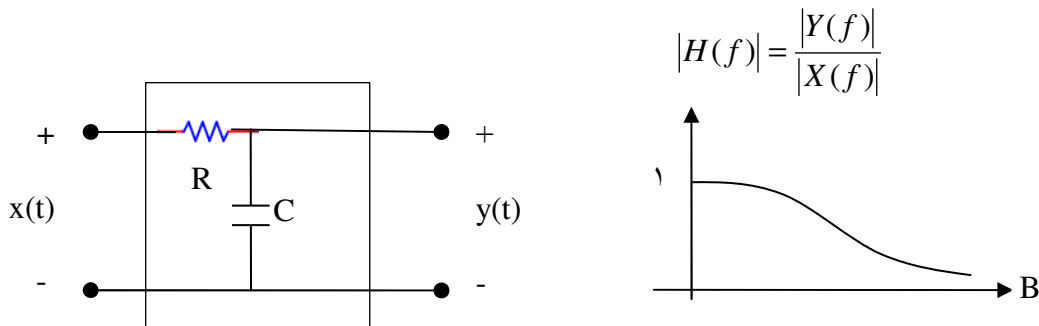
منظور از پاسخ فرکانسی<sup>۱</sup> یک سیستم LTI، رسم همزمان دو منحنی  $|H(f)|$  و  $\angle H(f)$  بر حسب فرکانس  $f$  است.

## انرژی سیگنال :

برای سیگنال خروجی سیستم LTI می توان نوشت :

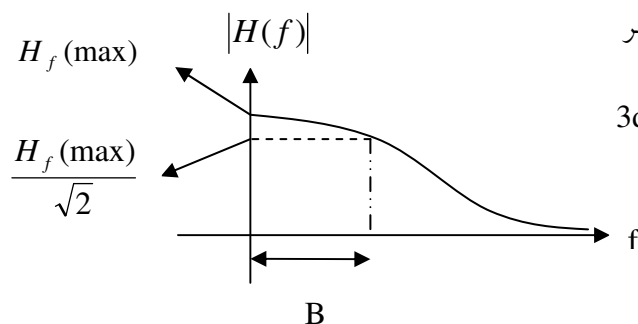
$$E_y = \int_{-\infty}^{+\infty} |y(t)|^2 dt = \int_{-\infty}^{+\infty} |y(f)|^2 df = \int_{-\infty}^{+\infty} |X(f)|^2 |H(f)|^2 df$$

مثال ۱: پاسخ فرکانسی مدار RC پایین گذر :



$$H(f) = \frac{Y(f)}{X(f)} = \frac{1/cj\omega}{1/cj\omega + R} = \frac{1}{1 + j2\pi f R c} = \frac{1}{1 + j \frac{f}{B}}$$

$$\Rightarrow B = \frac{1}{2\pi R c} \quad (\text{B پهنای باند -3dB سیستم است})$$



برای یک سیستم پایین گذر، پهنای باند -3dB، برابر

فرکانسی است که پاسخ دامنه یا گین به اندازه 3dB

افت کند و این معادل آن است که اندازه دامنه از

$H(\max)$  به  $\frac{H(\max)}{\sqrt{2}}$  برسد.

$$20 \log \frac{H(\max)}{\sqrt{2}} = 20 \log H(\max) - 20 \log \sqrt{2} = 20 \log H(\max) - 3dB$$

مثال ۲: برخی سیستم ها و تابع انتقال آنها:

$$y(t) = \pm kx(t) \rightarrow H(f) = \pm k \quad \text{سیستم ضرب اسکالر}$$

$$y(t) = \frac{dx(t)}{dt} \rightarrow H(f) = j2\pi f \quad \text{سیستم مشتق گیر}$$

$$y(t) = \int_{-\infty}^t x(\lambda) d(\lambda) \rightarrow H(f) = \frac{1}{j2\pi f} \quad \text{سیستم انتگرالگیر}$$

$$y(t) = x(t - t_d) \rightarrow H(f) = e^{-j2\pi f t_d} \quad \text{سیستم تأخیر زمانی}$$

## اعوجاج:

سیستم بدون اعوجاج، سیستمی است که شکل سیگنال ورودی را تغییر ندهد یعنی خروجی عیناً مانند ورودی باشد مگر اینکه در عددی ضرب شده باشد و یا اینکه نسبت به مبدأ زمانی جابجا شده باشد.

بعبارت دیگر تنها تغییراتی مجاز به اعمال است که شامل فقط تغییر مقیاس و تأخیر زمانی باشد. بنابراین در

$$y(t) = kx(t - t_d) \quad \text{یک سیستم بدون اعوجاج داریم:}$$

( $k$  یک عدد ثابت و  $t_d$  هم مقدار تأخیر ثابت است).

سیستم بدون اعوجاج است اگر:

$$H(f) = ke^{-j2\pi f t_d} \Leftrightarrow \begin{cases} |H(f)| = |k| \\ \angle H(f) = -2\pi f t_d \pm m180^\circ \end{cases} *$$

توجه: اگر سیستمی در بازه فرکانسی مورد علاقه ما نیز شرایط \* را داشته باشد، می توان آنرا بدون اعوجاج نامید.

## انواع اعوجاج:

۱- خطی      ۲- غیر خطی

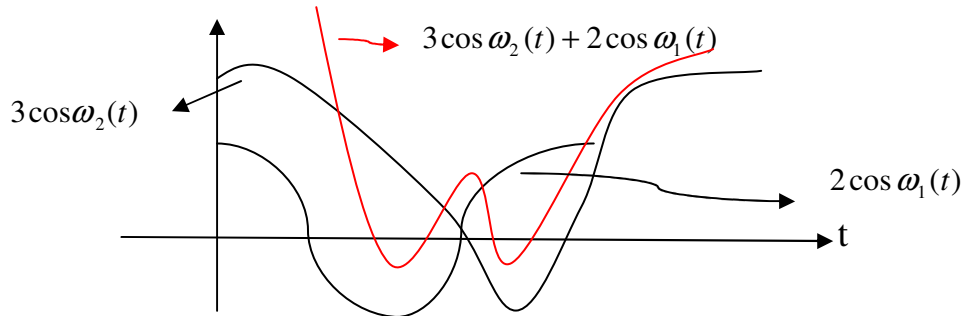
**اعوجاج خطی:** ۱- اعوجاج دامنه، یعنی  $|H(f)| \neq k$  (گاهی اعوجاج فرکانسی نیز نامیده می شود).

۲- اعوجاج تأخیر، یعنی  $\angle H(f) \neq -2\pi f t_d \pm m180^\circ$  (اعوجاج فاز نیز نامیده می شود).

## مفهوم شیفت زمانی ثابت و شیفت فاز ثابت :

مفهوم شیفت (تاخیر) زمانی ثابت با شیفت فاز ثابت بسیار متفاوت است که در مثال زیر توضیح داده شده

است؛  $x(t) = 2\cos(\omega_1 t) + 3\cos(\omega_2 t)$  if



مفهوم شیفت زمانی ثابت  $x(t - t_0) = 2\cos(\omega_1(t - t_0)) + 3\cos(\omega_2(t - t_0))$

شیفت فاز ثابت  $x'(t) = 2\cos(\omega_1 t - \varphi) + 3\cos(\omega_2 t - \varphi) = 2\cos(\omega_1(t - \frac{\varphi}{\omega_1})) + 3\cos(\omega_2(t - \frac{\varphi}{\omega_2}))$

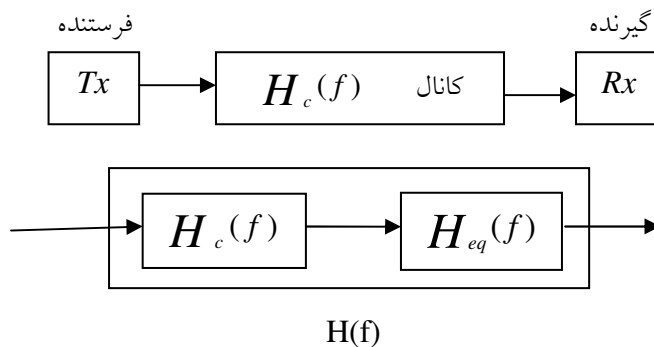
تنها  $t_1 = \frac{\varphi}{\omega_1}$  و  $t_2 = \frac{\varphi}{\omega_2}$  چون  $t_1$  با  $t_2$  برابر نیست در نتیجه از دو مفهوم شیفت زمانی ثابت و شیفت فاز ثابت؛ تنها

شیفت فاز ثابت باعث اعوجاج می شود.

## تعدیل<sup>۱</sup>:

یک راه حل مناسب برای کاهش اعوجاج، استفاده از تعدیل کننده ها<sup>۲</sup> است.

توضیح آنکه؛ از نظر تئوری می توان اعوجاج خطی  $H_c(f)$  را به کمک یک سیستم تعدیل کننده  $H_{eq}(f)$  که

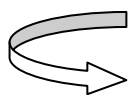


بطور سری با کانال قرار می گیرد اصلاح کرد :

باید  $H_{eq}(f)$  را بگونه ای طراحی کنیم

که  $H(f)$  در نهایت بدون اعوجاج شود.

( سیستم بدون اعوجاج یعنی :  $H(f) = ke^{-j\omega t_d}$  )



$$H(f) = H_c(f) \cdot H_{eq}(f) = ke^{-j\omega t_d}$$



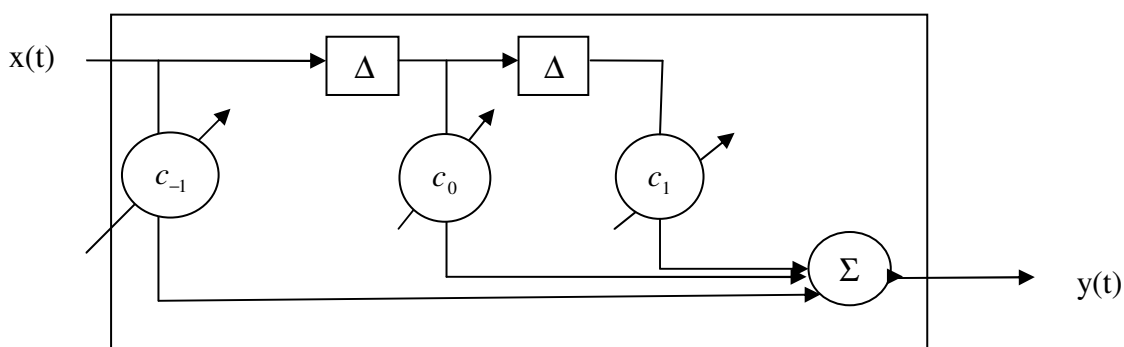
$$H_{eq}(f) = \frac{ke^{-j\omega t_d}}{H_c(f)}$$

همانطور که گفته شد در تئوری فقط می توان چنین سیستم تعدیل کننده و دقیقی طراحی کرد. در عمل باید تابع

انتقال  $H_{eq}(f)$  در رابطه اخیر را تقریب زد. یک راه، استفاده از فیلترهای FIR (فیلترهای transversal) یا تعدیل

کننده خط تأخیر<sup>۱</sup> می باشد.

مثلاً برای فیلتر دارای سه ضریب (آنالوگ) داریم :



(  $\Delta$  نشان دهنده ی تأخیر و  $c$  ضریب است. همچنین ضرایب  $c_{-1}$  تا  $c_1$  ضرایب قابل تنظیم هستند لذا علامت

فلش روی آنها قرار داده شده است.)

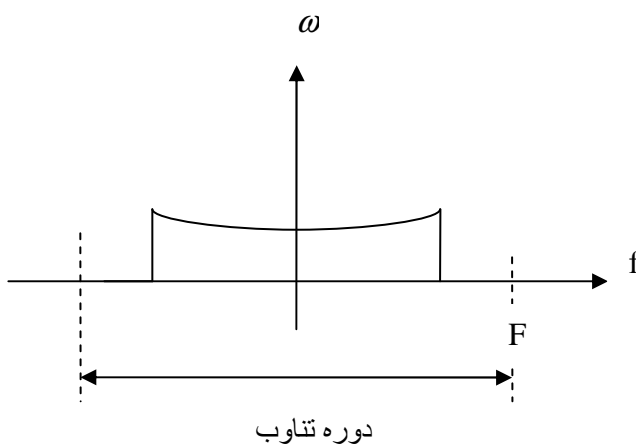
$$y(t) = c_{-1}x(t) + c_0x(t - \Delta) + c_1x(t - 2\Delta)$$

$$\mapsto H_{eq}(f) = c_{-1} + c_0e^{-j\omega\Delta} + c_1e^{-j\omega2\Delta} = e^{-j\omega\Delta}(c_{-1}e^{j\omega\Delta} + c_0 + c_1e^{-j\omega\Delta})$$

$$= e^{-j\omega\Delta} \underbrace{\left( \sum_{m=-1}^1 c_m e^{-j\omega m\Delta} \right)}_*$$

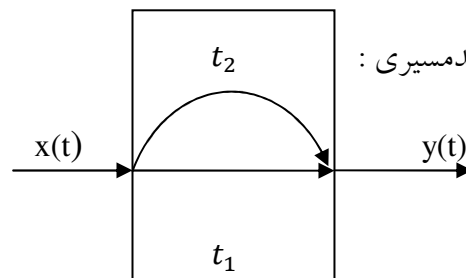
ملاحظه کنید که عبارت \* همان سری فوریه است بنابراین روال طراحی فیلتر transversal اینگونه است که ابتدا تعیین می‌کنید برای چه پهنای باندهی می‌خواهید تعدیل کننده کار کند. فرض کنید می‌خواهیم برای فرکانس‌های  $|f| < w$  کانال را تعدیل کنیم. مقدار  $\Delta$  در عبارت \* با توجه به سری فوریه باید از جنس عکس فرکانس باشد بنابراین باید  $\frac{1}{\Delta} \geq w$  باشد. (بعبارت دیگر پریود تابع تقریب باید از پریود تابع اصلی بزرگتر باشد. در اینجا پریود از جنس زمان نیست بلکه از جنس فرکانس است زیرا می‌خواهیم در حوزه فرکانس تقریب بزنیم.) در مرحله بعد تعیین می‌کنیم که چند ضریب سری فوریه برای تقریب تابع انتقال کانال در محدوده فرکانسی مذکور کافی است. (هرقدر دقت بیشتری بخواهیم، تعداد بیشتری ضریب باید محاسبه شود.) این ضرایب محاسبه شده، همان ضرایب فیلتر transversal هستند.

$$\rightarrow \cong \sum_{m=-M}^M c_m e^{-j2\pi f \frac{m}{F}} = \sum_{m=-M}^M c_m e^{-j\omega m \Delta} \quad \text{و} \quad \left( \frac{1}{\Delta} = F \quad \text{و} \quad \omega = 2\pi f \right) \quad \boxed{\rightarrow \frac{1}{\Delta} \geq \omega}$$



دوره تناوب باید بزرگتر - مساوی طیف  
فرکانسی باشد یعنی:  $F \geq \omega$

$$y(t) = k_1 x(t - t_1) + k_2 x(t - t_2)$$



مثال: اعوجاج چندمسیری :

اعوجاج از نوع خطی است چون براحتی می‌توان از طرفین تبدیل فوریه گرفت.

$$\mapsto \frac{Y(f)}{X(f)} = H_c(f) = k_1 e^{-j\omega t_1} + k_2 e^{-j\omega t_2} \quad t_2 > t_1, \quad k_2 < k_1$$

$$= k_1 e^{-j\omega t_1} (1 + k e^{-j\omega t_0}) \quad \text{و} \quad \left( k = \frac{k_2}{k_1} \quad \text{و} \quad t_0 = t_2 - t_1 \right)$$

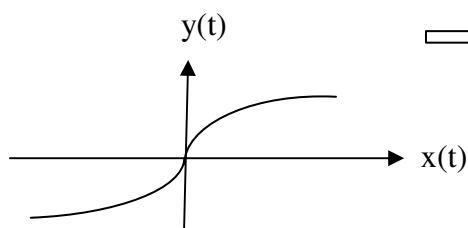
$$H_{eq}(f) = \frac{k e^{-j\omega t_d}}{H_c(f)} = \frac{k e^{-j\omega t_d}}{k_1 e^{-j\omega t_1} (1 + k e^{-j\omega t_0})}$$

فرض:  $t_d = t_1$  و  $k = k_1$  (برای ساده سازی)

$$\rightarrow H_{eq}(f) = \frac{1}{1 + k e^{-j\omega t_0}} \rightarrow \left( \text{بسط} \quad \frac{1}{1+x} = 1 - x + x^2 - x^3 + \dots \right)$$

$$\rightarrow H_{eq}(f) = 1 - k e^{-j\omega t_0} + k^2 e^{-j2\omega t_0} - \dots$$

$$\cong e^{-j\omega t_0} (e^{+j\omega t_0} - k + k^2 e^{-j\omega t_0}) = e^{-j\omega t_0} \sum_{m=-1}^1 c_m e^{-j\omega m \Delta} \quad \text{و} \quad (c_{-1} = 1, c_0 = -k, c_1 = k^2, \Delta = t_0)$$



مشخصه انتقال  $\Rightarrow$

### اعوجاج غیر خطی:

اعوجاج غیر خطی ناشی از یک سیستم غیرخطی است.

چنین سیستمی تابع انتقال<sup>۱</sup> ندارد،

بلکه برای آن می‌توان مشخصه انتقال<sup>۲</sup> بصورت  $y(t) = T[x(t)]$  در نظر گرفت. علیرغم اینکه تابع انتقال

نداریم اما می‌توان طیف خروجی را محاسبه کرد. برای این کار ابتدا تقریب چند جمله ای  $y(t)$  را بر حسب

$x(t)$  می‌نویسیم.

$$y(t) = a_1 x(t) + a_2 x^2(t) + a_3 x^3(t) + \dots \quad *$$

$$\rightarrow Y(f) = a_1 X(f) + a_2 X(f) * X(f) + a_3 X(f) * X(f) * X(f) + \dots$$

از رابطه فوق می‌توان نتیجه گرفت که اگر ورودی باند محدود<sup>۳</sup> نیز باشد، برخلاف سیستم‌های خطی، خروجی

باند محدود نخواهد بود.

حال در سیستم غیرخطی فوق چند مورد را در نظر می‌گیریم:

1. Transfer function  
3. Band Limited

2. Transfer characteristic



الف). ورودی یک موج تک تن (سینوسی) باشد :

$$x(t) = \cos \omega_0(t)$$

$$* \rightarrow y(t) = a_1 \cos \omega_0 t + a_2 \cos^2 \omega_0 t + a_3 \cos^3 \omega_0 t + \dots$$

$$(\cos^2 \omega_0 t = \frac{1 + \cos 2\omega_0 t}{2}, \quad \cos^3 \omega_0 t = (\frac{1 + \cos 2\omega_0 t}{2}) \cos \omega_0 t, \quad \dots \text{ می دانیم که})$$

$$\rightarrow y(t) = a_1 \cos \omega_0 t + a_2 (\frac{1 + \cos 2\omega_0 t}{2}) + a_3 (\frac{1 + \cos 2\omega_0 t}{2}) \cos \omega_0 t + \dots$$

$$\Rightarrow y(t) = (\frac{a_2}{2} + \frac{3a_4}{8} + \dots) + (a_1 + \frac{3a_3}{4} + \dots) \cos \omega_0 t + (\frac{a_2}{2} + \frac{a_4}{4} + \dots) \cos 2\omega_0 t + (\dots) \cos 3\omega_0 t + \dots$$

$$\rightarrow y(t) = A_0 + A_1 \cos \omega_0 t + A_2 \cos 2\omega_0 t + A_3 \cos 3\omega_0 t + \dots \text{ ادامه}$$

$$\dots \text{ و } A_2 = (\frac{a_2}{2} + \frac{a_4}{4} + \dots) \text{ و } A_1 = (a_1 + \frac{3a_3}{4} + \dots) \text{ و } A_0 = (\frac{a_2}{2} + \frac{3a_4}{8} + \dots) \text{ که داریم}$$

از این حالت برای تعیین میزان اعوجاج حاصل از هارمونیک‌های فرکانس اصلی  $\omega_0$  استفاده می‌شود.

اعوجاج ناشی از هارمونیک‌ها برابر است با :

$$HD_2 (Harmonic Distortion) = \left| \frac{A_2}{A_1} \right| \times 100, \quad HD_3 = \left| \frac{A_3}{A_1} \right| \times 100, \quad \dots$$

اعوجاج هارمونیک کل THD<sup>۱</sup> برابر است با :

$$THD = \sqrt{\frac{\sum_{n=2}^{\infty} |A_n|^2}{|A_1|^2}} \times 100$$

صورت کلیتر عبارت THD به اینصورت است که اگر بسط سری فوریه خروجی را نوشته و ضرائب آن را

$$THD = \sqrt{\frac{\sum_{n=2}^{\infty} a_n^2 + b_n^2}{a^2 + b^2}} \times 100 \quad a_n, b_n \text{ بنامیم، آنگاه :}$$

$$x(t) = \cos \omega_1 t + \cos \omega_2 t$$

ب). ورودی مجموع دو سینوسی باشد :

دو سینوسی با فرکانس‌های مختلف  $f_1, f_2$  را با هم جمع و بعنوان ورودی به سیستم غیرخطی می‌دهیم. در این حالت واضح است که در خروجی فرکانس‌های  $mf_1 \pm nf_2$  علاوه بر فرکانس‌های اصلی  $f_1, f_2$  وجود خواهد داشت.

به این نوع اعوجاج، مدولاسیون تداخلی<sup>۱</sup> گفته می‌شود.

ج. ورودی مجموع دو سیگنال دلخواه باشد :

$$x(t) = x_1(t) + x_2(t)$$

حال اگر ورودی بصورت  $x(t) = x_1(t) + x_2(t)$  باشد که  $x_1(t), x_2(t)$  ممکن است طیف‌های جدا از هم داشته باشند، با تعمیم حالت قبل می‌توان دید که در طیف خروجی عبارتهایی بصورت زیر وجود خواهند داشت، که ممکن است با طیف هر کدام از سیگنالهای ورودی  $x_1(t), x_2(t)$  همپوشانی داشته باشد.

$$\underbrace{(X_1 * X_1 * X_1 * \dots)}_{n \text{ بار}} * \underbrace{(X_2 * X_2 * X_2 * \dots)}_{m \text{ بار}}$$

$$X_1 * X_2$$

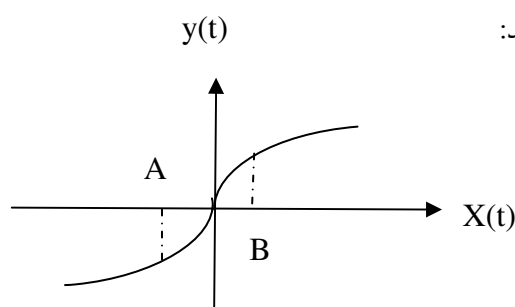
$$X_1 * X_1 * X_2$$

$$X_1 * X_2 * X_2$$

⋮

در این حالت پدیده همشنوایی<sup>۲</sup> اتفاق افتاده است.

ایدهٔ مقابله با اعوجاج غیرخطی این است که نگذاریم ورودی وارد ناحیه غیرخطی سیستم شود. بطور مثال در



مشخصهٔ انتقال روبرو فاصله  $[A, B]$  سیستم خطی عمل می‌کند:

حال اگر  $x(t)$  مقادیری بزرگتر از

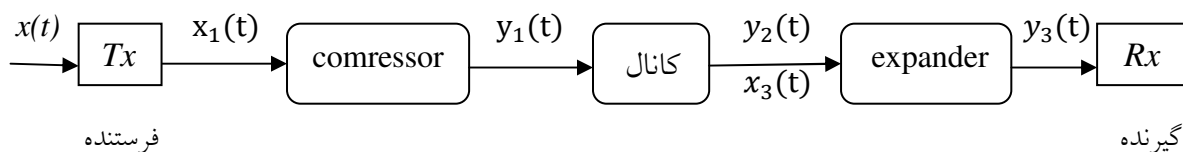
B یا کوچکتر از A بخواهد اختیار کند،

از واحد فشرده ساز<sup>۳</sup> قبل از ابتدای سیستم غیرخطی (کانال)

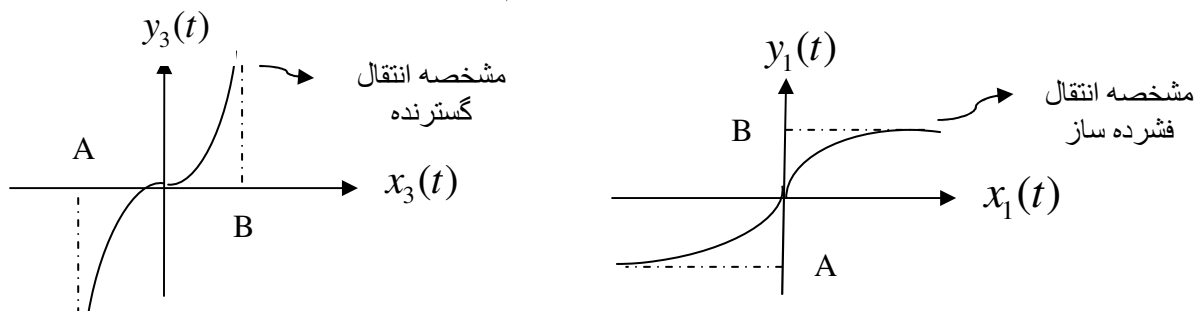
1. intermodulation  
3. compressor

2. cross talk

و واحد گسترنده<sup>۱</sup> بعد از سیستم غیرخطی (یا کانال) استفاده می‌کنیم. یک فشرده ساز مشخصه عملکردی مانند شکل فوق دارد، در شکل فوق ملاحظه می‌کنید که محدوده تغییرات  $x$  (ورودی فشرده ساز) بسیار زیاد است اما محدوده تغییرات  $y$  (خروجی فشرده ساز) بسیار محدود است. لذا سیگنال  $y$  را می‌توان به کانال غیرخطی داد تا در محدوده خطی کانال قرار بگیرد حال آنکه اگر  $x$  را مستقیماً به کانال بدهیم وارد ناحیه غیرخطی کانال شده و اعوجاج‌های بررسی شده بوجود خواهند آمد. در انتهای کانال باید مجدداً از گسترنده برای برگرداندن سیگنال به حالت اولیه خود استفاده کنیم. لذا گسترنده مشخصه عملکردی دقیقاً مانند واحد فشرده ساز دارد ولی با این تفاوت که جای محور ورودی و خروجی عوض شود. (مشخصه انتقال آن‌ها نسبت به خط  $y=x$  قرینه‌ی هم‌اند پس خروجی دوباره  $x$  می‌شود و اعوجاج نداریم). در زیر، بلوک دیاگرام این روش رسم شده است:



( $y_2(t)$  ورودی گسترنده است و برای راحتی آنرا  $x_3(t)$  می‌نامیم).

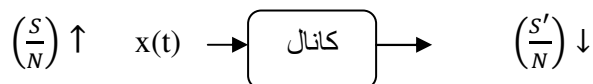


به استفاده همزمان از فشرده ساز و گسترنده مطابق با روال گفته شده، کامپندینگ (برگرفته شده از دو کلمه

compression و expanding) گفته می‌شود.

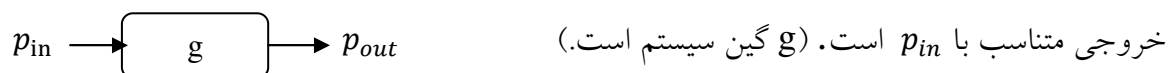
## اقلاف توان در انتقال<sup>۱</sup>:

یک سیستم انتقال علاوه بر اعوجاج معمولاً توان سیگنال را نیز کاهش می دهد. این کاهش توان را می توان با تقویت کننده توان جبران کرد اما اگر کاهش توان از حدی بیشتر باشد نویز موجود در سیگنال مانع بازیابی کامل و تقویت سیگنال مطلوب می شود.

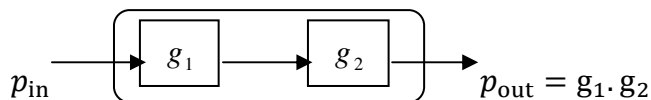


(تضعیف به این علت مهم است که چون نویز همواره وجود دارد، نسبت توان سیگنال به نویز در طرف اول بالاست پس نویز تأثیر زیادی روی سیگنال ندارد اما چون سیگنال در کانال تضعیف می شود و نویز همه جا حضور دارد، پس نسبت توان سیگنال به نویز در طرف دوم پایین می آید.)

**گین توان :** در سیستم LTI روبرو اگر توان ورودی  $p_{in}$  و سیستم بدون اعوجاج باشد آنگاه توان متوسط



$$g \triangleq \frac{p_{out}}{p_{in}} \implies p_{out} = g \cdot p_{in}$$



از آنجائیکه مقدار  $g$  در سیستم های متداول بسیار زیاد است مرسوم است که آن را بصورت زیر برحسب دسی بل (dB)<sup>۲</sup> بیان می کنند :

$$g_{dB} \triangleq 10 \log_{10} g \Rightarrow g = 10^{\frac{g_{dB}}{10}}$$

$$\text{if } g_{dB} = 20dB \Rightarrow g = 100 \quad \text{به عنوان مثال}$$

$$\text{if } g = 1000 \Rightarrow g_{dB} = 30dB$$

اگر  $g \leq 1 (= 10^0)$  باشد  $g_{dB}$  منفی و یا صفر می شود. (یعنی  $g_{dB} \leq 0$ )

با این شیوه اعمال ضرب گین ها (حاصل سری کردن چند سیستم) به جمع تبدیل می شود.

$$g = g_1 \cdot g_2 \rightarrow g_{dB} = g_{1dB} + g_{2dB}$$

1. transmission loss

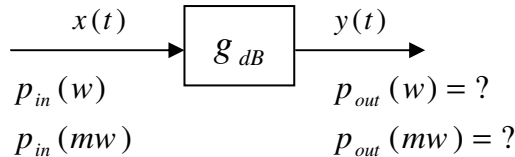
2. decible

- دسی بل همواره برای سنجش نسبت توانها است. می توان خود مقادیر توانها (بر حسب وات یا میلی وات) را نیز بصورت لگاریتمی بیان کرد :

$$p(w) \Rightarrow p_{dBw} = 10 \log \frac{p(w)}{1(w)}$$

$$p(mw) \Rightarrow p_{dBm} = 10 \log \frac{p(mw)}{1(mw)}$$

مثال :



$$p_{in}(dBw) \Rightarrow p_{out}(dBw) = g_{dB} + p_{in}(dBw) \quad \text{حل :}$$

$$p_{in}(dBm) \Rightarrow p_{out}(dBm) = g_{dB} + p_{in}(dBm)$$

توجه شود که توان همواره نسبت به یک بار (یا امپدانس) سنجیده می شود. بنابراین مقایسه توان ورودی و خروجی در صورتی درست است که امپدانس ها در ورودی و خروجی با هم برابر باشند. با این فرض اگر به سیستم LTI مذکور با تابع انتقال  $H(f)$  یک موج سینوسی با دامنه  $A_x$  بدهیم و دامنه موج سینوسی خروجی  $A_y$  باشد آنگاه داریم :

$$x(t) = A_x \cos(\omega_0 t + \varphi_x) \quad , \quad y(t) = A_y \cos(\omega_0 t + \varphi_y) \quad , \quad \omega_0 = 2\pi f_0$$

$$A_y = A_x \cdot |H(f)|_{f=f_0}$$

$$\rightarrow \frac{1}{2} A_y^2 = \frac{1}{2} A_x^2 |H(f_0)|^2 \quad \left( p_x = \frac{1}{2} A_x^2 \quad , \quad p_y = \frac{1}{2} A_y^2 \right)$$

$$\Rightarrow p_y = p_x \cdot |H(f_0)|^2$$

$$\text{رابطه گین توان : } g = \frac{p_{out}}{p_{in}} = \frac{p_y}{p_x} = |H(f)|^2$$

$$g = |H(f)|^2 = k^2 \quad \text{اگر } H(f) = k e^{-j\omega t a} \text{ باشد آنگاه گین توان برابر است با : } *$$

اگر امپدانس های ورودی و خروجی با هم برابر نباشند گین توان دیگر  $k^2$  نیست بلکه متناسب با  $k^2$  می شود.

از رابطه\* ملاحظه می شود که اگر اندازه تابع انتقال با فرکانس تغییر کند آنگاه گین تابعی از فرکانس می شود. به همین دلیل معیار مفیدی که وابستگی فرکانسی را برحسب توان سیگنال نشان می دهد تعریف و استفاده

$$g_{dB}^{\Delta} = 10 \log |H(f)|^2 = 20 \log |H(f)| \quad \text{می کنند :}$$

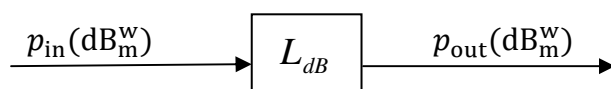
## اتلاف توان و تکرار کننده ها :

در یک سیستم پسیو توان خروجی کمتر از توان ورودی است ( $p_{out} < p_{in}$ ) لذا برای سنجش میزان تضعیف یا اتلاف توان در انتقال، کمیتی بصورت زیر تعریف و استفاده می کنند :



$$L = \frac{1}{g} = \frac{P_{in}}{P_{out}} \Rightarrow L_{dB} = -g_{dB} = 10 \log \frac{P_{in}}{P_{out}}$$

در سیستم های دارای تضعیف همواره  $L > 1$  است.



اگر

$$p_{out}(dBw) = p_{in}(dBw) - L_{dB}$$

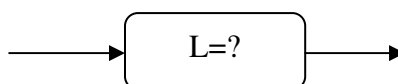


$$p_{out}(dBm) = p_{in}(dBm) - L_{dB}$$



مثال : در برخی خطوط انتقال، کابل های کواکسیال و موجبرها توان خروجی بصورت نمایی با فاصله کاهش

$$\text{if } p_{out} = 10^{\frac{-\alpha l}{10}} \cdot p_{in}$$



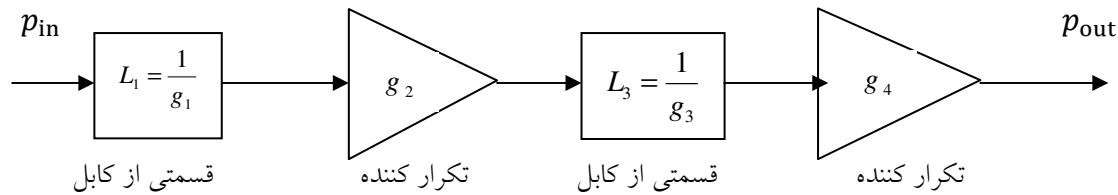
می یابد ؛

$\alpha$  = ضریب تضعیف و  $l$  = طول مسیر بر حسب dB بر واحد طول می باشد.

$$L = 10^{\frac{\alpha l}{10}} \rightarrow L_{dB} = \alpha l \quad \text{حل :}$$

از آنجایی که تضعیف (dB) متناسب با فاصله است، بنابراین باید در طول مسیر از تقویت کننده هایی برای جلوگیری از تضعیف بیش از حد سیگنال استفاده کنیم. این تقویت کننده ها را تکرار کننده<sup>۱</sup> نیز گویند.

نحوه‌ی استفاده از تکرار کننده‌ها در شکل زیر نشان داده شده است :



### عملگر متوسط گیری: $\langle z(t) \rangle$

برای سیگنال های توان؛ اگر  $z(t)$  توان باشد :

$$\langle z(t) \rangle \triangleq \lim_{T \rightarrow \infty} \frac{1}{T} \int_{-\frac{T}{2}}^{\frac{T}{2}} z(t) dt.$$

برای سیگنال های انرژی؛ اگر  $z(t)$  انرژی باشد :

$$\langle z(t) \rangle \triangleq \lim_{T \rightarrow \infty} \int_{-\frac{T}{2}}^{\frac{T}{2}} z(t) dt$$

ضرب اسکالر یا ضرب داخلی :

$$\text{ضرب اسکالر} \triangleq \langle v(t).w^*(t) \rangle$$

برای دو سیگنال  $v(t)$  و  $w(t)$  داریم :

ویژگی های عملگر متوسط گیری :

$$1. p_v = \langle |v(t)|^2 \rangle$$

$$2. E_v = \langle |v(t)|^2 \rangle$$

$$3. \langle z^*(t) \rangle = \langle z(t) \rangle^*$$

$$4. \langle z(t - t_d) \rangle = \langle z(t) \rangle \quad \forall t_d$$

$$5. \langle a_1 z_1(t) + a_2 z_2(t) \rangle = a_1 \langle z_1(t) \rangle + a_2 \langle z_2(t) \rangle$$

۶- ضرب اسکالر معرف میزان شباهت دو سیگنال است.

$$7- \text{نامساوی شوارتز} : \quad |\langle v(t).w^*(t) \rangle|^2 \leq p_v \cdot p_w \quad \text{سیگنال های توان} :$$

$$|\langle v(t).w^*(t) \rangle|^2 \leq E_v \cdot E_w \quad \text{سیگنال های انرژی} :$$

حالت تساوی زمانی رخ می دهد که :  $v(t) = a \cdot w(t)$  (  $a$  یک عدد ثابت است. )

بعبارت دیگر حاصلضرب داخلی دو سیگنال زمانی ماکزیمم می شود (زمانی بیشترین شباهت را به هم دارند) که دو سیگنال متناسب باهم باشند.

### توابع همبستگی:

- ۱- تابع همبستگی متقابل      ۲- تابع خود همبستگی

### همبستگی سیگنال های توان :

#### تابع همبستگی متقابل :

برای دو سیگنال توان  $v(t), w(t)$  داریم :

$$R_{vw}(\tau) = \langle v(t).w^*(t-\tau) \rangle \\ = \langle v(t+\tau).w^*(t) \rangle$$

خواص تابع همبستگی متقابل :

۱- تابع همبستگی متقابل میزان شباهت یکی نسبت به شیفت یافته ی دیگری است.

$$2- R_{vw}(\tau) \neq R_{wv}(\tau)$$

$$3- |R_{vw}(\tau)|^2 \leq p_v \cdot p_w$$

$$4- R_{vw}(\tau) = R_{vw}^*(-\tau)$$

#### تابع خود همبستگی :

$$R_v(\tau) = \langle v(t).v^*(t-\tau) \rangle = \langle v(t+\tau).v^*(t) \rangle$$

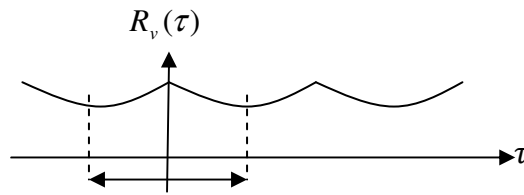
خواص تابع خود همبستگی :

۱- این تابع میزان شباهت تابع  $v(t)$  را با شیفت یافته خودش به اندازه  $\tau$ ، بیان می کند.

۲- (دوره تناوب همان دوره تناوب قبلی است.)      تناوب  $v(t) \rightarrow R_v(\tau)$  متناوب

۳-  $|R_v(\tau)| \leq R_v(0) \implies$  یعنی شبیه ترین سیگنال به  $v(t)$  خود  $v(t)$  است نه شیفت یافته آن





مقدار ماکزیمم در مبدأ  
است

4-  $R_v(0) = p_v$

5-  $R_v(-\tau) = R_v^*(\tau)$

6- اگر  $v(t)$  حقیقی باشد  $\Rightarrow R_v(\tau)$  حقیقی و زوج است.

## دو سیگنال ناهمبسته<sup>۱</sup>:

دو سیگنال  $v(t), w(t)$  را ناهمبسته گوئیم هرگاه داشته باشیم:

$$\forall \tau \quad R_{vw}(\tau) = R_{wv}(\tau) = 0$$

اگر  $v(t), w(t)$  دوسیگنال دلخواه باشند.

$$z(t) = v(t) \pm w(t)$$

$$\Rightarrow R_z(\tau) = R_v(\tau) + R_w(\tau) \pm [R_{vw}(\tau) + R_{wv}(\tau)]$$

$$\Rightarrow R_z(\tau) = R_v(\tau) + R_w(\tau) \quad \text{حال اگر این دو سیگنال ناهمبسته نیز باشند}$$

$$\tau = 0 \rightarrow p_z = p_v + p_w$$

## همبستگی سیگنال های انرژی:

در مورد سیگنال های انرژی نمی توان از متوسط گیری استفاده کرد و بجای آن از تعریف انرژی کل استفاده

$$E_v \triangleq \int_{-\infty}^{\infty} v(t) \cdot v^*(t) dt \geq 0 \quad \text{می کنیم:}$$

حال می توان توابع همبستگی متقابل و خودهمبستگی را برای سیگنال های انرژی چنین تعریف کرد:

$$R_{vw}(\tau) \triangleq \langle v(t) \cdot w^*(t - \tau) \rangle \quad (v(t), w(t) \text{ دو سیگنال انرژی اند.})$$

$$= \int_{-\infty}^{+\infty} v(t) \cdot w^*(t - \tau) dt$$

$$R_v(\tau) = R_{vv}(\tau) = \langle v(t) \cdot v^*(t - \tau) \rangle = \int_{-\infty}^{+\infty} v(t) \cdot v^*(t - \tau) dt$$

توجه کنید که تمام روابطی که تاکنون برای سیگنال های توان بدست آوردیم، در مورد سیگنال های انرژی نیز صادق است. تنها کافی است که در آنجا بجای توان  $p_v$  از انرژی  $E_v$  و بجای متوسط گیری  $\langle z(t) \rangle$  از انتگرالگیر  $\int_{-\infty}^{+\infty} z(t) dt$  استفاده کنیم. بعنوان مثال داریم :

$$|R_{vw}(\tau)|^2 \leq p_v \cdot p_w \quad \text{برای سیگنال توان}$$

$$|R_{vw}(\tau)|^2 \leq E_v \cdot E_w \quad \text{برای سیگنال انرژی}$$

از آنجایی که از سیگنال های انرژی می توان تبدیل فوریه گرفت (برخلاف سیگنال های توان) به همین دلیل علاوه بر خواص ذکر شده برای سیگنال های توان، یکسری خواص دیگر نیز برای سیگنال انرژی تعریف می کنیم که فقط برای سیگنال انرژی صادق است :

برای دو سیگنال انرژی  $v(t)$  و  $w(t)$  روابط زیر را داریم :

$$1 - R_{vw}(\tau) = v(\tau) * w^*(-\tau) \quad (\text{در مورد سیگنال های توان، کانولوشن تعریف نشده است.})$$

$$2 - R_v(0) = E_v = \int_{-\infty}^{+\infty} |v(f)|^2 df$$

$$3 - R_{vw}(0) = \int_{-\infty}^{+\infty} v(t) \cdot w^*(t) dt = \int_{-\infty}^{+\infty} v(f) \cdot w^*(f) df$$

با ترکیب روابط ۲ و ۳ و  $(\tau=0)$  داریم :

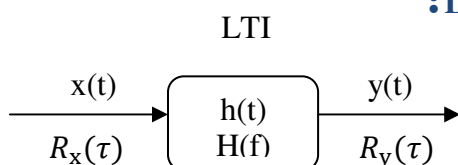
$$|R_{vw}(0)|^2 \leq E_v \cdot E_w = R_v(0) \cdot R_w(0)$$

$$\rightarrow \left| \int_{-\infty}^{+\infty} v(f) \cdot w^*(f) df \right|^2 \leq \int_{-\infty}^{+\infty} |v(f)|^2 df \cdot \int_{-\infty}^{+\infty} |w(f)|^2 df$$

رابطه ی بالا بیان دیگری از نامساوی شوارتز در حوزه فرکانس است.

در رابطه بالا تساوی مجدداً زمانی رخ می دهد که  $v(f), w(f)$  با هم متناسب باشند.

### توابع همبستگی بین ورودی - خروجی در یک سیستم LTI:



اگر  $x, y$  دو سیگنال دلخواه باشند که ورودی - خروجی

سیستم LTI را تشکیل دهند داریم:

$$y(t) = x(t) * h(t) = \int_{-\infty}^{+\infty} x(\lambda) \cdot h(t - \lambda) d\lambda = \int_{-\infty}^{+\infty} h(\lambda) \cdot x(t - \lambda) d\lambda$$

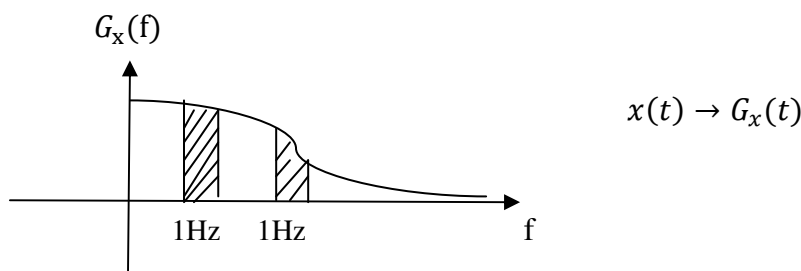
با توجه به رابطه فوق و تعریف توابع همبستگی می توان روابط زیر را بدست آورد :

$$1) R_{yx}(\tau) = h(\tau) * R_x(\tau) = \int_{-\infty}^{+\infty} h(\lambda) \cdot R_x(\tau - \lambda) d\lambda$$

$$2) R_y(\tau) = h^*(-\tau) * R_{yx}(\tau) = \int_{-\infty}^{+\infty} h^*(-\lambda) \cdot R_{yx}(\tau - \lambda) d\lambda$$

$$1 \text{ و } 2 \Rightarrow 3) R_y(\tau) = h(\tau) * h^*(-\tau) * R_x(\tau)$$

### تابع چگالی طیفی :



تابع چگالی طیفی یک سیگنال انرژی یا توان معرف چگونگی توزیع انرژی یا توان در طیف سیگنال است.

دو ویژگی اساسی تابع چگالی عبارت است از :

$$1- \int_{-\infty}^{+\infty} G_v(f) df = E_v \quad \text{یعنی سطح زیر منحنی } G_v(f) \text{ انرژی کل سیگنال یا توان متوسط آنرا}$$

بدست می دهد.

۲- چگالی طیف ورودی و خروجی در یک سیستم LTI با رابطه زیر به یکدیگر مربوط می شوند :

$$\begin{array}{ccc} x(f) & \xrightarrow{\quad} & y(t) \\ \downarrow & & \downarrow \\ G_x(f) & \xrightarrow{\quad} & G_y(f) \end{array} \quad \begin{array}{l} \text{گین توان } g = |H(f)|^2 \\ \rightarrow G_y(f) = |H(f)|^2 \cdot G_x(f) \end{array}$$

$$R_y(0) = \int_{-\infty}^{+\infty} |H(f)|^2 G_x(f) df \quad \text{ترکیب دو ویژگی مذکور، رابطه ی روبرو را به ما می دهد :}$$

تعبیر رابطه فوق چنین است که انرژی کل یا توان متوسط سیگنال برابر انتگرال کمیتی است که می توان آنرا به

عنوان چگالی انرژی یا توان (به عبارت دیگر مقدار انرژی یا توان در واحد فرکانس) در نظر گرفت. لذا به

همین دلیل به تابع  $G(f)$  "چگالی طیفی" توان یا انرژی گفته می شود. همچنین از آنجا که انرژی یا توان کمیتی

حقیقی هستند پس تابع چگالی انرژی یا توان نیز باید حقیقی باشد.

طبق قضیه وینر-کنشاین<sup>۱</sup> توابع همبستگی و چگالی طیفی تشکیل یک زوج تبدیل فوری می دهند :

$$G_v(f) \xrightarrow{\mathcal{F}} R_v(\tau)$$

$$\begin{cases} G_v(f) = \mathcal{F}\{R_v(\tau)\} \triangleq \int_{-\infty}^{+\infty} R_v(\tau) e^{-j2\pi f\tau} d\tau \\ R_v(\tau) = \mathcal{F}^{-1}\{G_v(f)\} \triangleq \int_{-\infty}^{+\infty} G_v(f) e^{j2\pi f\tau} df \end{cases}$$

اگر  $v(t)$  یک سیگنال انرژی باشد داریم :

$$R_v(\tau) = v(\tau) * v^*(-\tau)$$

$$\rightarrow G_v(f) = v(f) \cdot v^*(f) = |v(f)|^2$$

$$\rightarrow G_v(f) = |v(f)|^2$$

اگر  $v(t)$  یک سیگنال توان از نوع سیگنال های متناوب باشد می توان بسط سری فوریه آن را چنین نوشت :

$$v(t) = \sum_{n=-\infty}^{+\infty} C_n e^{j2\pi n f_0 t} \quad , \quad (e^{j2\pi n f_0 t} = e^{jn\omega_0 t})$$

$$e^{jn\omega_0 t} \xrightarrow{\mathcal{F}} 2\pi\delta(\omega - n\omega_0)$$

$$e^{j2\omega_0 t} \xrightarrow{\mathcal{F}} 2\pi\delta(\omega - 2\omega_0)$$

.

.

.

← تبدیل فوریه یک سیگنال متناوب، یک قطار ضربه است.

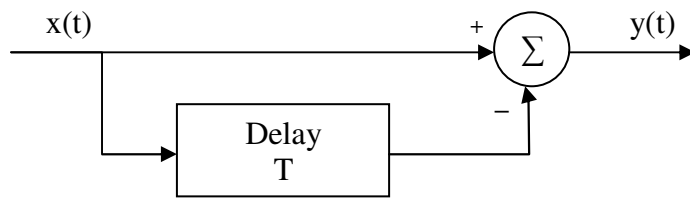
$$\rightarrow G_v(f) = \sum_{n=-\infty}^{+\infty} |c_n|^2 \delta(f - nf_0)$$

$$\begin{cases} G_v(f) = \sum_{n=-\infty}^{+\infty} |c_n|^2 \delta(f - nf_0) \\ \int_{-\infty}^{+\infty} G_v(f) df = R_v(0) = \int_{-\infty}^{+\infty} v(t) \cdot v^*(t) dt \end{cases} \rightarrow \sum_{n=-\infty}^{+\infty} |c_n|^2 = \int_{-\infty}^{+\infty} v(t) \cdot v^*(t) dt$$

صورت دیگری از قضیه پارسوال :

$$\sum_{n=-\infty}^{+\infty} |c_n|^2 = \int_{-\infty}^{+\infty} v(t) \cdot v^*(t) dt$$

مثال: فیلتر شانه ای<sup>۱</sup>:



$$R_y(\tau) = ?$$

$$G_y(\tau) = ?$$

$$(P_v)E_v = \bar{y}^2 = ?$$

(یکی از کاربردهای این فیلتر در سیستم های تلویزیونی است.)

$$h(t) = \delta(t) - \delta(t - T)$$

$$\text{تبدیل فوریه} \rightarrow H(f) = 1 - e^{-j2\pi fT}$$

$$|H(f)|^2 = H(f) \cdot H^*(f) = (1 - e^{-j2\pi fT})(1 - e^{j2\pi fT})$$

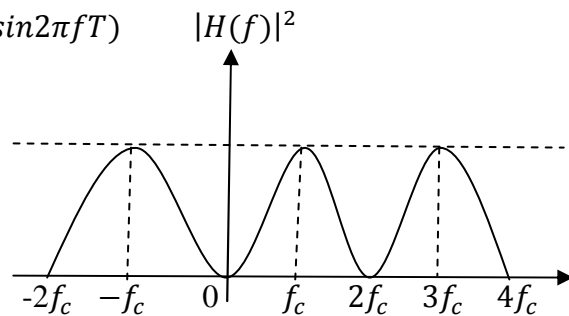
$$= 2 - e^{-j2\pi fT} - e^{j2\pi fT}$$

$$= 2 - (\cos 2\pi fT - j\sin 2\pi fT) - (\cos 2\pi fT + j\sin 2\pi fT)$$

$$= 2 - 2\cos 2\pi fT = 2 - 2(1 - 2\sin^2 2\pi fT)$$

$$= 4\sin^2 \pi fT \quad \text{و} \quad (T = \frac{2}{f_c} \text{ فرض})$$

$$\rightarrow |H(f)|^2 = 4\sin^2 \left( 2\pi \frac{f}{f_c} \right)$$



$$\begin{cases} G_y(f) = |H(f)|^2 \cdot G_x(f) \\ R_y(\tau) = \mathcal{F}^{-1}\{G_y(f)\} \end{cases}$$

$$\rightarrow R_y(\tau) = \mathcal{F}^{-1}[|H(f)|^2] * R_x(\tau)$$

$$\text{و} \quad \mathcal{F}^{-1}[|H(f)|^2] = 2\delta(t) - \delta(t - T) - \delta(t + T)$$

$$\Rightarrow R_y(\tau) = R_x(\tau) * [2\delta(t) - \delta(t - T) - \delta(t + T)]$$

$$= 2R_x(\tau) - R_x(\tau - T) - R_x(\tau + T)$$

$$\rightarrow \bar{y}^2 = 2R_x(0) - R_x(-T) - R_x(T)$$

$$= 2\bar{x}^2 - 2R_x(T) \quad \text{و} \quad (\bar{x}^2 = \langle x(t) \cdot x^*(t) \rangle \text{ باشد اگر سیگنال حقیقی باشد})$$

# فصل دوم

## نویز

به سیگنال‌های الکتریکی ناخواسته نویز گفته می‌شود.

منابع تولید نویز : ۱- انسان و محصولات ساخت بشر ۲- عوامل طبیعی

برخی منابع نویز را می‌توان با تمهیدات خاصی از بین برد یا ضعیف کرد، اما برخی دیگر را نمی‌توان؛ زیرا بطور ذاتی در پدیده‌ها وجود دارند مانند نویز حرارتی که ناشی از حرکت الکترون‌هاست.

**نویز حرارتی:** ناشی از حرکت تصادفی ذرات باردار است. به نویز حرارتی نویز جانسون<sup>۱</sup> نیز گفته می‌شود.

(ثابت بولتزمن<sup>۲</sup>  $k$ ) ،  $kT \propto$  انرژی متوسط یک ذره در دمای مطلق

هرچه انرژی حرکتی ذره بیشتر شود، نویز بیشتری نیز تولید می‌شود؛ بنابراین انتظار داریم که در عبارت مربوط به نویز حرارتی، جمله  $kT$  نیز وجود داشته باشد.

این نویز چون شامل ترکیب بی‌شمار حرکت تصادفی الکترون‌هاست؛ طبق قضیه "حد مرکزی"<sup>۳</sup> توزیع گوسی

با متوسط صفر و واریانس:  $E[v^2] = \overline{v^2} = \delta_v^2 = \frac{2(\pi kT)^2}{3h} R (v^2)$  دارد که :

$K = 1.37 \times 10^{-23} \text{ J/oK}$  ثابت بولتزمن و  $h = 6.62 \times 10^{-34} \text{ J.sec}$  ثابت پلانک

$T =$  دما برحسب درجه کلوین

(یادآوری :  $E(x) = \begin{cases} \sum x f_x(x) \\ \int x f_x(x) dx \end{cases}$  امید ریاضی)

1.Johnson Noise  
3.Central limit theorem

2.Boltzman constant

$$G_v(f) = \frac{2Rh|f|}{\exp\left(\frac{h|f|}{kT}\right) - 1} \quad (v^2/Hz) \quad \text{چگالی طیفی نویز حرارتی مذکور چنین است:}$$

که در فرکانس‌های پایین،  $|f| \ll \frac{kT}{h}$ ، با استفاده از بسط تیلور می‌تواند چنین تقریب زده شود:

$$\Rightarrow G_v(f) \approx 2RkT \left(1 - \frac{h|f|}{2kT}\right)$$

(یادآوری بسط تیلور:  $|x| \ll 1$  و  $e^x \approx 1 + x + \frac{x^2}{2}$ )

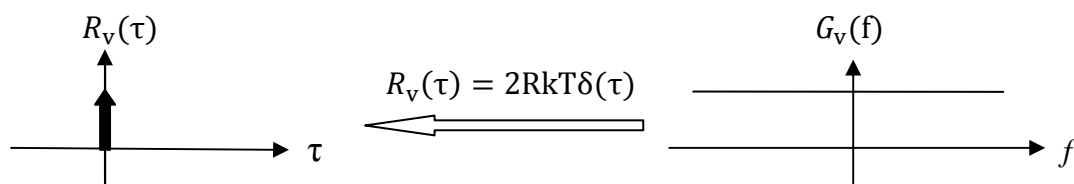
اما حد فوق برای تقریب (یعنی  $\frac{kT}{h}$ ) عدد بسیار بزرگی است، بطوری که برای  $0.1 \frac{kT}{h}$  که می‌توان  $G_v(f)$  را

$$0.1k \frac{T}{h} \approx 10^{12} Hz \quad \text{تقریباً ثابت فرض کرد داریم:}$$

که این فرکانس در حوزه نور مادون قرمز است و بسیار فراتر از حوزه امواج رادیویی مورد استفاده است. لذا

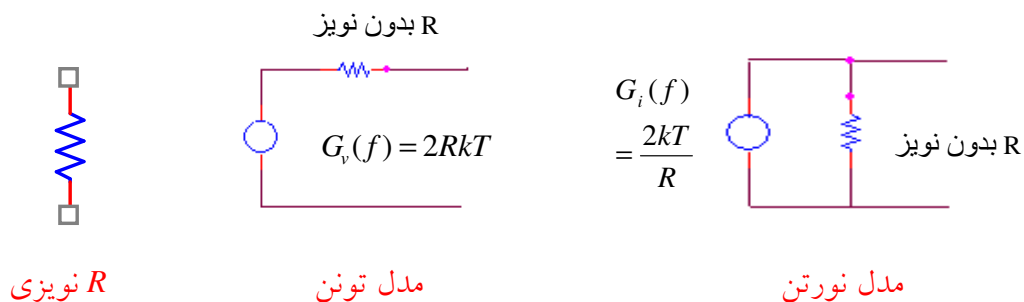
براحتی و با دقت خوبی می‌توان نوشت:

$$G_v(f) = 2RkT \quad v^2/Hz \quad \Rightarrow \quad \text{چگالی طیفی ولتاژ تصادفی ناشی از نویز حرارتی:}$$



بنابراین هر مقاومت فلزی را می‌توان بصورت زیر با یک مدل تونن یا نورتن مدل کرد. (زیرا مقاومت در

حقیقت یک تولیدکننده ولتاژ یا جریان است.)



توجه کنید که داخل دایره‌های مربوط به نمادهای  $G_v(f)$  و  $G_i(f)$  فلش قرار داده نشده است تا طبیعت تصادفی

بودن ولتاژ یا جریان مشخص شود.

$$\begin{aligned} G_v(f) &= \mathcal{F}\{R_v(\tau)\} = \mathcal{F}\{< v(t). v(t - \tau) >\} \\ &= \mathcal{F}\{< Ri(t). Ri(t - \tau) >\} \end{aligned}$$

$$= R^2 \mathcal{F} \left\{ \underbrace{i(t) \cdot i(t - \tau)}_{R_i(\tau)} \right\} = R^2 G_i(f)$$

رابطه بین  $G_i(f)$  و  $G_v(f)$  در مدل تونن و نورتن :

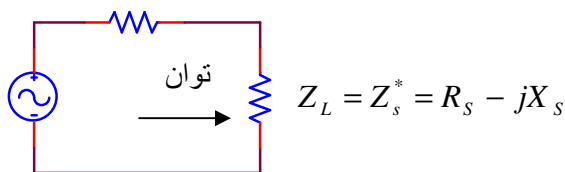
$$\rightarrow G_v(f) = R^2 G_i(f)$$

### قضیه انتقال توان ماکزیمم :

کل توان موجود (یعنی ماکزیمم توانی که یک منبع با مقاومت ثابت غیر صفر می تواند به مقاومت بار تحویل

دهد) زمانی به بار منتقل می شود که مقاومت بار با مقاومت منبع تطبیق یافته باشد. یعنی :

$$Z_s = R_s + jX_s$$



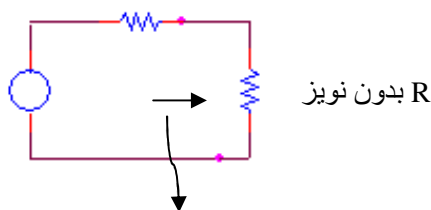
در این صورت توان موجود ( $P_a$ ) برابر می شود با :

$$P_a = \frac{\langle \left[ \frac{v_s(t)}{2} \right]^2 \rangle}{R_s} = \frac{\langle v_s^2(t) \rangle}{4R_s}$$

حال قضیه فوق را می توان برای یک مقاومت فلزی که مدل تونن آنرا دیدیم، بکار برد و مفهوم "چگالی طیفی

موجود" را بجای "توان موجود" بکار برد :

R بدون نویز



$$G_a(f) = \frac{G_v(f)}{4R} = \frac{2RkT}{4R} = \frac{1}{2} kT \quad (W/Hz) \quad \leftarrow \quad \text{چگالی طیفی موجود}$$

همانطور که ملاحظه می کنید چگالی طیفی موجود یک مقاومت R فقط به دما بستگی دارد، بعبارت دیگر یک

مقاومت حرارتی مستقل از مقدار مقاومت آن، همیشه چگالی طیفی  $\frac{kT}{2}$  را به یک بار تطبیق یافته منتقل می کند.

کارکردن با  $G_a(f)$  بجای  $G_v(f)$  محاسبات را سریعتر و ساده تر می کند.



**نویز سفید<sup>۱</sup>:** نویزی است که تابع چگالی طیفی آن مستقل از فرکانس است.

نویز حرارتی که تاکنون بررسی کردیم یک عضو از خانواده نویز سفید است.

چگالی طیفی نویزهای سفید را در حالت کلی به صورت  $G(f) = \frac{1}{2}\eta$  می‌نویسیم.

(ضریب  $\frac{1}{2}$  بخاطر لحاظ کردن فرکانس‌های مثبت است. در حقیقت رابطه فوق می‌گوید که نصف چگالی طیفی

برای فرکانس‌های مثبت و نصف دیگر برای فرکانس‌های منفی است.)

با توجه به رابطه بالا داریم:

$$G_v(f) = 2RkT = \frac{1}{2}\eta \Rightarrow \eta_v = 4RkT$$

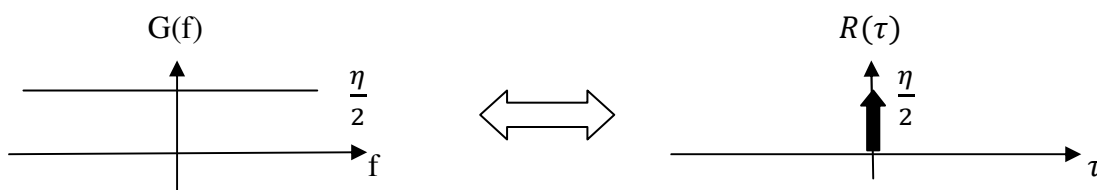
$$G_i(f) = \frac{2kT}{R} = \frac{1}{2}\eta \Rightarrow \eta_i = \frac{4kT}{R}$$

$$G_a(f) = \frac{1}{2}kT = \frac{1}{2}\eta \Rightarrow \eta_a = kT$$

**نتیجه:** هر منبع نویز سفید حتماً یک  $\eta$  دارد. (اگر نویز سفید ناشی از ولتاژ تصادفی بود، اسم آنرا  $\eta_v$  می‌گذاریم،

اگر ناشی از جریان تصادفی بود، اسم آنرا  $\eta_i$  می‌گذاریم و برای چگالی طیفی موجود نام آنرا  $\eta_a$  می‌گذاریم.)

$$G(f) = \frac{1}{2}\eta \rightarrow R(\tau) = \mathcal{F}^{-1}\{G(f)\} = \frac{1}{2}\eta\delta(\tau)$$



**دمای نویز:** برای مقایسه منابع نویز از دمای نویز استفاده می‌شود.

برای درک مفهوم دمای نویز ذکر این نکته ضروری است که منابع نویز دو دسته‌اند:

۱- حرارتی: که مرتبط با حرارت هستند. برای تمام منابع نویز حرارتی داریم:  $\eta_a = kT$

۲- غیر حرارتی: که هیچ ارتباطی با دمای فیزیکی ندارند.

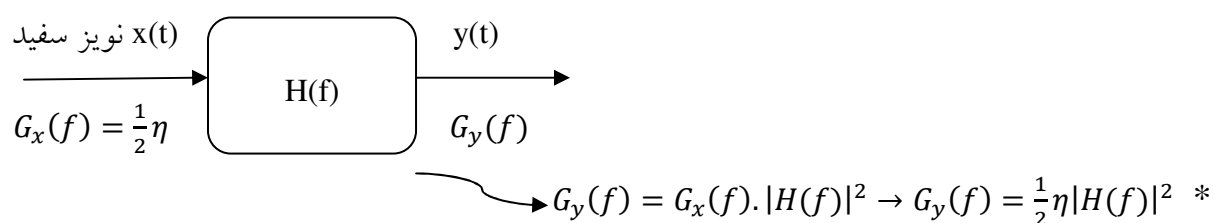
حال می‌توان برای تمام منابع نویز (چه حرارتی و چه غیر حرارتی) دمای نویز در نظر گرفت. بدین صورت که دمای نویز را برای هر منبع دلخواهی اینگونه تعریف می‌کنیم:

$$T_N \triangleq \frac{2G_a(f)}{k} = \frac{\eta_a}{k}$$

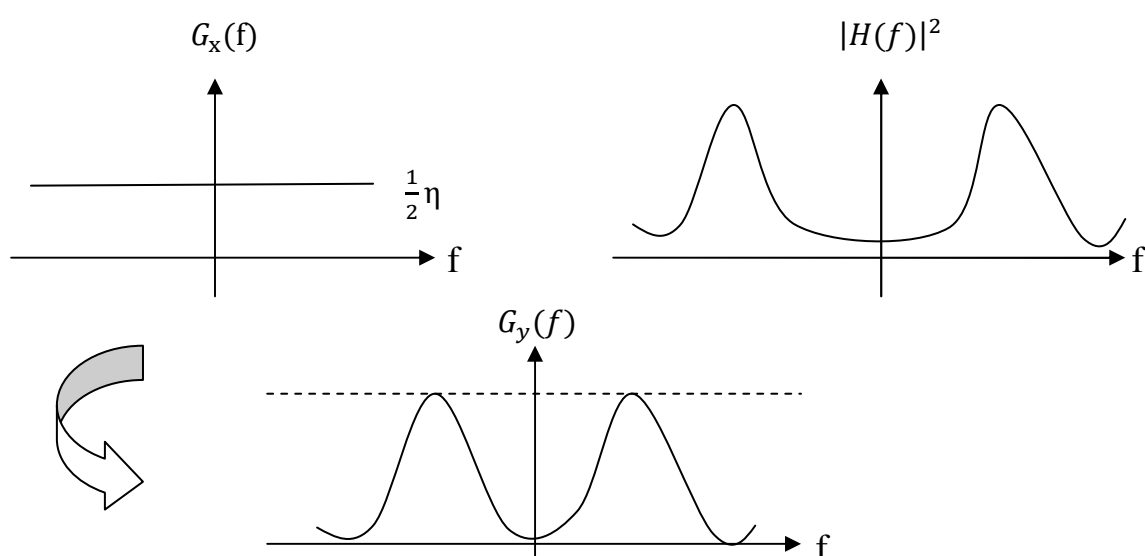
بنابراین اگر دمای نویز منبعی را داده باشند می‌توان  $\eta_a$  آنرا محاسبه کرد:  $\eta_a = kT_N$

توجه کنید که  $T_N$  لزوماً تعبیر فیزیکی ندارد. مثلاً برخی منابع الکترونیکی تولید نویز دمایی حدود  $T_N = 3000^{\text{K}}$  دارند.

### برخی روابط مربوط به اعمال نویز سفید گوسی به یک سیستم LTI:



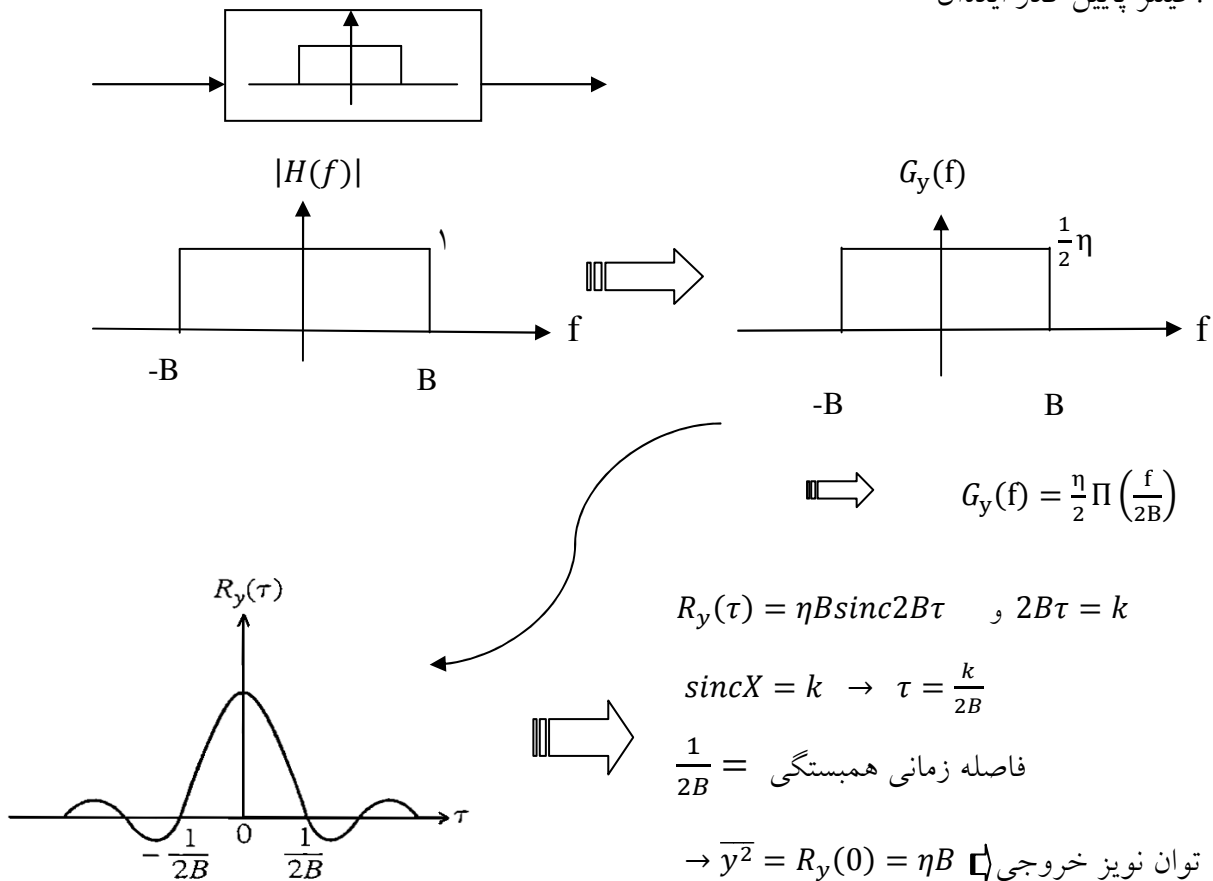
رابطه \* نشان می‌دهد که چگالی طیفی نویز فیلتر شده، شکل  $|H(f)|^2$  را بخود می‌گیرد. لذا دیگر نویز فیلتر شده، سفید نیست بلکه در اصطلاح آنرا رنگی می‌نامند. (در شکل زیر این موضوع را ملاحظه می‌کنید:)



$$* \Rightarrow R_y(\tau) = \mathcal{F}^{-1}\{G_y(f)\} = \frac{1}{2}\eta \mathcal{F}^{-1}\{|H(f)|^2\}$$

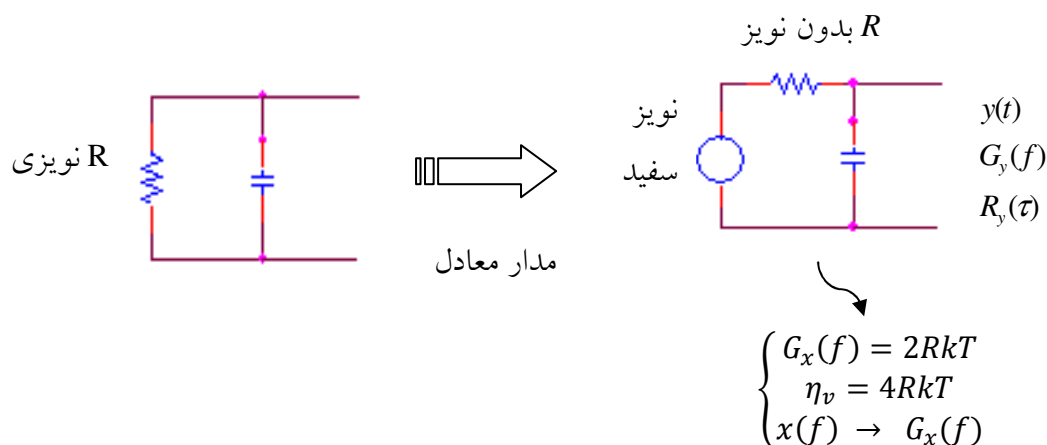
$$R_y(0) = \overline{y^2} = \frac{1}{2}\eta \int_{-\infty}^{+\infty} |H(f)|^2 df$$

مثال ۱: فیلتر پایین گذر ایده آل

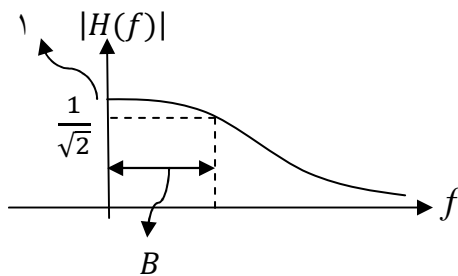


مثال ۲: فیلتر پایین گذر واقعی:

تابع همبستگی خروجی و تابع خودهمبستگی و متوسط توان نویز خروجی را بدست آورید:



$$H(f) = \frac{1}{R + \frac{1}{j2\pi cf}} = \frac{1}{1 + j2\pi fRc} = \frac{1}{1 + j\frac{f}{B}}$$



$$B = \frac{1}{2\pi Rc}$$

$$20 \log \frac{1}{\sqrt{2}} \approx -3 \text{ dB}$$

$$\rightarrow |H(f)|^2 = \frac{1}{1 + \left(\frac{f}{B}\right)^2}$$

$$\rightarrow G_y(f) = G_x(f) \cdot |H(f)|^2 = \frac{1}{2} \eta \cdot |H(f)|^2 = \frac{2RkT}{1 + \left(\frac{f}{B}\right)^2}$$

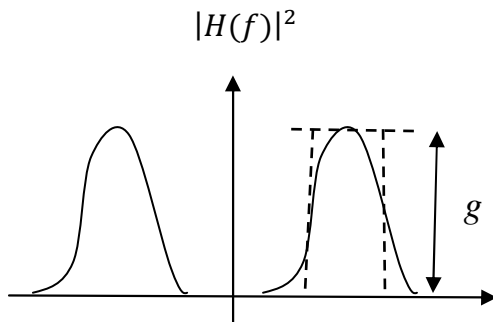
$$R_y(\tau) = 2RkT\pi B e^{-2\pi B|\tau|} = \frac{kT}{c} e^{-\frac{|\tau|}{Rc}}$$

$$\rightarrow \overline{y^2} = R_y(0) = \frac{kT}{c} \quad *$$

از رابطه \* ملاحظه می‌کنید که علیرغم اینکه نویز خروجی ناشی از مقاومت حرارتی است اما توان نویز

خروجی به  $c$  بستگی دارد نه به  $R$ . (این موضوع در پهنای باند بررسی می‌شود).

### پهنای باند معادل نویز ( $B_N$ ):



$$g = |H(f)|_{\max}^2$$

$$N_0 = \eta \int_0^{+\infty} |H(f)|^2 df \quad \Rightarrow \quad \text{توان نویز خروجی برای حالت سینوسی شکل}$$

$$N'_0 = \eta \int_0^{+\infty} |H'(f)|^2 df \quad \Rightarrow \quad \text{توان نویز خروجی برای حالت مستطیل شکل}$$

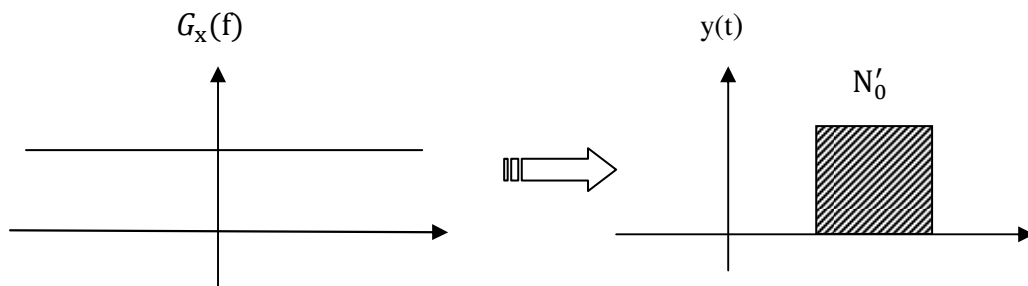
$$= \eta \cdot g \cdot B_N$$

می‌خواهیم  $B_N$  مقداری باشد که  $N_0 = N'_0$  شود.

$$\rightarrow \eta \int_0^{+\infty} |H(f)|^2 df = \eta \cdot g \cdot B_N$$

$$\rightarrow B_N = \frac{1}{g} \int_0^{+\infty} |H(f)|^2 df \quad \text{و} \quad g = |H(f)|_{\max}^2$$

یعنی  $\sqrt{g}$  گین ولتاژ در فرکانس مرکزی فیلتر است.



$$B_N = \int_0^{+\infty} \frac{1}{1 + \left(\frac{f}{B}\right)^2} df = \frac{\pi}{2} B = \frac{1}{4Rc} = B_N$$

برای مثال ۲ داریم :

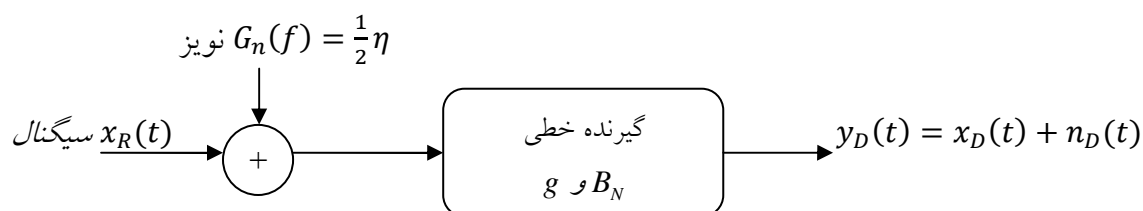
$$N_0 = \underbrace{(4RkT)}_{\eta} \times 1 \times \underbrace{\left(\frac{1}{4Rc}\right)}_{B_N} = \frac{kT}{c}$$

توضیح آنکه: هرچه مقدار  $R$  بزرگتر شود، چگالی نویز  $\eta$  بیشتر می‌شود. اما به همان نسبت پهنای باند معادل نویز نیز کاهش می‌یابد، لذا توان خروجی که حاصلضرب این دو کمیت است مستقل از  $R$  می‌شود.

پهنای باند معادل نویز برای فیلترهای ایده‌آل همان پهنای باند واقعی آن‌هاست، ولی همانطور که دیدیم برای فیلترهای واقعی پهنای باند معادل نویز بیشتر از  $3dB$  آن‌هاست.

### انتقال سیگنال با نویز :

در حالت کلی در یک سیستم، نویز در نقاط مختلفی ممکن است به سیگنال اصلی اضافه شود که به آن نویز جمع شونده گفته می‌شود. برای سادگی فرض کنید نویز در یک نقطه فشرده شده و فقط در همان نقطه به سیگنال اصلی اضافه می‌شود. چنین طرحی برای یک گیرنده در زیر نشان داده شده است :



در این طرح براین نکته تأکید شده است که ورودی گیرنده مهمترین و تأثیرگذارترین نقطه است زیرا سیگنال اصلی ضعیف‌ترین سطح ممکن خود را دارد. نکته دیگر اینکه می‌توان نویز موجود در نقاط دیگر غیر از ورودی

سیستم را به ورودی منتقل کرد.

چون سیستم خطی است پس خروجی را می توان بصورت مجموع پاسخ های هرکدام از دو جزء ورودی نوشت:

$$y_D(t) = x_D(t) + n_D(t)$$

$$y_D^2(t) = x_D^2(t) + n_D^2(t) + 2x_D(t).n_D(t) *$$

دو فرض در مورد نویز در نظر می گیریم :

۱- نویز تولید شده، متوسط صفر دارد و نیز مشخصات آماری آن با زمان تغییر نمی کند. (مشخصات آماری مانند

متوسط، واریانس و...)

۲- منبع تولید نویز و سیگنال اصلی مستقل از هم اند و هیچگونه همبستگی به هم ندارند. (ناهمبسته هستند).

با در نظر گرفتن دو فرض فوق از طرفین رابطه \* متوسط آماری می گیریم :

$$\rightarrow E[y_D^2(t)] = E[x_D^2(t)] + E[n_D^2(t)] + 2E[x_D(t).n_D(t)]$$

$$\text{فرض شماره ۲} \rightarrow E[y_D^2(t)] = E[x_D^2(t)] + E[n_D^2(t)] + 2E[x_D(t)].E[n_D(t)]$$

$$\text{فرض شماره ۱} \rightarrow E[y_D^2(t)] = E[x_D^2(t)] + E[n_D^2(t)]$$

$$\rightarrow \overline{y_D^2(t)} = \overline{x_D^2(t)} + \overline{n_D^2(t)}$$

$$\Longrightarrow N_{y_D} = S_D + N_D = \text{توان سیگنال خروجی در گیرنده}$$

از رابطه ی بالا نتیجه می گیریم که اصل جمع آثار برای توان در حالت مستقل و ناهمبسته بودن سیگنال و نویز

صادق است.

### نسبت سیگنال به نویز (SNR):<sup>۱</sup>

طبق تعریف برابر است با نسبت توان سیگنال به توان نویز یعنی :

$$SNR \triangleq \frac{S}{N} = \frac{\text{توان سیگنال در آن نقطه}}{\text{توان نویز در آن نقطه}}$$

(با اندیس گذاری می توان مشخص کرد که کدام نقطه مدنظر است؛ مثلاً در  $(\frac{S}{N})_D$  خروجی مدنظر است.)

$$\left(\frac{S}{N}\right)_D = \frac{S_D}{N_D}$$

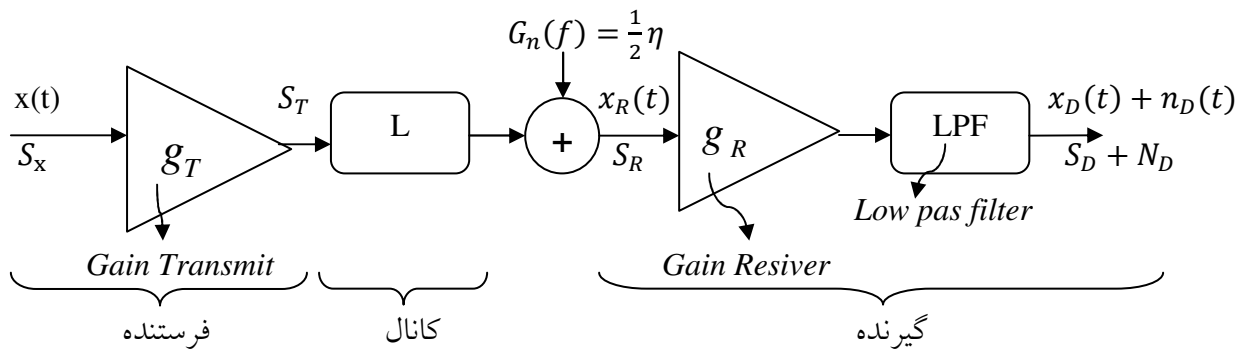
$$N_D = g \cdot \eta \cdot B_N$$

$$\eta = kT_N = kT_0 \left(\frac{T_N}{T_0}\right) \approx 4 \times 10^{-21} \left(\frac{T_N}{T_0}\right)$$

(هرچه SNR بزرگتر باشد برای ما مفیدتر است.)

### سیستم انتقال باند پایه آنالوگ :

یک سیستم ساده انتقال باند پایه آنالوگ در شکل زیر نشان داده شده است :



فرض می‌کنیم سیگنال منبع مشخصات آماری ثابت و مستقل از زمان داشته باشد (اصطلاحاً آرگودیک باشد) و

پهنای باند آن نیز حدود  $w$  باشد یعنی برای  $|f| > w$  مولفه‌های ناچیزی داشته باشد.

$$\left\{ \begin{array}{l} S_x \triangleq \overline{x^2} \\ S_T = g_T \cdot S_x \\ S_D = \overline{x_D^2} = g_R \cdot S_R \\ S_R = \overline{x_R^2} = \frac{S_T}{L} \\ N_D = g_R \cdot \eta \cdot w \end{array} \right. \implies \left(\frac{S}{N}\right)_D = \frac{S_D}{N_D} = \frac{S_R}{\eta \cdot w} \quad *$$

رابطه \* را می‌توان بصورت اثر کانال  $L$  و اثر  $g_T$  بر  $SNR$  اینگونه نوشت :

$$L \text{ اثر کانال : } \frac{S_R}{\eta \cdot w} = \frac{S_T}{\eta \cdot L \cdot w} = \frac{g_T}{\eta \cdot L \cdot w} \cdot S_x \implies SNR \text{ بر } g_T \text{ اثر}$$

مقدار  $\left(\frac{S}{N}\right)_D$  را معمولاً برحسب دسی بل (dB) بیان می‌کنند. برای اینکار توان‌ها را برحسب dBm بیان می‌کنیم :

$$\left(\frac{S}{N}\right)_{D_{dB}} = 10 \log \left( \frac{S_R / 1mw}{k \cdot T_N \cdot w} \right)$$

$$= S_{RdBm} + 174 - 10 \log \left( \frac{T_N}{T_0} \cdot W \right)$$

## نویز تقویت کننده :

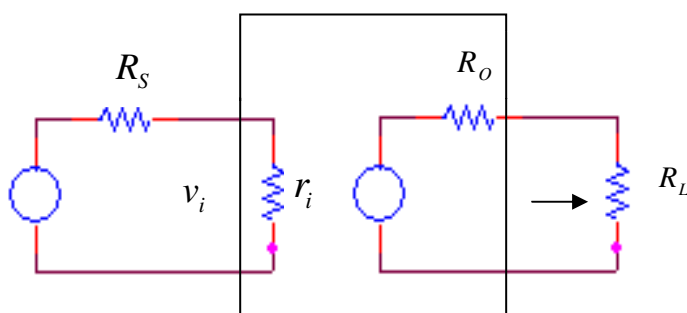
معمولاً از دو کمیت (معیار) برای بررسی و اندازه گیری نویز در تقویت کننده ها استفاده می شود:

۱- دمای مؤثر نویز<sup>۱</sup>

۲- عدد نویز<sup>۲</sup>

در ادامه به بررسی هر کدام می پردازیم.

فرض می کنیم مدل یک تقویت کننده بدون نویز (یعنی خودش نویز اضافه نمی کند) چنین باشد :



$$\eta_s(f) = \frac{v_s^2(f)}{4R_s} \quad \text{توان موجود در منبع}$$

$$\begin{aligned} \eta_o(f) &= \frac{v_o^2(f)}{4r_o} = \frac{|H(f)|^2 \cdot v_i^2(f)}{4r_o} \\ &= \frac{|H(f)|^2}{4r_o} \cdot \left( \frac{r_i}{R_s + r_i} \right)^2 \cdot v_s^2(f) \end{aligned}$$

$$g_a(f) \triangleq \frac{\eta_o(f)}{\eta_s(f)} = \left( \frac{|H(f)| \cdot r_i}{R_s + r_i} \right)^2 \cdot \frac{R_s}{r_o}$$

حال فرض می کنیم منبع مورد بررسی، منبع نویز سفید با دمای نویز  $T_s$  باشد. پس  $\eta_s(f) = kT_s$

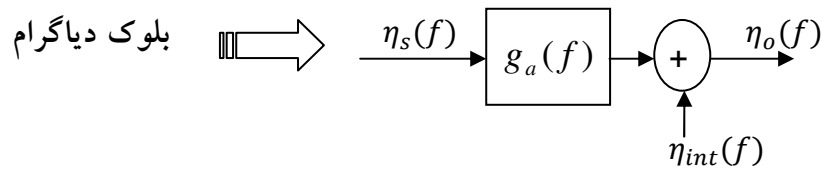
$$\eta_o(f) = g_a(f) \cdot \eta_s(f) = g_a(f) \cdot kT_s \quad \text{و}$$

حال اگر تقویت کننده نویزی هم باشد یعنی خودش یک نویز داخلی تولید کند که مستقل از نویز منبع باشد

آنگاه می توان نوشت :



$$\eta_o(f) = g_a(f) \cdot \eta_s(f) + \eta_{int}(f)$$



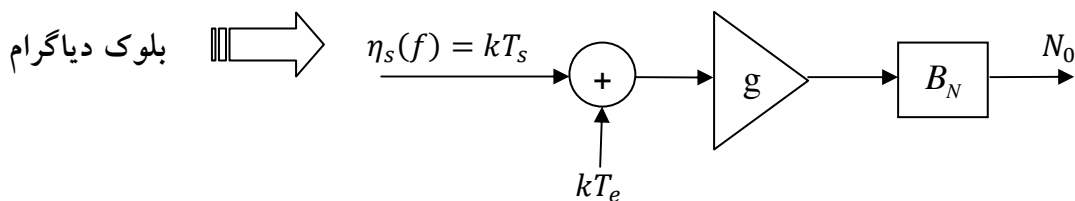
$$N_o = \int_0^{+\infty} \eta_o(f) df = \underbrace{kT_s \int_0^{\infty} g_a(f) df}_{N'_0} + \underbrace{\int_0^{\infty} \eta_{int}(f) df}_{N''_0} \quad (1)$$

$$N''_0 = g \cdot \eta_{int} \cdot B_N = gkT_e \cdot B_N \quad (2) \quad \text{از طرفی:}$$

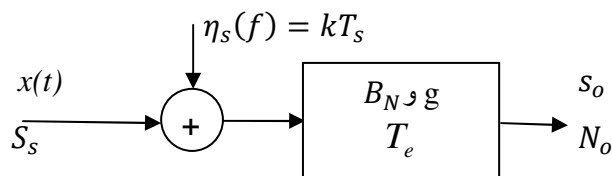
$$T_e \triangleq \frac{1}{gkB_N} \int_0^{\infty} \eta_{int}(f) df \quad \text{دمای مؤثر نویز (1) و (2)}$$

$$\rightarrow N_o = N'_0 + N''_0 = gkT_s B_N + gkT_e B_N$$

$$\rightarrow N_o = gkB_N(T_s + T_e)$$



حال دیاگرام زیر را برای یک تقویت کننده نویزی در نظر بگیرید:



$$s_o = g \cdot s_s$$

$$\rightarrow \left(\frac{S}{N}\right)_o = \frac{gS_s}{N_o} = \frac{gS_s}{gkB_N(T_s + T_e)} = \frac{S_s}{kB_N(T_s + T_e)} \quad (1)$$

$$\left(\frac{S}{N}\right)_s = \frac{S_s}{N_s} = \frac{S_s}{kT_s B_N} \quad (2)$$

$$(1) \text{ و } (2) \Rightarrow \left(\frac{S}{N}\right)_o = \frac{1}{1 + \frac{T_e}{T_s}} \cdot \left(\frac{S}{N}\right)_s$$

ملاحظه می کنید که:

$$1 - \text{همواره} \quad \left(\frac{S}{N}\right)_o \leq \left(\frac{S}{N}\right)_s$$

۲- افت  $SNR$  ورودی در خروجی، فقط به نسبت  $\frac{T_e}{T_s}$  بستگی دارد.

دومین معیار عدد نویز است که اینگونه تعریف می شود :

$$F \triangleq \frac{(S/N)_s}{(S/N)_o} \quad (1)$$

$F$  همواره بزرگتر مساوی ۱ است. هرچه  $F$  بزرگتر باشد تقویت کننده نویزی تر است.

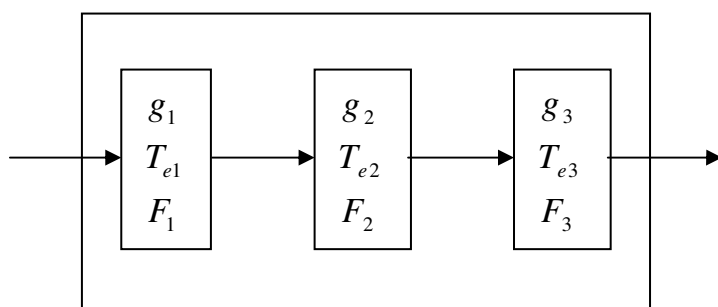
$$(2). F = 1 + \frac{T_e}{T_s}$$

$$(3). T_e = (F - 1)T_s = (F - 1)T_o$$

**نکته :**  $F$  های بزرگ را معمولاً برحسب  $dB$  بیان می کنند.

اگر چندین سیستم با دماهای مؤثر نویز  $T_1, T_2, \dots$  و عددهای نویز  $F_1, F_2, \dots$  و گین های  $g_1, g_2, \dots$  بصورت

سری به هم متصل شوند، آنگاه دمای مؤثر نویز کل سیستم و نیز عدد نویز کل سیستم چنین خواهد بود :



$$\rightarrow F = F_1 + \frac{F_2 - 1}{g_1} + \frac{F_3 - 1}{g_1 \cdot g_2} + \dots + \frac{F_n - 1}{g_1 \cdot g_2 \dots g_{n-1}}$$

$$\rightarrow T_e = T_{e1} + \frac{T_{e2}}{g_1} + \frac{T_{e3}}{g_1 \cdot g_2} + \dots + \frac{T_{en}}{g_1 \cdot g_2 \dots g_{n-1}} \quad \text{فرمول فری}^1 :$$

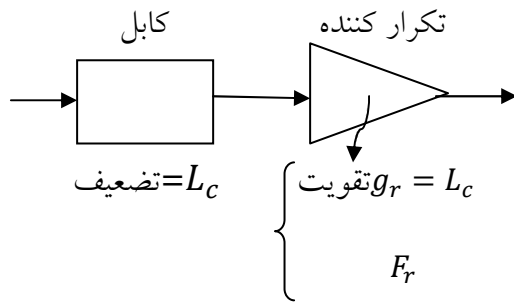
**تذکر :** از هر دو رابطه ی فوق اهمیت طبقه اول مشخص می شود و اینکه گین تقویت کننده ای که در انتهای

زنجیره قرار می گیرد، مهم نیست.

مثال : یک سیستم تکرار کننده شامل  $m$  بخش یکسان است که هر بخشی از یک تکه کابل و یک تکرار کننده

مطابق شکل زیر تشکیل شده است :

مطلوبست عدد نویز و دمای نویز کل



$$F_c = \frac{(S/N)_s}{(S/N)_o} = \frac{S_s}{S_o} \times \frac{N_o}{N_s} = L_c$$

$$g_c = \frac{1}{L_c}$$

برای بخش از کل:  $F_1 = F_c + \frac{F_r - 1}{\left(\frac{1}{L_c}\right)} = L_c + L_c(F_r - 1) = L_c \cdot F_r$  فرمول فری

عدد نویز برای کل  $m$  بخش:  $(F_1 = F_2 = F_3 = \dots)$   $F = F_1 + \frac{F_2 - 1}{1} + \frac{F_3 - 1}{1 \times 1} + \dots$

عدد نویز کل  $F = mF_1 - (m - 1) \simeq mF_1$

دمای نویز کل  $T_e = (F - 1)T_0 \simeq mF_1T_0$

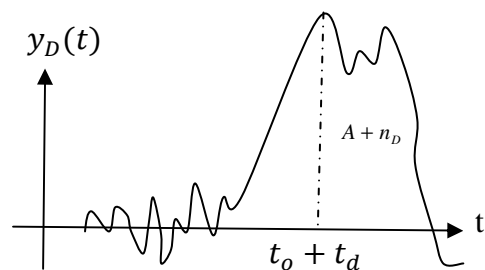
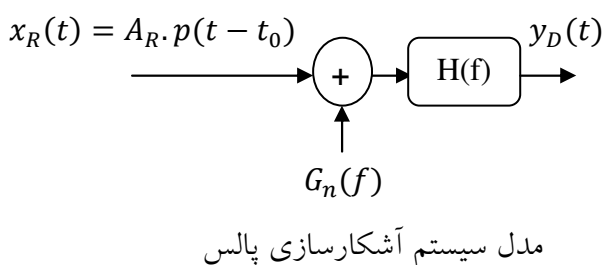
## آشکارسازی پالس و فیلترهای تطبیق یافته<sup>۱</sup>:

پالسی که شکل موج آنرا می‌دانیم فرستاده و شکل موج تغییر یافته برگشتی که آغشته به نویز نیز می‌باشد را

دریافت می‌کنیم. می‌خواهیم در هر لحظه از زمان تعیین کنیم که آیا پالسی وجود دارد یا خیر؟

چون شکل موج پالس را می‌دانیم برای آشکارسازی زمان ورود پالس دریافتی می‌توان فیلترهای متناسب

باشکل موج پالس ارسالی طراحی کرد که به این فیلترهای بهینه، فیلترهای تطبیق یافته گفته می‌شود.



یک نمونه خروجی فیلترشده

پالس دریافتی شکل موج معلوم  $p(t)$  دارد اما دامنه  $A_R$  و زمان ورود  $t_0$  آن نامعلوم است. لذا :

$$x_R(t) = A_R \cdot p(t - t_0)$$

$$\text{تبدیل فوریه} \rightarrow X_R(f) = A_R \cdot p(f) \cdot e^{-j\omega t_0}$$

$$\text{انرژی پالس} : E_R = \int_{-\infty}^{+\infty} |X_R(f)|^2 df = A_R^2 \int_{-\infty}^{+\infty} |p(f)|^2 df$$

ایده کار چنین است که فیلتری طراحی می‌کنیم که انرژی پالس را در یک نقطه یا یک پالس با دامنه پیک  $A$  متمرکز کرده و نیز انرژی نویز خروجی را مینیمم کند.

فرض کنیم زمان مشاهده پیک پالس مذکور،  $t = t_0 + t_d$  باشد. لذا شکل موج خروجی مشابه آنچه که در شکل اخیر آمده می‌باشد. حال بدنبال  $H(f)$  فیلتر مذکور می‌گردیم که هدف مذکور را تحقق دهد. توابع  $p(t)$  و  $G_n(f)$  معلوم فرض می‌شوند.

$$A = F^{-1}\{Y_D(f)\} \Big|_{t=t_0+t_d} = F^{-1}\{H(f) \cdot X_R(f)\} \Big|_{t=t_0+t_d}$$

$$= A_R \int_{-\infty}^{+\infty} H(f) \cdot p(f) \cdot e^{j\omega t_d} df$$

$$\Rightarrow \text{توان سیگنال} = A^2 = A_R^2 \left| \int_{-\infty}^{+\infty} H(f) \cdot p(f) \cdot e^{j\omega t_d} df \right|^2$$

$$\text{توان نویز} = \sigma^2 = \int_{-\infty}^{+\infty} |H(f)|^2 G_n(f) df$$

حال محاسبه  $SNR$  :

$$SNR = \left( \frac{S}{N} \right)_D = \frac{A^2}{\sigma^2} = \left( \frac{A}{\sigma} \right)^2$$

$$= \frac{A_R^2 \left| \int_{-\infty}^{+\infty} H(f) \cdot p(f) \cdot e^{j\omega t_d} df \right|^2}{\int_{-\infty}^{+\infty} G_n(f) \cdot |H(f)|^2 df}$$

ما بدنبال ماکزیمم کردن نسبت روبرو هستیم:

$$\frac{\left| \int_{-\infty}^{+\infty} v(f) \cdot w^*(f) df \right|^2}{\int_{-\infty}^{+\infty} |v(f)|^2 df} \leq \int_{-\infty}^{+\infty} |w(f)|^2 df \quad *$$

از نامساوی شوارتز می‌دانیم :

حال  $v(f)$  و  $w(f)$  را بصورت زیر انتخاب می‌کنیم :

$$v(f) = H(f) \cdot \sqrt{G_n(f)}$$

$$w^*(f) = A_R \cdot \frac{H(f) p(f) e^{j\omega t_d}}{v(f)} = \frac{A_R \cdot p(f) \cdot e^{j\omega t_d}}{\sqrt{G_n(f)}}$$

می‌دانیم زمانی تساوی در رابطه \* برقرار می‌شود که  $v(f)$  متناسب با  $w(f)$  باشد پس اگر انتخاب کنیم (بطور

دلخواه)  $v(f) = \frac{kw(f)}{A_R}$  آنگاه مقدار ماکزیمم را چنین می‌توان بدست آورد :

$$\left(\frac{A}{\sigma}\right)_{max}^2 = A_R^2 \int_{-\infty}^{+\infty} \frac{|p(f)|^2}{G_n(f)} df$$

از شرط تساوی :  $H_{opt}(f) = k \cdot \frac{p^*(f) \cdot e^{-j\omega t_d}}{G_n(f)}$  تابع فیلتر بهینه  $\Rightarrow$

ملاحظه می‌کنید که فیلتر بهینه فرکانس‌هایی که سیگنال طیف قوی دارد تقویت کرده (زیرا متناسب با  $p(f)$

است.) و جاهایی که نویز طیف قوی دارد تضعیف می‌کند (زیرا متناسب با معکوس  $G_n(f)$  است.)

حال اگر نویز مورد بررسی سفید باشد (یعنی  $G_n(f) = \frac{1}{2}\eta$ ) :

$$\left(\frac{A}{\sigma}\right)_{max}^2 = \frac{2A_R^2}{\eta} \int_{-\infty}^{+\infty} |p(f)|^2 df = \frac{2E_R}{\eta}$$

$$H_{opt}(f) = \frac{2k}{\eta} \cdot p^*(f) \cdot e^{-j\omega t_d}$$

$$\rightarrow h_{opt}(t) = F^{-1}\{H_{opt}(f)\} = \frac{2k}{\eta} p(t_d - t)$$

ملاحظه می‌کنید که شکل پاسخ ضربه همان شکل پالس ارسالی را دارد لذا به همین دلیل نام فیلتر تطبیق یافته را

انتخاب کرده‌اند ( $t_d$  زمان تأخیر بین لحظه ورود پالس و لحظه وقوع پیک است.)

ممکن است  $h_{opt}(t)$  غیرسببی و در نتیجه غیرقابل تحقق شود. در اینگونه مواقع  $t_d$  را به اندازه کافی بزرگ

فرض می‌کنند و برای زمان‌های منفی پاسخ ضربه را صفر تقریب می‌زنند.

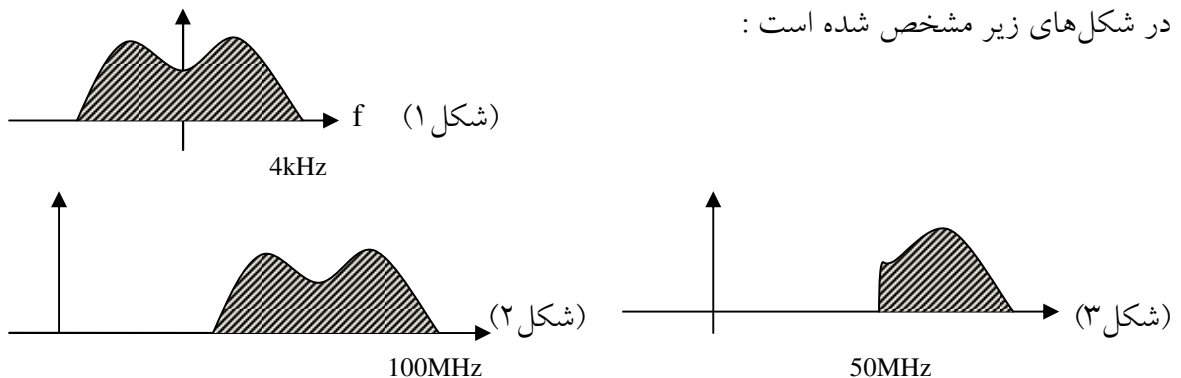
# فصل سوم

## مدولاسیون پیوسته خطی

می‌خواهیم سیگنال حقیقی  $x(t)$  که پیام نیز نامیده می‌شود را مدوله کنیم. یعنی طیف آنرا در حوزه فرکانس به فرکانس‌های بالاتر منتقل کنیم تا مناسب انتقال روی کانال باشد. در گیرنده عکس‌العمل مدولاسیون بنام دمودلایون انجام می‌شود یعنی طیف سیگنال سر جای اولیه خود منتقل می‌شود.

در مدولاسیون پیوسته خطی منظور از خطی بودن این است که شکل طیف پس از مدولاسیون به هم نخورد. نکته‌ای که در اینجا باید به آن توجه کرد این است که قسمت مهم طیف، فرکانس‌های مثبت است. این موضوع

در شکل‌های زیر مشخص شده است :



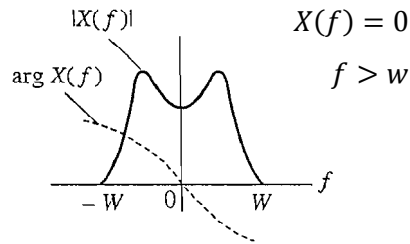
شکل ۲ و ۳ هر دو مدولاسیون پیوسته خطی شکل ۱ است. باید توجه داشت که شکل ۳ هم خطی است چون قسمت مهم طیف فرکانس‌های مثبت است و کافایت که قسمت مثبت شکل خود را حفظ کند تا خطی تلقی گردد.

در اینجا سه روش مدولاسیون را بررسی می‌کنیم :

SSB - ۳

DSB - ۲

AM - ۱



در ابتدا یکسری فرضیات را در نظر می گیریم :



۱- سیگنال را باند محدود در نظر می گیریم یعنی:

۲- سیگنال را نرمالیزه فرض می کنیم. یعنی :

$$|x(t)| \leq 1 \rightarrow s_x \leq 1 \text{ و } s_x = \langle x(t)^2 \rangle$$

البته بعضی اوقات تحلیل ریاضی با  $x(t)$  سخت و حتی غیر ممکن است لذا ممکن است در تحلیل خود از

حالت تک تن یا سینوسی استفاده کنیم :  $x(t) = A_m \cos \omega_m t$  ,  $A_m \leq 1$  ,  $f_m < w$

## الف) مدولاسیون AM:

در این مدولاسیون، پوش<sup>۲</sup> سیگنال مدوله شده، شکل سیگنال پیام  $x(t)$  را دارد.



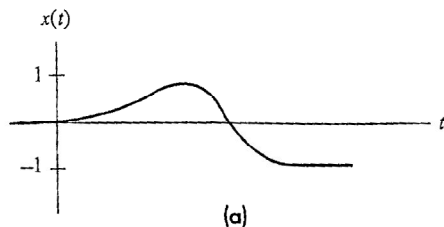
$$x_c(t) = A_c(1 + \mu x(t)) \cos \omega_c t \quad \text{و} \quad \omega_c = 2\pi f_c$$

$\mu$ : شاخص یا اندیس مدولاسیون نام دارد.

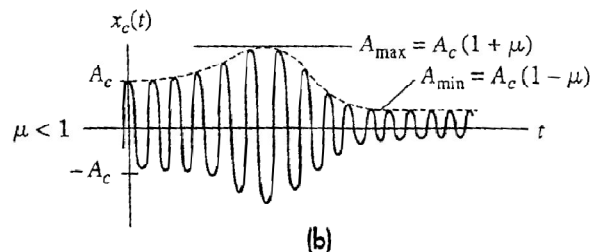
برای اینکه بتوان از پوش سیگنال مدوله شده، سیگنال اولیه را استخراج کرد دو شرط باید برقرار باشد:

$$\mu < 1 \quad -1$$

$$f_c \gg w \quad -2$$



(a)

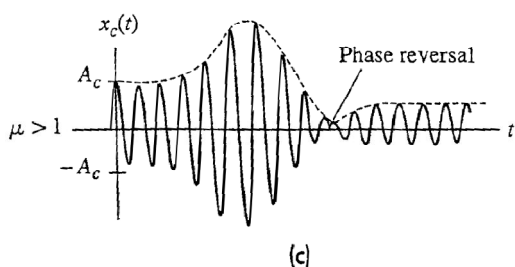


(b)

اگر  $\mu > 1$  شود پدیده‌ای بنام برگشت فاز<sup>۳</sup> اتفاق می افتد. در شکل C مشاهده می کنید :

1. Amplitude modulation
3. phase reversal

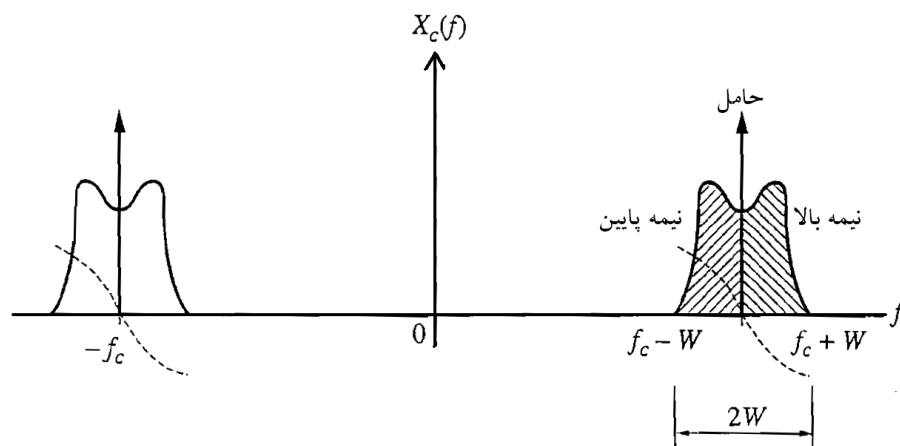
2. envelope



شرط دوم (یعنی  $f_c \gg W$ ) تضمین می‌کند که موج سینوسی  $A_c \cos \omega_c t$  که حامل (کریر)<sup>۱</sup> نامیده می‌شود در مقایسه با سیگنال پیام  $x(t)$  تغییرات بسیار بیشتری دارد تا بتوان برای سیگنال مدوله شده، پوش تصور کرد.

تعیین پهنای باند و توان مدولاسیون AM:

$$X_c(f) = \frac{1}{2} A_c \delta(f - f_c) + \frac{\mu}{2} A_c X(f - f_c), \quad f > 0$$



پهنای باند لازم برای ارسال AM، دو برابر پهنای باند سیگنال اولیه است.  $B_T = 2W$

$$S_T \triangleq \langle x_c^2(t) \rangle \Rightarrow S_T = \frac{1}{2} A_c^2 \langle 1 + 2\mu x(t) + \mu^2 x^2(t) \rangle +$$

$$\frac{1}{2} A_c^2 \langle [1 + \mu x(t)]^2 \cos 2\omega_c t \rangle$$

در عبارت بالا در جمله‌ی اول  $\langle x(t) \rangle = 0$  فرض می‌کنیم و  $\langle x^2(t) \rangle = S_x$  و در جمله دوم به فرض تغییرات

آرام  $x(t)$  در مقایسه با  $\cos \omega_c t$ ، این متوسط برابر صفر است. در نتیجه داریم:

$$S_T = \frac{1}{2} A_c^2 (1 + \mu^2 S_x) = \frac{1}{2} A_c^2 + \frac{1}{2} A_c^2 \mu^2 S_x = P_c + 2P_{sb}$$

$$P_c = \frac{1}{2} A_c^2, \quad P_{sb} = \frac{1}{4} \mu^2 A_c^2 S_x = \frac{1}{2} \mu^2 S_x P_c$$

1. carrier



$P_c$  توان ناشی از مؤلفه ی سیگنال حامل است که اطلاعاتی حمل نمی کند.

$P_{sb}$  توان مربوط به هرکدام از دوطرف بالا و پایین طیف سیگنال است.

$$|\mu x(t)| \leq 1 \Rightarrow \mu^2 S_x \leq 1 \Rightarrow P_{sb} \leq \frac{1}{2} P_c \Rightarrow P_c \geq 2P_{sb} \Rightarrow 2P_{sb} \leq \frac{1}{2} S_T$$

یعنی حداقل ۵۰ درصد توان ارسالی  $S_T$  مربوط به حامل است که حامل هیچ اطلاعاتی نیست و تلف می شود.

### ب) مدولاسیون DSB<sup>۱</sup> یا DSB-SC<sup>۲</sup>:

$$x_c(t) = A_c x(t) \cos \omega_c t$$

$$\Rightarrow X_c(f) = \frac{1}{2} A_c X(f - f_c) \quad f > 0 \quad \Longleftrightarrow \quad B_T = 2w$$

در این مدولاسیون طیف مانند طیف AM است با این تفاوت که دیگر ضربه ناشی از مؤلفه سیگنال حامل را ندارد.

$$\text{پوش } A(t) = A_c |x(t)|$$

$$\text{فاز } \phi(t) = \begin{cases} 0 & x(t) > 0 \\ \pm 180 & x(t) < 0 \end{cases}$$

در این مدولاسیون پوش دیگر  $x(t)$  نیست بلکه  $|x(t)|$  است. لذا دیگر نمی توان بطور ساده فقط با یک آشکارساز پوش سیگنال اصلی را بازیابی کرد، بلکه به مدارات پیچیده تری نیاز است. اما مزیتی که این نوع

$$S_T = 2P_{sb} = \frac{1}{2} A_c^2 S_x \quad \text{است: } AM \text{ به نسبت به}$$

یعنی DSB نسبت به AM از توان موجود فرستنده بهتر استفاده می کند.

اما فرستنده ها معمولاً محدودیتی روی توان حاصل از حداکثر دامنه سیگنال (یعنی  $A_{max}^2$ ) نیز اعمال می کنند.

لذا برای مقایسه عملکرد روش های مدولاسیون باید نسبت  $\frac{P_{sb}}{A_{max}^2}$  آن ها را باهم مقایسه کرد. در این حالت چون

$$\frac{P_{sb}}{A_{max}^2} = \begin{cases} \frac{S_x}{4} & \text{DSB} \\ \frac{S_x}{16} & \text{AM, } \mu = 1 \end{cases} \quad \text{پس داریم: } A_{max} = A_c \text{ در DSB, } A_{max} = 2A_c \text{ در AM}$$

یعنی بازاء یک  $A_{max}^2$  مشخص و ثابت، توان باند جانبی  $DSB$  چهار برابر  $AM$  است. (یعنی از لحاظ بازدهی توان،  $DSB$  چهار برابر بهتر از  $AM$  عمل می‌کند).

**مدولاتور:** مدار (سیستمی) است که عمل مدولاسیون را انجام می‌دهد.

انواع مدولاتور:

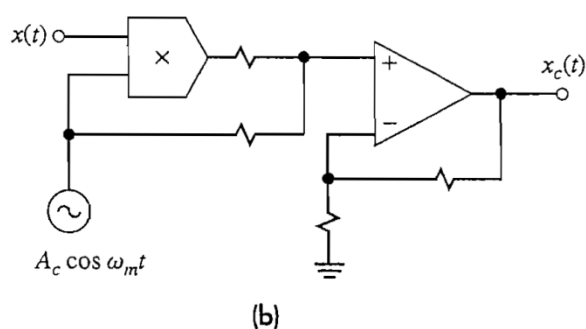
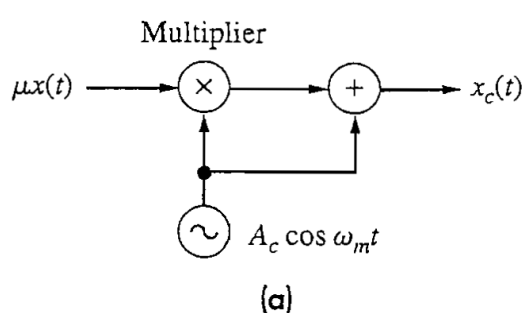
۱- مدولاتورهای ضربی یا ضرب کننده<sup>۱</sup>

۲- مدولاتورهای قانون مجذور<sup>۲</sup> و متعادل<sup>۳</sup>

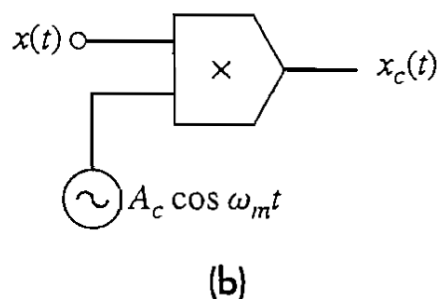
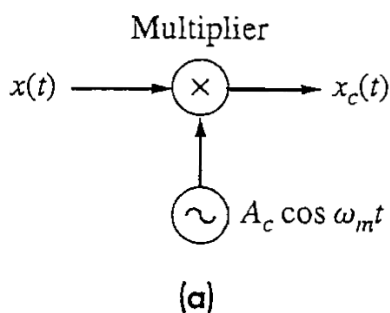
۳- مدولاتورهای سوئیچی<sup>۴</sup>

### ۱- مدولاتورهای ضرب کننده:

برای  $AM$ :



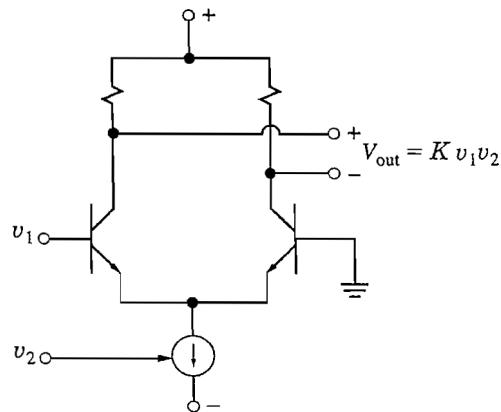
برای  $DSB$ :



1. product modulator  
3. balanced modulator

2. Square law modulator  
4. switching modulator

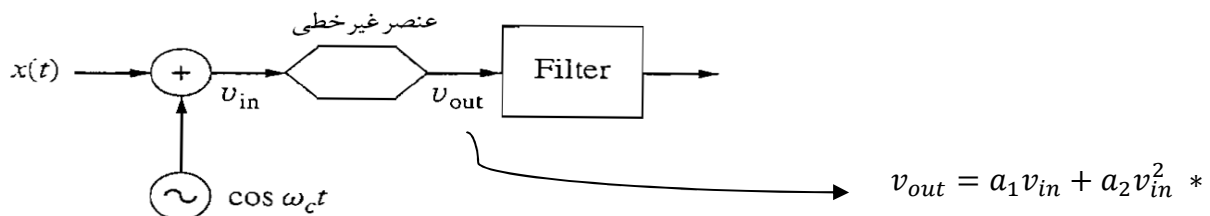
مدارات مختلفی را می‌توان بعنوان ضرب کننده آنالوگ استفاده کرد. از جمله تقویت کننده‌هایی که هدایت آن‌ها متناسب با یک سیگنال متغیر است.



محدودیت این نوع مدولاتورها توان خروجی کم و محدودیت فرکانسی آن‌ها است.

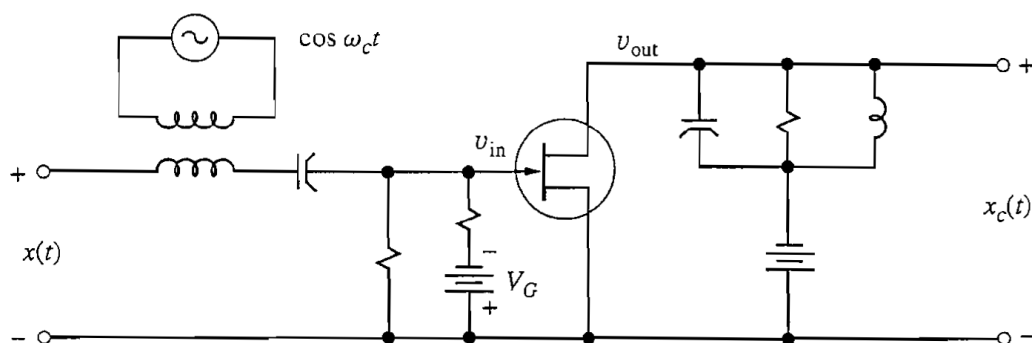
## ۲- مدولاتورهای قانون مجذور و مدولاتورهای متعادل :

برای رفع محدودیت فرکانسی می‌توان از این نوع مدولاتورها استفاده کرد که از یک عنصر غیرخطی بعنوان ضرب کننده استفاده می‌شود :



بعنوان یک نمونه از چنین عنصر غیرخطی که رابطه \* را تحقق دهد می‌توان از  $JFET$  استفاده کرد.

بطور مثال در مدار زیر :



در این مدار، مدار تشدید  $LC$  خروجی نقش یک فیلتر میان گذر را ایفا می‌کند.

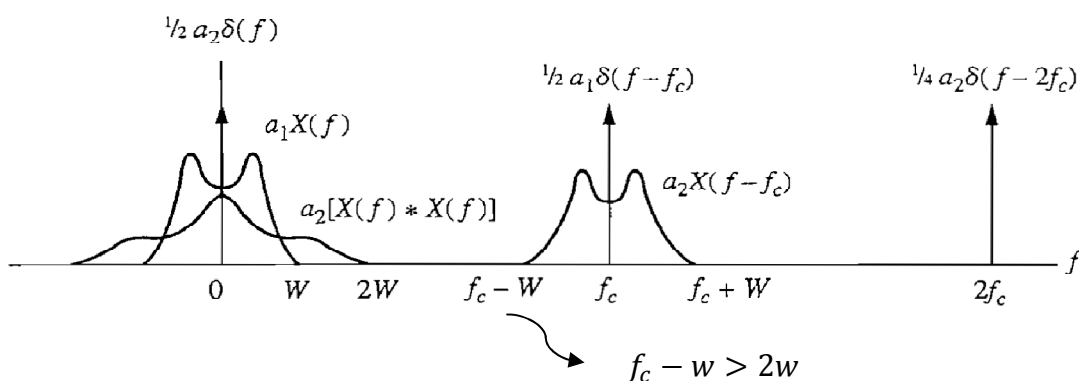
$$v_{in}(t) = x(t) + \cos \omega_c t \Rightarrow v_{out}(t) = a_1 x(t) + a_2 x^2(t) + a_2 \cos^2 \omega_c t + a_1 \left[ 1 + \frac{2a_2}{a_1} \right] \cos \omega_c t$$

در عبارت بالا  $A_c = a_1$  و  $\frac{2a_2}{a_1} = \mu$ .

جمله آخر رابطه بالا یعنی  $a_1 \left[ 1 + \frac{2a_2}{a_1} \right] \cos \omega_c t$  توسط فیلتر جدا می شود.

با توجه به تبدیل فوریه رابطه فوق می توان نشان داد که حداقل باید  $f_c > 3W$  باشد تا فیلتر خروجی بتواند

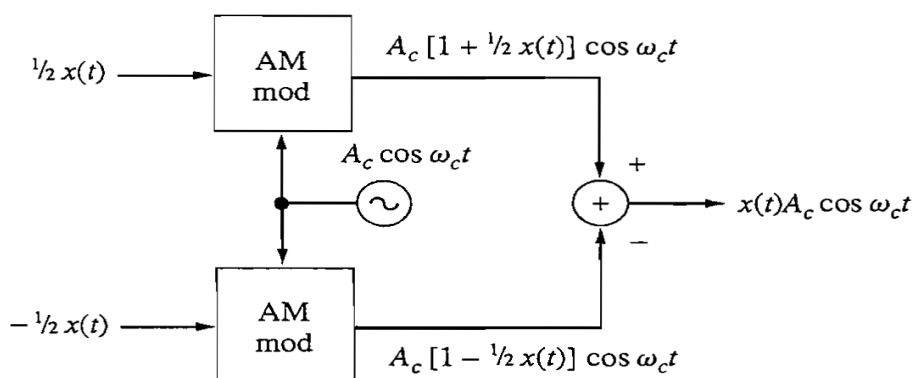
بطور صحیح طیف مناسب را استخراج کند. این موضوع در شکل زیر نشان داده شده است :



مدار فوق برای داشتن AM مناسب است. برای DSB باید  $a_1 = 0$  شود. یعنی عنصری باید داشته باشیم که

$v_{out} = a_2 v_{in}^2$  باشد که در عمل بسیار کمیاب است. لذا برای داشتن DSB از مدولاتور متعادل مانند شکل زیر

استفاده می کنند. (ملاحظه می کنید که یک مدولاتور متعادل در حقیقت یک ضرب کننده است.)

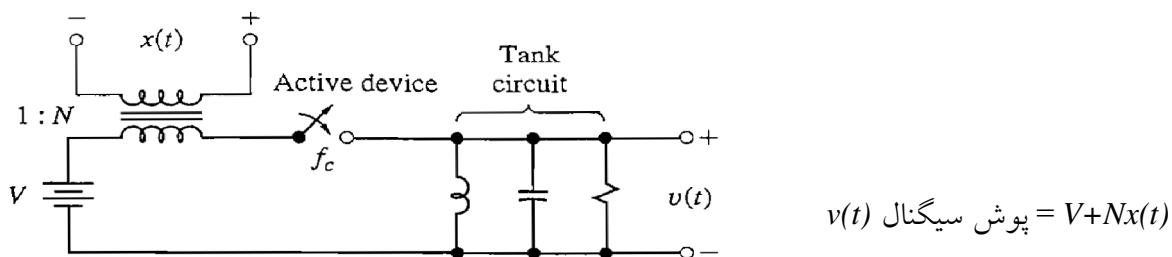


پس تاکنون مشکل محدودیت فرکانسی را حل کردیم اما مشکل توان خروجی کم همچنان باقی است.

### ۳- مدولاتورهای سوئیچی:

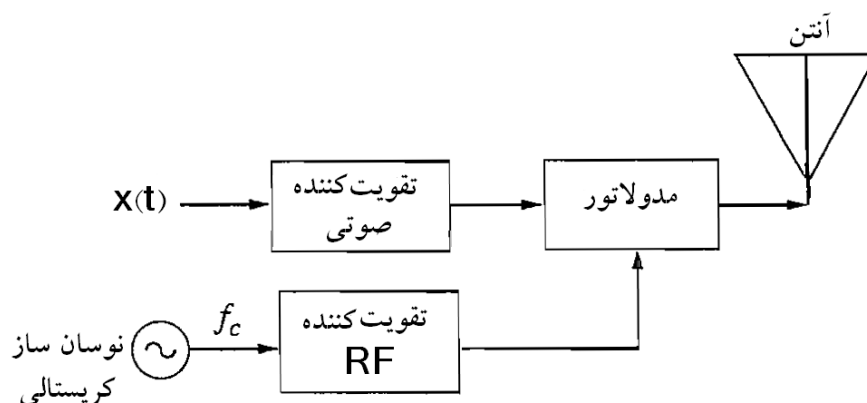
مدولاسیون‌هایی که تاکنون دیدیم اصطلاحاً مدولاسیون سطح پایین بودند یعنی توان خروجی آن‌ها چندان زیاد نیست. برای داشتن توان بالا باید از تقویت‌کننده‌های قدرت RF خطی استفاده کنیم که مسائل خاص خودشان را دارند.

راه دیگر استفاده از مدولاسیون سطح بالاست. یک نمونه مدار مدولاتور چنین است:



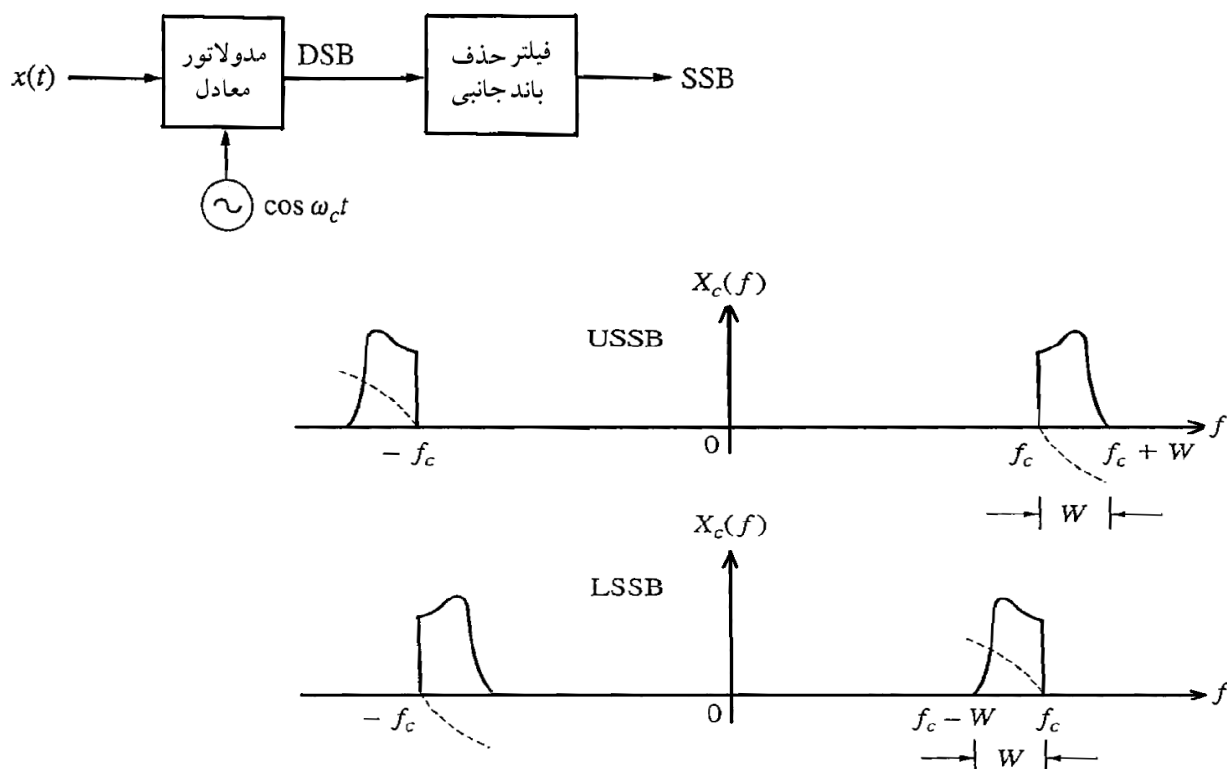
کلید با فرکانس  $f_c$  قطع و وصل می‌شود. لذا هر  $\frac{1}{f_c}$  ثانیه، مدار تشدید (که روی  $f_c$  تشدید می‌کند) تحریک می‌شود. بنابراین خروجی  $v(t)$  یک موج سینوسی با فرکانس  $f_c$  است که اندازه لحظه‌ای آن متناسب با اندازه تحریک (انرژی داده شده) یعنی  $v + Nx(t)$  است. حال چون فرکانس  $f_c$  نسبت به پهنای باند  $x(t)$  بسیار بزرگ است، پوش سیگنال  $v(t)$  همان  $v + Nx(t)$  خواهد شد.

حال از مدولاتور فوق بصورت زیر برای مدولاسیون AM سطح بالا استفاده می‌کنیم:



## ج) مدولاسیون SSB<sup>۱</sup>:

در مدولاسیون DSB، انرژی حاصل از حامل در AM را حذف کردیم، لذا توان ارسالی مفید بیشتر شد. اما پهنای باند همچنان  $2W$  است. برای کاهش پهنای باند از SSB یا VSB استفاده می‌شود. در SSB یک نیمه باند بطور کامل حذف می‌شود اما در VSB قسمتی از نیمه باند حذف می‌شود. علت حذف یک نیمه باند این است که به دلیل تقارن، اطلاعات سیگنال را از یک نیمه باند نیز می‌توان استخراج کرد.



$$\Rightarrow B_T = W, \quad S_T = P_{sb} = \frac{1}{4} A_c^2 S_x$$

تحلیل در حوزه زمان بر خلاف حوزه فرکانس چندان ساده نیست. برای حالت تک سینوسی در حوزه زمان

$$x_c(t) = \frac{1}{2} A_c A_m \cos(\omega_c \pm \omega_m) t$$

می‌توان سیگنال SSB را چنین نوشت:

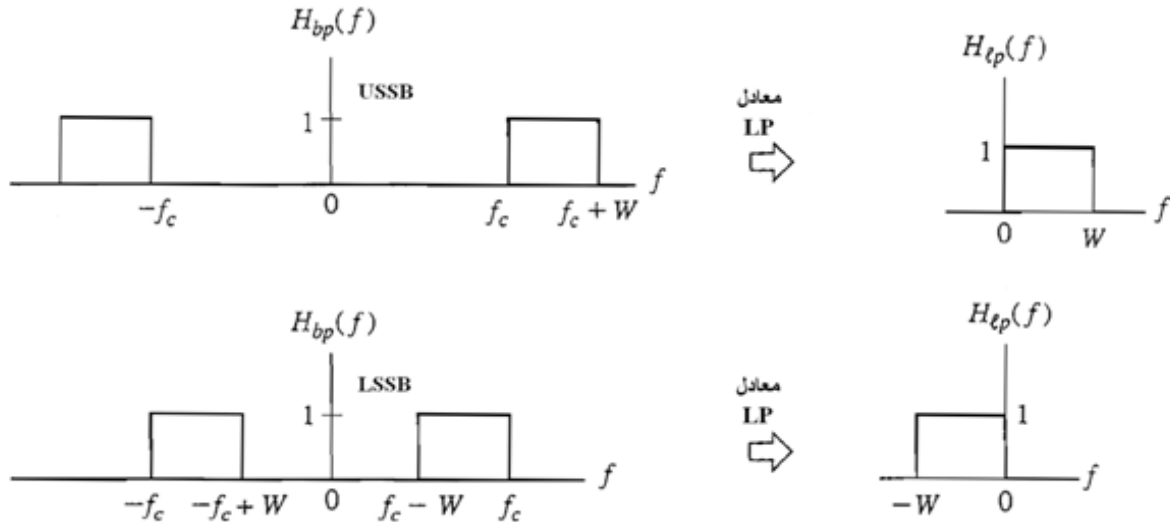
در عبارت بالا، علامت مثبت برای USB و علامت منفی برای LSB است.

برای تحلیل سیگنال پیام دلخواه  $X(t)$  از روش تحلیل گذر برای تحلیل سیگنالهای میان گذر استفاده می‌کنیم. به

این روش همه سیگنال‌ها و فیلترها را به فرکانس‌های پایین منتقل می‌کنیم.

$$x_{bp}(t) = A_c x(t) \cos \omega_c t \xrightarrow{\text{معادل LP}} x_{lp}(t) = \operatorname{Re}\{x_{bp}(t) e^{j\omega_c t}\} = \frac{1}{2} A_c x(t)$$

$$\Rightarrow x_{lp}(f) = \frac{1}{2} A_c x(f)$$



$$H_{bp}(f) \Rightarrow H_{lp}(f) = \begin{cases} u(f) - u(f-w) & \text{USSB} \\ u(f+w) - u(f) & \text{LSSB} \end{cases} \quad \text{LSSB} = \frac{1}{2}(1 \pm \operatorname{sgn}(f)) \quad |f| \leq w$$

$$\text{خروجی فیلتر} \Rightarrow Y_{lp}(f) = H_{lp}(f) X_{lp}(f) = \frac{1}{4} A_c [X(f) \pm (\operatorname{sgn}(f)).X(f)]$$

$$\Rightarrow y_{lp}(t) = *$$

برای بدست آوردن عبارت \* ابتدا تبدیل هیلبرت را معرفی می‌کنیم:

$$x(t) \rightarrow \begin{matrix} h_Q(t) \\ H_Q(f) \end{matrix} \rightarrow \hat{x}(t) \quad H_Q(f) = -j \operatorname{sgn}(f) = \begin{cases} -j & f > 0 \\ +j & f < 0 \end{cases} \quad (\text{تبدیل هیلبرت})$$

$$(\hat{x}(t) \triangleq x(t) * \frac{1}{\pi t} = \frac{1}{\pi} \int_{+\infty}^{-\infty} \frac{x(\lambda)}{t-\lambda} d\lambda)$$

حال با استفاده از تبدیل هیلبرت برای عبارت \* داریم:

$$-j \operatorname{sgn} f = \mathcal{F}\{\hat{x}(t)\} \Rightarrow \mathcal{F}^{-1}\{\operatorname{sgn} f . X(f)\} = j \hat{x}(t) \Rightarrow y_{lp}(t) = \frac{1}{4} A_c [x(t) \pm j \hat{x}(t)]$$

حال که معادل پایین گذر خروجی SSB را بدست آوردیم آن را دوباره به محل فرکانس اولیه خود بر می‌گردانیم

تا سیگنال اصلی  $SSB$  بدست آید :

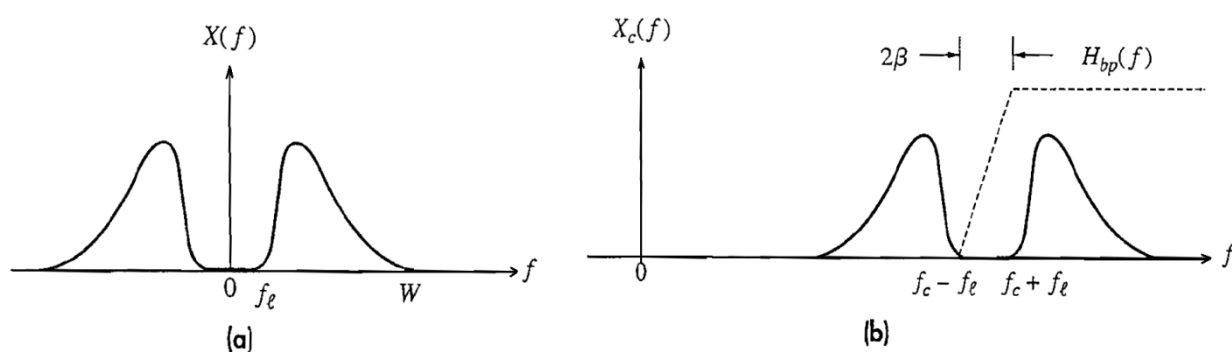
$$SSB \Rightarrow x_c(t) = y_{bp}(t) = 2\text{Re}\{y_{lp}e^{j\omega_c t}\} = \frac{1}{2}A_c[x(t)\cos\omega_c t \mp \hat{x}(t)\sin\omega_c t]$$

پوش سیگنال  $SSB$  با توجه به رابطه فوق چنین محاسبه می شود :

$$A(t) = \frac{1}{2}A_c\sqrt{x^2(t) + \hat{x}^2(t)}$$

### مدارات تولید سیگنال $SSB$ :

می دانیم که برای داشتن  $SSB$  باید فیلتر ایده آل (یعنی در  $f_c$  کاملاً تیز باشد) داشته باشیم که در عمل ممکن نیست. زیرا فیلترهای عملی همیشه یک باندگذر غیرصفر دارند. اما خوشبختانه بسیاری از سیگنال های  $x(t)$  در عمل محتوای فرکانسی پایینی آنها کم اهمیت یا بی اهمیت است، مانند سیگنال صحبت. لذا همواره طیف سیگنال  $x(t)$  بصورت شکل (a) است که در اثر مدولاسیون  $DSB$  بصورت شکل (b) درخواهد آمد :

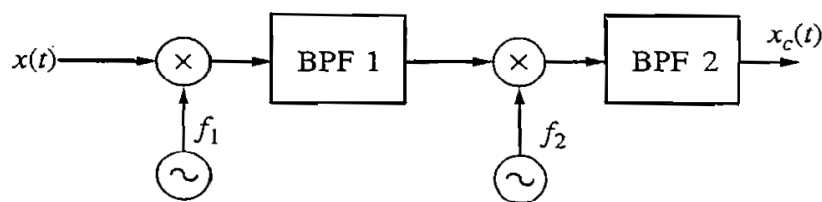


ملاحظه می کنید که به اندازه  $2\beta$  محدوده فرکانسی را می توان بعنوان باند گذر فیلترهای عملی در نظر گرفت و استفاده کرد.

اما  $2\beta$  برابر ۱ درصد فرکانس قطع فیلتر است. بعبارت دیگر با محدودیت  $f_{co} < 200\beta$  مواجه هستیم.

$2\beta$  توسط ماهیت سیگنال  $x(t)$  مشخص می شود و تحت کنترل ما نیست. بنابراین فرکانس قطع فیلتر طبق محدودیت فوق از حدی نمی تواند بزرگتر باشد. (فرکانس قطع فیلتر = فرکانس حامل  $f_c$ ) یعنی فرکانس حامل را نمی توان به دلخواه بزرگ انتخاب کرد و این یک عیب مهم محسوب می شود. برای حل این مشکل می توان از دو یا چند مرحله مطابق شکل زیر برای تولید سیگنال  $SSB$  استفاده کرد. (نحوه حل مشکل را توضیح دهید)



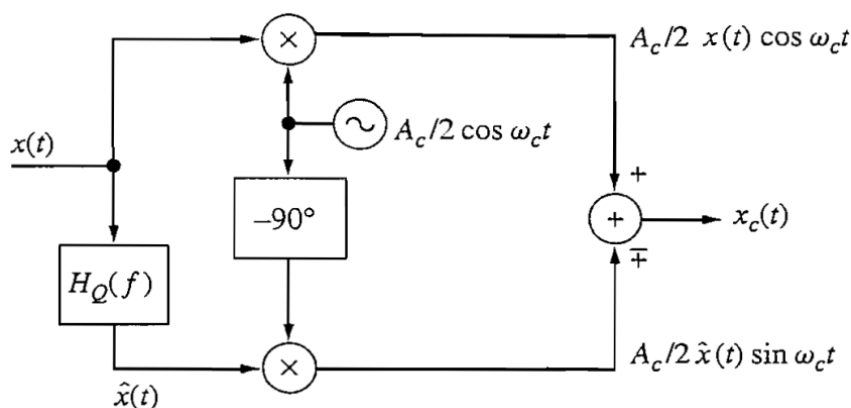


( در این طرح، فرکانس حامل برابر  $f_c = f_1 + f_2$  خواهد بود.  $f_1$  برابر فرکانس قطع پایینی BPF1 و  $f_2$  فرکانس قطع پایینی فیلتر BPF2 است.)

راه دوم برای تولید سیگنال  $SSB$  استفاده مستقیم از رابطه خروجی  $SSB$  است :

$$x_c(t) = \frac{A_c}{2} x(t) \cos \omega_c t \pm \frac{A_c}{2} \hat{x}(t) \cos (\omega_c t - 90^\circ)$$

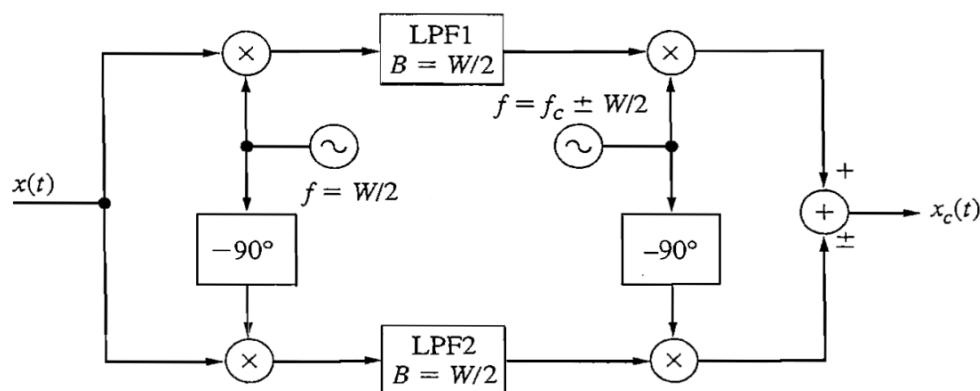
یعنی سیگنال  $SSB$  را می‌توان از ترکیب دو سیگنال  $DSB$  بدست آورد. این روش، روش شیفت فاز نامیده می‌شود و دیگر نیازی به فیلترهای با مشخصات خاص ندارد.



یک عیب این روش این است که خود تبدیل هیلبرت را نمی‌توان در عمل بطور دقیق پیاده‌سازی کرد و باید آنرا تقریب زد. لذا مناسب سیگنال‌های است که محدوده فرکانس‌های پایینی آن‌ها بی‌اهمیت باشد.

راه سوم برای تولید سیگنال  $SSB$  استفاده از مدولاتور **Weaver** مطابق طرح زیر است :

(تمرین : نحوه کار آن را برای حالت تُن توضیح دهید.)



## تبدیل فرکانسی<sup>۱</sup>:

یعنی انتقال در محور فرکانس به بالا یا پایین به هر میزان دلخواه. این کار با ضرب در یک موج سینوسی انجام

می‌شود. بطور مثال اگر سیگنال  $DSB$  یعنی  $x(t) \cos \omega_1 t$  را در  $\cos \omega_2 t$  ضرب کنیم، خواهیم داشت:

$$x(t) \cos \omega_1 t \cos \omega_2 t = \frac{1}{2} x(t) \cos(\omega_1 + \omega_2) t + \frac{1}{2} x(t) \cos(\omega_1 - \omega_2) t$$

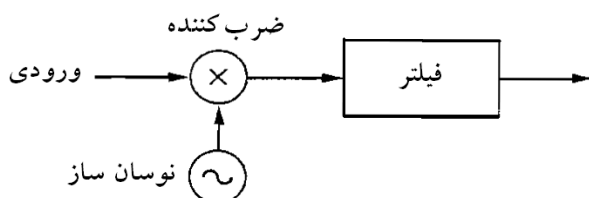
ملاحظه می‌کنید که فرکانس‌های مجموع  $(f_1 + f_2)$  و تفاضل  $(|f_1 - f_2|)$  در خروجی ایجاد شده است که

با فیلتر کردن مناسب می‌توان فرکانس بالایی (که تبدیل به بالا<sup>۲</sup> نامیده می‌شود) یا فرکانس پائینی (که تبدیل به

پایین<sup>۳</sup> نامیده می‌شود) را انتخاب کرد، عناصری که عمل مذکور (یعنی ضرب در سینوسی و فیلتر کردن) را

انجام می‌دهند مبدل فرکانسی یا میکسر<sup>۴</sup> نامیده می‌شوند، و به عمل انجام شده میکس کردن یا هتروداین کردن

گفته می‌شود. پس دیاگرام یک میکسر چنین است:



## دمدولاسیون<sup>۵</sup>:

یعنی عکس‌العمل مدولاسیون و بدست آوردن طیف اولیه سیگنال پیام از روی طیف مدوله شده.

1. frequency conversion  
4. mixer

2. up-converting  
5. demodulation

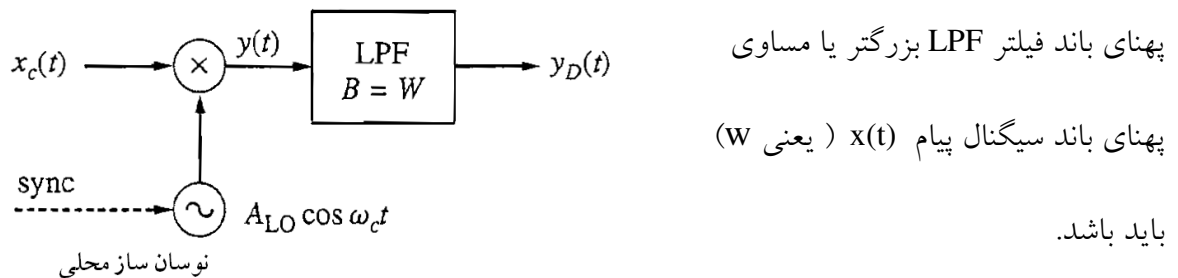
3. down-converting

دمدولاسیون برای مدولاسیونهای  $SSB$ ،  $DSB$ ،  $AM$  در حقیقت نوعی انتقال با تبدیل فرکانسی است. پس تبدیل فرکانسی یک حالت کلی است که دمدولاسیون را هم شامل می شود.

دو دسته کلی دمدولاسیون: ۱- آشکارسازهای سنکرون<sup>۱</sup> ۲- آشکارسازهای پوش<sup>۲</sup>

## الف) آشکارسازی سنکرون:

در این روش از دیگرام زیر برای دمدولاسیون همه انواع مدولاسیونهای خطی (شامل  $SSB$ ،  $DSB$ ،  $AM$  و  $VSB$ ) استفاده می شود:



سیگنال سینوسی حاصل از نوسان ساز محلی (LO) باید بطور کاملاً دقیق هم از لحاظ فاز و هم از لحاظ فرکانس سنکرون با سیگنال حامل باشد. به همین دلیل است که نام آشکارسازی سنکرون یا آشکارسازی همانند<sup>۳</sup> انتخاب شده است.

برای تحلیل سیگنال  $x_c(t)$  را در حالت کلی خود بصورت زیر می نویسیم تا همه انواع مدولاسیونهای خطی را

$$x_c(t) = [k_c + k_\mu x(t)] \cos \omega_c t - k_\mu x_q(t) \sin \omega_c(t) \quad \text{شامل شود:}$$

در نتیجه ورودی فیلتر پایین گذر چنین است:

$$x_c(t) A_{lo} \cos \omega_c t = \frac{1}{2} A_{lo} \{ [k_c + k_\mu x(t)] + [k_c + k_\mu x(t)] \cos 2\omega_c t - k_\mu x_q(t) \sin 2\omega_c t \}$$

چون  $f_c > w$  و فیلتر پایین گذر فرکانسهای بالاتر از  $w$  را حذف می کند پس خروجی فیلتر پایین گذر چنین

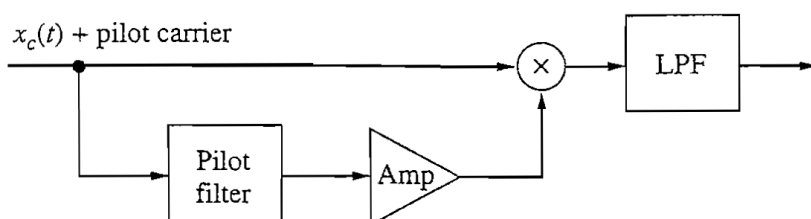
$$y_D(t) = k_D [k_c + k_\mu x(t)] \quad \text{است:}$$

1. synchronous detectors  
3. coherent detection

2. envelope detectors

می‌توان مقدار  $Dc$  یعنی  $k_D k_c$  و البته  $dc$  خود سیگنال  $x(t)$  را به کمک استفاده از ترانسفورمر یا خازن‌های کوپلاژ حذف کرد.

یکی از مسایل اساسی در دمدولاسیون این است که سیگنال سینوسی استفاده شده باید بطور کامل با سیگنال حامل موجود در گیرنده سنکرون باشد. این مسئله یا مشکل در مدولاسیون‌هایی که سیگنال حامل را حذف کرده‌اند جدی است. برای حل این مشکل در این‌گونه سیستم‌ها قسمت کوچکی از سیگنال حامل را در طیف سیگنال مدوله شده قرار می‌دهند که به آن حامل راهنما<sup>۱</sup> گفته می‌شود. در گیرنده این حامل راهنما به کمک یک فیلتر میان‌گذر باند باریک جدا و تقویت می‌شود. سپس از آن در یک نوسان‌ساز محلی برای تولید موج سینوسی سنکرون با سیگنال دریافت شده استفاده می‌شود. به چنین سیستمی که طرح آن در زیر نشان داده شده است آشکار سازی هموداین<sup>۲</sup> گفته می‌شود.



در این روش و دیگر روش‌های سنکرون کردن، در هر صورت مقداری غیر سنکرون بودن وجود دارد. لذا در بررسی دریافت<sup>۳</sup> فرکانس یا فاز در سیستم‌های مدولاسیون  $DSB$  و  $SSB$  می‌پردازیم.

$$\text{سیگنال نوسان‌ساز محلی} = \cos(\omega_c t + \omega' t + \phi')$$

که  $\phi'$  و  $\omega'$  خطاهای فاز و فرکانس نسبت به سیگنال حامل اصلی است که به آرامی با زمان تغییر می‌کنند.

برای  $DSB$  با مدولاسیون تن داریم :

$$y_D(t) = k_D \cos \omega_m t \cos(\omega' t + \phi') = \begin{cases} \frac{1}{2} k_D [\cos(\omega_m + \omega')t + \cos(\omega_m - \omega')t] , & \phi' = 0 \\ k_D \cos \omega_m t \cos \phi' , & \omega' = 0 \end{cases}$$

1. carrier pilot  
3. drift

2. homodyne detection

برای  $SSB$  با  $x_c(t) = \cos(\omega_c \pm \omega_m)t$  داریم :

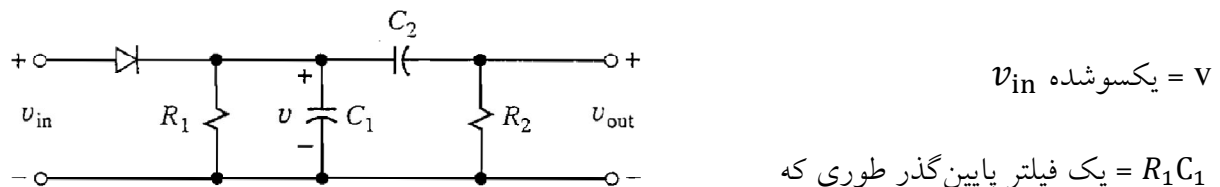
$$y_D(t) = k_D \cos[\omega_m t \mp (\omega' t + \phi')] = \begin{cases} k_D \cos(\omega_m \mp \omega')t & , \quad \phi' = 0 \\ k_D \cos(\omega_m t \mp \phi') & , \quad \omega' = 0 \end{cases}$$

ملاحظه می‌شود که در هر دو مدولاسیون  $DSB$  و  $SSB$  وجود دریافت فرکانسی که در مقایسه با  $W$  قابل ملاحظه باشد، سیگنال آشکارسازی شده را به شدت تحت تاثیر قرار می‌دهد. تاثیر آن برای  $DSB$  بیشتر است زیرا دوتن  $f_m \pm f'$  بوجود آمده است. در مورد دریافت فاز هم مدولاسیون  $DSB$  حساس‌تر از  $SSB$  است. زیرا بازاء مثلاً  $\phi' = 90^\circ$  سیگنال آشکار سازی شده  $DSB$  کاملاً از بین می‌رود.

در مورد  $SSB$  وجود دریافت فاز منجر به اعوجاج فاز می‌شود و همانطور که می‌دانیم گوش انسان چندان به اعوجاج فاز حساس نیست. لذا دریافت فاز در سیستم‌های صوتی  $SSB$  چندان مسئله ساز نیست.

## (ب) آشکارسازی پوش :

روش‌های دمولاسیون سنکرون برای  $AM$  نیز کار می‌کنند اما آشکارسازی  $AM$  بخاطر سادگی با آشکارسازهای پوش انجام می‌شود. بطور مثال :

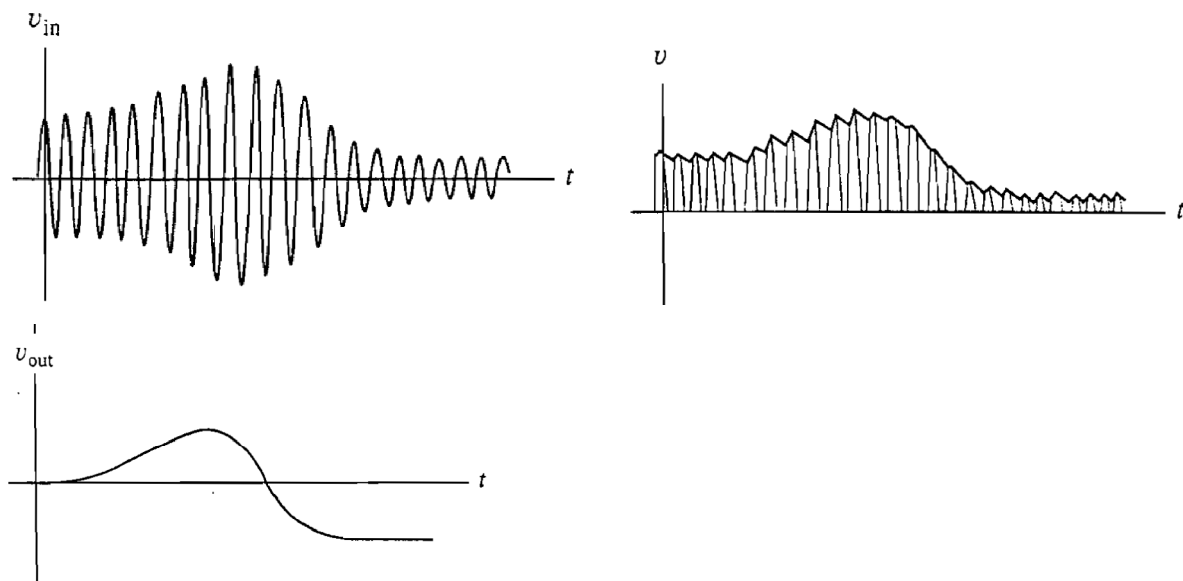


$$f_c \gg w \gg \frac{1}{R_1 C_1} \gg f_c$$

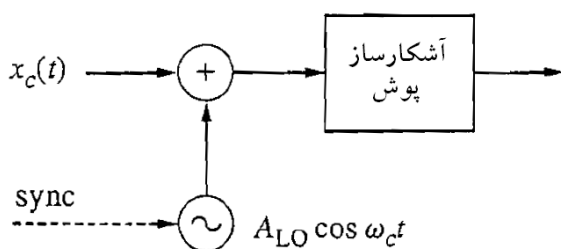
لذا چون  $f_c \gg w$  می‌شود پس پوش قابل تعریف است.

زیرا در بین دو قله متوالی، خازن  $C_1$  مقدار بسیار کمی دشارژ می‌شود و  $v$  تقریباً همان پوش سیگنال می‌شود. برای حذف  $dc$  سیگنال  $v$  از فیلتر  $R_1 C_2$  استفاده شده است. اما این فیلتر بالاگذر فرکانس‌های پایین سیگنال را نیز دستخوش تغییر و اعوجاج می‌کند لذا برای کاربردهایی که محتویات فرکانس پایین سیگنال مهم هستند، مناسب نیست.

نحوه آشکارسازی  $AM$  توسط مدار بالا در شکل‌های زیر نشان داده شده است :



بعضی از دمدولاتورهای  $SSB$  و  $DSB$  از روش بازسازی پوش که طرح آن در زیر نشان داده شده است استفاده می‌کنند. در این روش یک سیگنال حاصل نوسان‌ساز محلی که دامنه بزرگی هم دارد به سیگنال ورودی اضافه شده و سپس سیگنال حاصل شده به مدار آشکارساز پوش داده می‌شود.





## فصل چهارم

# مدولاسیون موج پیوسته نمایی

در ابتدا ویژگی‌های مدولاسیون پیوسته خطی و مدولاسیون موج پیوسته نمایی را باهم مقایسه کنیم :

سه ویژگی اساسی مدولاسیون خطی عبارتند از :

۱- طیف سیگنال مدوله شده، همان شکل طیف سیگنال پیام را دارد که شیفت پیدا کرده است.

۲- پهنای باند سیگنال مدوله شده از دوبرابر پهنای باند سیگنال پیام بیشتر نمی‌شود.

۳- می‌توان نشان داد که  $SNR$  سیگنال دمدوله شده نمی‌تواند از  $SNR$  سیگنال پیام بیشتر شود، مگر اینکه توان سیگنال ارسالی بیشتر شود.

مدولاسیون نمایی ویژگی‌های متفاوتی با موارد فوق دارد که عبارتند از :

۱- طیف آن در ظاهر هیچ شباهتی به طیف سیگنال پیام ندارد.

۲- پهنای باند آن بیشتر از دوبرابر پهنای باند سیگنال پیام است.

۳- بدون نیاز به افزایش توان سیگنال ارسالی،  $SNR$  سیگنال گیرنده می‌تواند از  $SNR$  سیگنال پیام بیشتر شود، بعبارت دیگر مصالحه‌ای بین توان ارسالی و پهنای باند انجام شده است.

### مدولاسیون نمایی :

دو نوع اساسی مدولاسیون نمایی  $FM$  و  $PM$  است.

$$x_c(t) = A_c \cos(\omega_c t + \phi(t))$$

سیگنال مدوله شده روبرو را در نظر بگیرید :



$$\theta_c(t) \triangleq \omega_c t + \phi(t) \Rightarrow x_c(t) = A_c \cos \theta_c(t) = A_c \operatorname{Re} \{e^{j\theta_c(t)}\}$$

لذا اگر  $\theta_c(t)$  حاوی اطلاعات سیگنال پیام باشد، مدولاسیونی انجام داده‌ایم که مدولاسیون نمایی نامیده می‌شود.

### مدولاسیون PM:

در این مدولاسیون فاز لحظه‌ای متناسب با سیگنال است:  $\phi_\Delta \leq 180^\circ$ ,  $|x| \leq 1$  ;  $\phi(t) \triangleq \phi_\Delta \cdot x(t)$

$$\Rightarrow x_c(t) = A_c \cos[\omega_c t + \phi_\Delta x(t)]$$

که  $\phi_\Delta$  ماکزیمم شیفت فازی است که  $x(t)$  می‌تواند ایجاد کند.

همانطور که در مدولاسیون AM باید  $\mu \leq 1$  می‌بود تا مدولاسیون صحیح انجام شود در اینجا هم  $\phi_\Delta \leq 180^\circ$  باید باشد، لذا به  $\phi_\Delta$  شاخص مدولاسیون فاز یا انحراف فاز<sup>۱</sup> نیز گفته می‌شود.

$$x_c(t) = \frac{1}{2\pi} \frac{d\theta_c(t)}{dt} = f_c + \frac{1}{2\pi} \cdot \frac{d\phi(t)}{dt} \quad (1)$$

منظور از فرکانس لحظه‌ای این نیست که در هر لحظه طیف  $x_c(t)$  یک سینوسی خالص با یک فاز متغیر است. بعبارت دیگر فرکانس در کلمه «فرکانس لحظه‌ای» با فرکانس در کلمه «طیف فرکانسی» متفاوت است.

### مدولاسیون FM:

در این مدولاسیون فرکانس لحظه‌ای متناسب با سیگنال  $x(t)$  است:

$$f(t) \triangleq f_c + f_\Delta \cdot x(t) \quad , \quad f_\Delta < f_c \quad (2) \quad , \quad f_\Delta = \text{انحراف فرکانسی}$$

شرط  $f_\Delta < f_c$  باید برقرار باشد تا فرکانس لحظه‌ای همیشه مثبت شود، البته در عمل به خاطر محدودیت پهنای باند  $f_\Delta \ll f_c$  است.

$$(1), (2) \Rightarrow \frac{d\phi(t)}{dt} = 2\pi f_\Delta x(t) \Rightarrow \phi(t) = 2\pi f_\Delta \int_{t_0}^t x(\lambda) d\lambda + \phi(t_0) \quad , \quad t \geq t_0$$

$$\Rightarrow \phi(t) = 2\pi f_\Delta \int_{t_0}^t x(\lambda) d\lambda \quad \text{اگر } \phi(t_0) = 0 \text{ : } t_0 \text{ طوری باشد که}$$

$$\text{سیگنال مدوله شده FM} \Rightarrow x_c(t) = A_c \cos \left[ \omega_c t + 2\pi f_\Delta \int^t x(\lambda) d\lambda \right]$$

ملاحظه می‌کنید که باید این فرض را هم در نظر بگیریم که سیگنال  $x(t)$  مولفه  $dc$  نداشته باشد زیرا در غیر اینصورت جمله انتگرالی همواره مثبت می‌شود و دیگر فرکانس لحظه‌ای کم و زیاد نمی‌شود بلکه همواره زیاد می‌شود. وجود این مولفه  $dc$  در حقیقت معادل شیف‌ت دادن فرکانس حامل بانداژه  $\langle x(t) \rangle f_\Delta$  است. زیرا  $X(t)$  را با در نظر گرفتن یک مولفه  $dc$  می‌توان چنین نوشت :

$$x(t) = x_{dc} + x_{ac}(t) = \langle x(t) \rangle + x_{ac}(t)$$

$$\Rightarrow f(t) = \frac{1}{2\pi} \frac{d}{dt} \theta_c(t) = \frac{1}{2\pi} \frac{d}{dt} \left( \omega_c t + 2\pi f_\Delta \int^t [\langle x(\lambda) \rangle + x_{ac}(\lambda)] d\lambda \right)$$

$$= \frac{1}{2\pi} \frac{d}{dt} (\omega_c t + 2\pi f_\Delta \cdot \langle x(t) \rangle \cdot t + 2\pi f_\Delta \int^t x_{ac}(\lambda) d\lambda)$$

$$= f_c + f_\Delta \langle x(t) \rangle + f_\Delta x_{ac}(t) = f'_c + f_\Delta \cdot x_{ac}(t)$$

پس بطور خلاصه برای مقایسه  $PM$  و  $FM$  داریم :

	$\phi(t)$ فاز لحظه‌ای	$f(t)$ فرکانس لحظه‌ای
$PM$	$\phi_\Delta \cdot x(t)$	$f_c + \frac{1}{2\pi} \phi_\Delta x'(t)$
$FM$	$2\pi f_\Delta \int^t x(\lambda) d\lambda$	$f_c + f_\Delta x(t)$

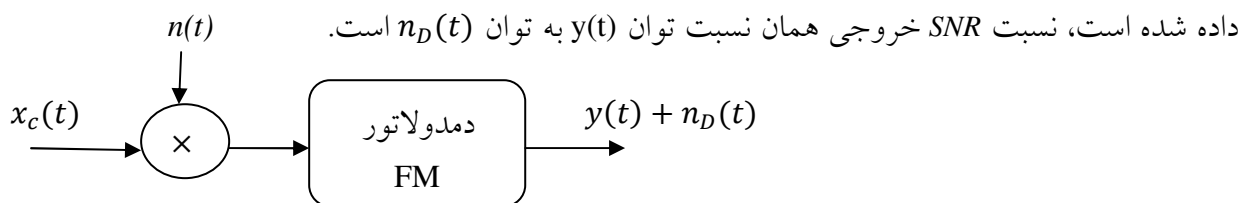
ملاحظه می‌کنید که تفاوت ایندو در یک مشتق گرفتن با انتگرال گرفتن است. لذا اگر مدولاسیون  $PM$  و  $FM$  یک سیگنال سینوسی (مدولاسیون تُن) را بررسی کنیم شکل موج‌های آن‌ها تفاوتی از لحاظ ظاهری با هم ندارند (چرا؟)

در مدولاسیون‌های  $PM$  و  $FM$  دامنه سیگنال مدوله شده برخلاف مدولاسیون‌های خطی ثابت است، پس توان

سیگنال ارسال شده  $PM$  و  $FM$  همواره برابر است با :  $S_T = \frac{1}{2} A_c^2$  توان ارسالی که مستقل از سیگنال  $x(t)$  است.

$PM$  و  $FM$  در بسیاری از موارد شبیه هم هستند اما رفتار آن‌ها در مورد نویز متفاوت است. خاصیت کاهش نویز  $FM$  بیشتر و بهتر از  $PM$  است.

برای اینکار یک دمدولاتور  $FM$  را در نظر بگیرید که سیگنال  $y(t) = f(t) = f_c + f_\Delta x(t)$  را تولید می‌کند. ملاحظه می‌کنید که سیگنال خروجی به  $f_\Delta$  بستگی دارد. هرچه  $f_\Delta$  بزرگتر شود دامنه سیگنال خروجی نیز بیشتر می‌شود بدون اینکه نیاز به افزایش توان ارسالی باشد. حال در مدولاتور فوق که بصورت سیستمی در زیر نشان



به فرض ثابت بودن توان  $n_D(t)$  ملاحظه می‌کنید که با افزایش  $f_\Delta$  می‌توان توان  $y(t)$  را افزایش داد (بدون افزایش توان  $n_D(t)$ ) پس  $SNR$  خروجی افزایش می‌یابد (بدون اینکه توان ارسالی  $S_T$  در فرستنده افزایش یافته باشد) البته توجه کنید که این افزایش  $SNR$  خروجی به بهای پهنای باند بیشتر بدست آمده است. هرچه پهنای باند بیشتری در نظر گرفته شود می‌توان  $SNR$  خروجی را افزایش داد.

## PM و FM باند باریک<sup>۱</sup>:

سیگنال  $x_c(t)$  را بصورت زیر بازنویسی می‌کنیم:

$$x_c(t) = x_{ci}(t) \cos \omega_c t - x_{cq}(t) \sin \omega_c t \quad (*)$$

$$x_{ci}(t) = A_c \cos \phi(t) = A_c \left[ 1 - \frac{1}{2!} \phi^2(t) + \dots \right]$$

$$x_{cq}(t) = A_c \sin \phi(t) = A_c \left[ \phi(t) - \frac{1}{3!} \phi^3(t) + \dots \right]$$

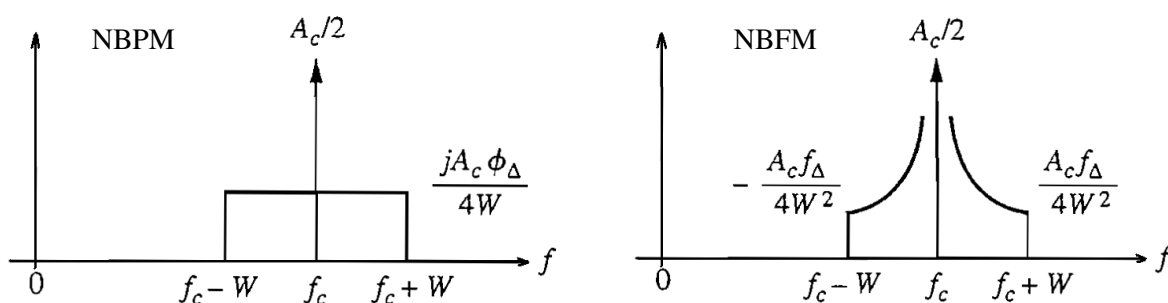
حال شرط ساده کننده [ (1)  $|\phi(t)| \ll 1$  ] را فرض می‌کنیم. بنابراین:

$$x_{ci}(t) \simeq A_c \quad \text{و} \quad x_{cq}(t) \simeq A_c \phi(t)$$

$$\Rightarrow X_c(f) = \frac{1}{2} A_c \delta(f - f_c) + \frac{j}{2} A_c \phi(f - f_c), \quad f > 0 \quad \xrightarrow{\text{که}} \quad \phi(f) = \mathcal{F}\{\phi(t)\} = \begin{cases} \phi_\Delta X(f) & PM \\ -j \cdot f_\Delta \frac{X(f)}{f} & \end{cases}$$

ملاحظه کنید که اگر  $w \ll f_c$  باشد طیف سیگنال  $FM$  و  $PM$  میان‌گذر و با پهنای باند  $2W$  خواهد بود. البته به شرطی که فرض (۱) صادق باشد در غیر اینصورت جمله‌های  $\phi^2(t)$  و  $\phi^3(t)$  و... را نیز باید در نظر گرفت که منجر به افزایش پهنای باند خواهند شد. لذا در صورت در نظر گرفتن فرض (۱) عبارت  $PM$  و  $FM$  باند باریک نامیده می‌شود.

مثال: اگر  $x(t) = \text{sinc} 2wt$  باشد،  $X(f) = \frac{1}{2w} \Pi\left(\frac{f}{2w}\right)$  می‌شود و طیف‌های  $NBPM$  و  $NBFM$  مربوطه چنین خواهند شد:



### مدولاسیون تُن:

برای سادگی تحلیل فرض کنید:

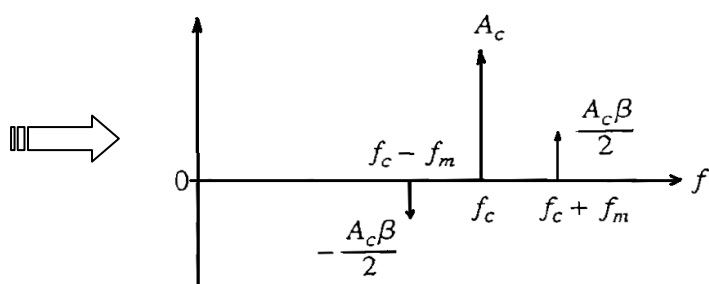
$$x(t) = \begin{cases} A_m \sin \omega_m t & PM \\ A_m \cos \omega_m t & FM \end{cases}$$

$$\Rightarrow \phi(t) = \beta \sin \omega_m t \quad \text{و} \quad \beta \triangleq \begin{cases} \phi_{\Delta} \cdot A_m & PM \\ \frac{A_m}{f_m} \cdot f_{\Delta} & FM \end{cases}$$

پارامتر  $\beta$  را شاخص مدولاسیون  $PM$  و  $FM$  در حالت مدولاسیون تُن گوئیم. در حالت مدولاسیون باند باریک

$\beta \ll 1$  است لذا رابطه \* را بصورت زیر می‌توان نوشت:

$$\begin{aligned} x_c(t) &\simeq A_c \cos \omega_c t - A_c \beta \sin \omega_m t \cdot \sin \omega_c t \\ &\simeq A_c \cos \omega_c t - \frac{1}{2} A_c \beta \cos(\omega_c - \omega_m)t + \frac{1}{2} A_c \beta \cos(\omega_c + \omega_m)t \end{aligned}$$



حال بدون در نظر گرفتن شرط باند باریک بودن (یعنی  $\beta \ll 1$ ) و با  $\beta$  دلخواه، چنین می‌نویسیم:

$$\begin{aligned} x_c(t) &= A_c [\cos \phi(t) \cdot \cos \omega_c t - \sin \phi(t) \cdot \sin \omega_c t] \\ &= A_c [\cos(\beta \sin \omega_m t) \cos \omega_c t - \sin(\beta \sin \omega_m t) \sin \omega_c t] \quad (2) \end{aligned}$$

از جبر مثلثاتی می‌توان نوشت:

$$\begin{cases} \cos(\beta \sin \omega_m t) = J_0(\beta) + \sum_{n \text{ زوج}}^{\infty} 2J_n(\beta) \cdot \cos n\omega_m t \\ \sin(\beta \sin \omega_m t) = \sum_{n \text{ فرد}}^{\infty} 2J_n(\beta) \cdot \sin n\omega_m t \end{cases}$$

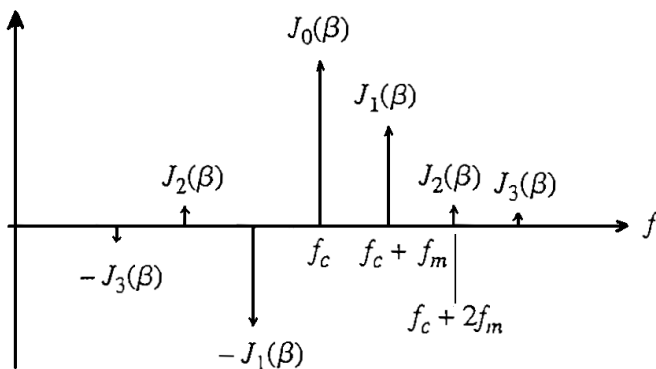
که در عبارت بالا داریم:  $J_n(\beta) \triangleq \frac{1}{2\pi} \int_{-\pi}^{\pi} e^{j(\beta \sin \lambda - n\lambda)} d\lambda$   $\Rightarrow$  تابع بسل نوع اول از مرتبه  $n$

$$x_c(t) = A_c J_0(\beta) \cos \omega_c t \quad \Leftarrow (2) \quad \text{جایگذاری معادلات فوق در (2)}$$

$$+ \sum_{n \text{ فرد}}^{\infty} A_c J_n(\beta) [\cos(\omega_c + n\omega_m)t - \cos(\omega_c - n\omega_m)t]$$

$$+ \sum_{n \text{ زوج}}^{\infty} A_c J_n(\beta) [\cos(\omega_c + n\omega_m)t + \cos(\omega_c - n\omega_m)t]$$

$$J_{-n}(\beta) = (-1)^n J_n(\beta) \Rightarrow x_c(t) = A_c \sum_{n=-\infty}^{\infty} J_n(\beta) \cos(\omega_c + n\omega_m)t$$



ملاحظه می‌شود که طیف FM شامل تعداد بی شماری مؤلفه در فرکانس‌های  $f_c \pm n f_m$  است و اندازه هر مؤلفه

در فرکانس  $f_c \pm n f_m$  برابر  $|J_n(\beta)|$  است.

چند نکته در مورد توابع بسل:

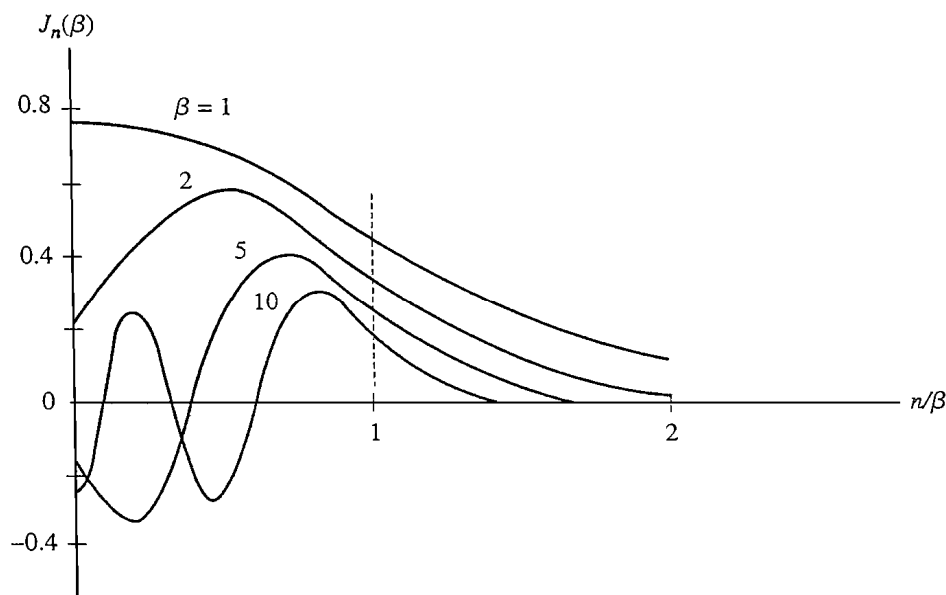
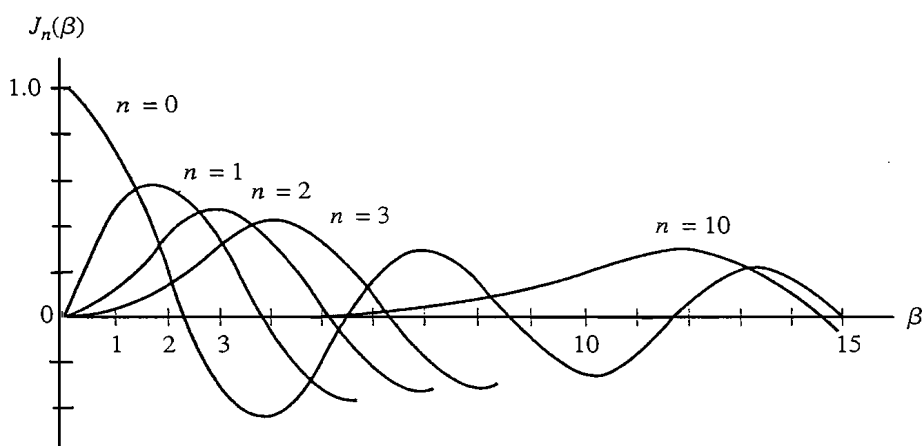
۱- اندازه مؤلفه واقع در  $f_c$  برابر  $J_0(\beta)$  است که  $\beta$  همان اندیس مدولاسیون و وابسته به سیگنال است. پس

برخلاف سیستم‌های مدولاسیون خطی، در اینجا مؤلفه واقع در فرکانس  $f_c$  حاوی اطلاعات است. (مفید است).

همچنین مواقعی پیش می‌آید که این مؤلفه صفر می‌شود. مثلاً بازاء  $\beta = 2.4$  و  $5.5$  و ...

۲- تعداد خطوط باند جانبی که اندازه نسبی دامنه‌هایشان قابل توجه است نیز به  $\beta$  بستگی دارد. اگر  $\beta \ll 1$  باشد فقط  $J_0$  و  $J_1$  مهم هستند و بنابراین همانطور که در مورد  $NBFM$  و  $NBPM$  دیدیم طیف شامل حامل و دو خط جانبی است. اما اگر  $\beta \gg 1$  باشد طیف شامل مولفه‌های بسیار زیادی خواهد بود و پهنای باند به همان نسبت بزرگتر می‌شود.

۳- شکل‌های مربوط به  $J_n(\beta)$  یکی برحسب  $\beta$  و دیگری برحسب  $\frac{n}{\beta}$  مفید هستند.



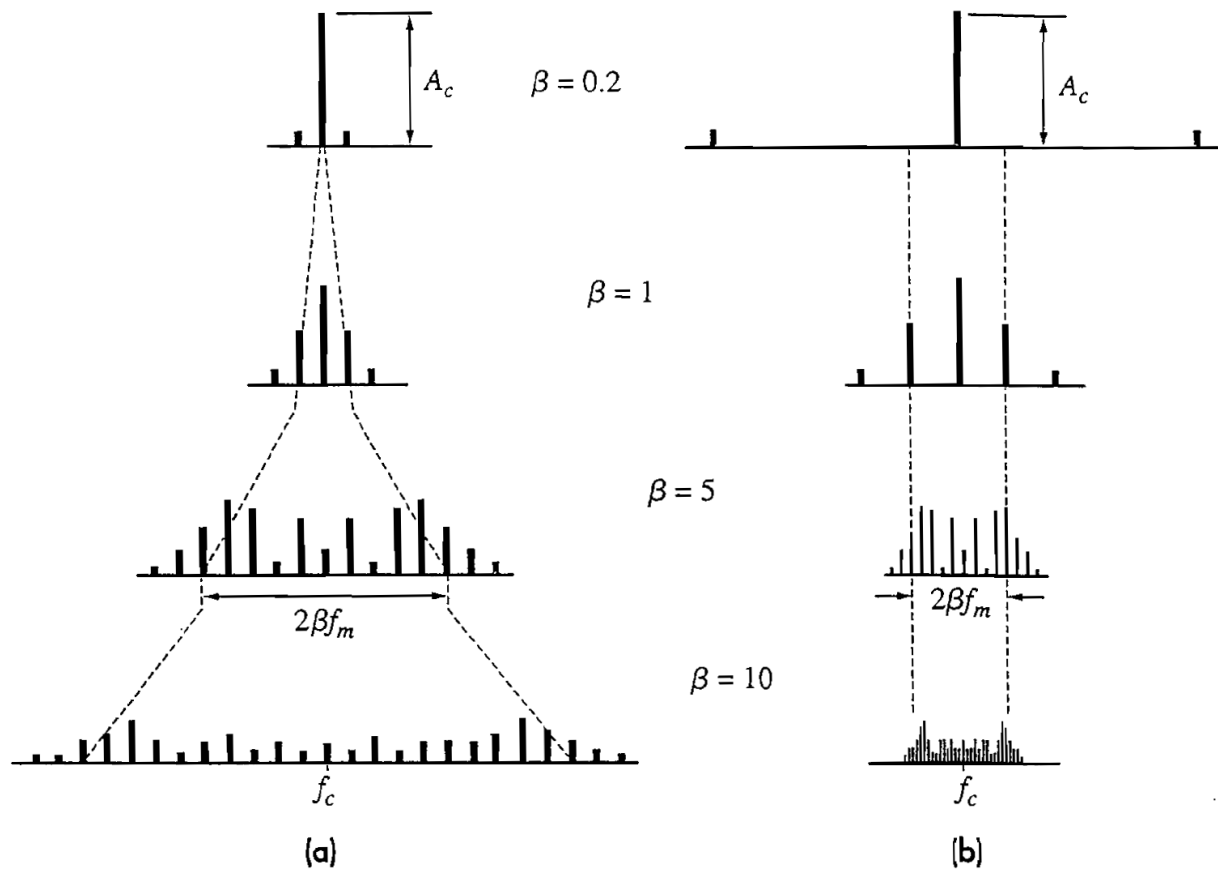
در شکل‌ها ملاحظه می‌کنید که برای  $\frac{n}{\beta} > 1$ ،  $J_n(\beta)$  ها بطور یکنوا کاهش پیدا می‌کنند و برای  $\frac{n}{\beta} \gg 1$ ،

$J_n(\beta) \ll 1$  می‌شود. پس در تعیین پهنای باند ( $n$ ) مقدار  $\beta$  تعیین کننده است. بعنوان تقریب می‌توان پهنای

باند  $BW$  (که در حالت کلی  $n_{bw}f_m$  است) را برابر  $\beta f_m$  در نظر گرفت.

( زیرا باید  $\frac{n_{bw}}{\beta} = 1$  شود.  $\leftarrow B_w = n_{bw}f_m = \beta f_m$  )

طیف  $FM$  یا  $PM$  در دو حالت در شکل های زیر نشان داده شده است :



در شکل (a) که هم برای  $PM$  و هم برای  $FM$  مناسب است  $f_m$  ثابت بوده و  $\beta$  تغییر می کند.

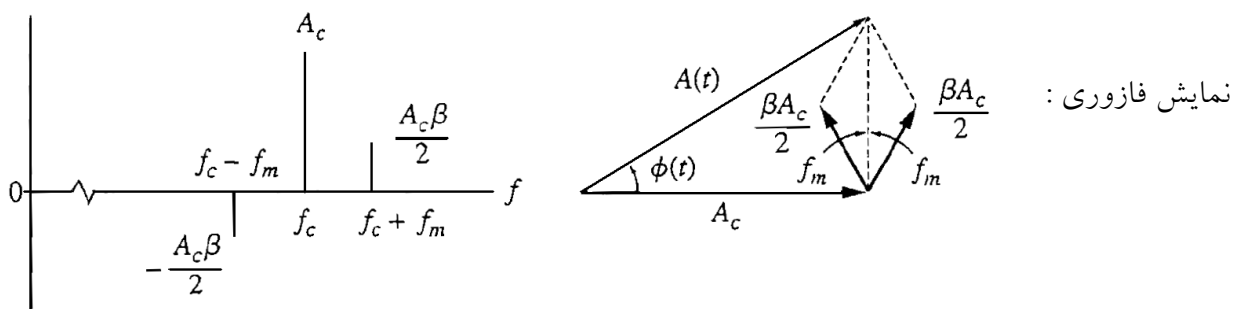
در شکل (b) که مناسب تحلیل فقط  $FM$  است،  $A_m f_m$  ثابت است و با افزایش (کاهش)  $f_m$ ،  $\beta$  کاهش (افزایش)

می یابد. خطوط نقطه چین پهنای باند را نشان می دهند.

### بررسی فازوری مدولاسیون نمایی در حالت تک تُن :

ابتدا حالت باند باریک را بررسی می کنیم :

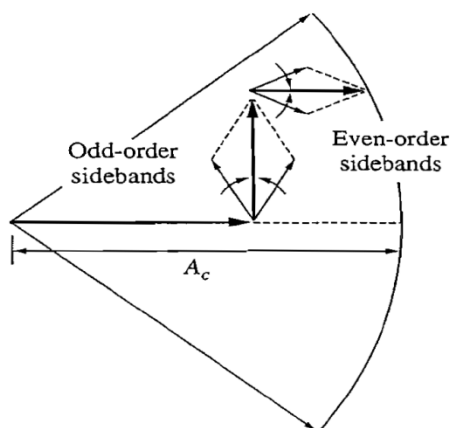
$$\begin{aligned}
 NB: x_c(t) &\simeq A_c \cos \omega_c t - A_c \beta \sin \omega_m t \cdot \sin \omega_c t \\
 &\simeq A_c \cos \omega_c t - \frac{A_c \beta}{2} \cos(\omega_c - \omega_m) t + \frac{A_c \beta}{2} \cos(\omega_c + \omega_m) t
 \end{aligned}$$



پوش  $A(t) \cong \sqrt{A_c^2 + \left(2\frac{\beta}{2}A_c \sin \omega_m t\right)^2} \simeq A_c \left[1 + \frac{\beta^2}{4} - \frac{\beta^2}{4} \cos 2\omega_m t\right]$

فاز  $\phi(t) \simeq \tan^{-1} \left[ \frac{2\left(\frac{\beta}{2}\right)A_c \sin \omega_m t}{A_c} \right] \simeq \beta \sin \omega_m t$

ملاحظه می‌کنید که فاز همانگونه است که باید می‌بود اما دامنه بجای اینکه ثابت باشد متغیر است. (اعوجاج)



در حالت  $\beta$  دلخواه تعداد بسیار زیادی فازور با مرتبه‌های

فرد و زوج داریم که باهم ترکیب می‌شوند :

مرتبه‌های فرد پاسخ فاز مناسب و مرتبه‌های زوج پاسخ

دامنه مناسب را ایجاد می‌کنند.

### محاسبه پهنای باند FM:

همانطور که گفته شده برای  $\beta \gg 1$ ،  $J_n(\beta)$  بازاء  $\left|\frac{n}{\beta}\right| > 1$  ناچیز است.

لذا مولفه‌های مهم در  $|n| \leq \beta = \frac{A_m f_\Delta}{f_m}$  یا به عبارت دیگر در محدوده فرکانسی  $f_c \pm \beta f_m = f_c \pm A_m f_\Delta$

قرار دارند. اگر  $\beta \ll 1$  باشد تمام مولفه‌ها در مقایسه با حامل ناچیز هستند اما ما حداقل یکی از این مولفه‌ها را

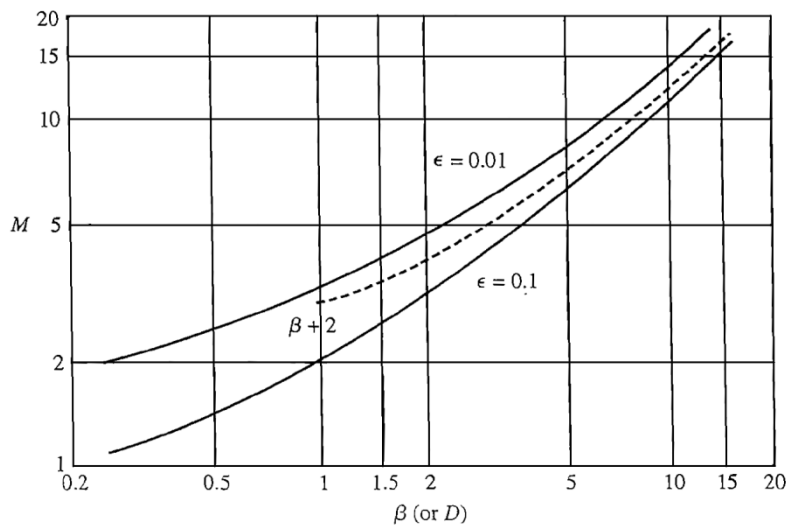
نگه داشته و بعنوان طیف (پهنای باند) در نظر می‌گیریم زیرا در غیر اینصورت خود حامل به تنهایی معرف

مدولاسیون نمایی نخواهد بود. پس برای  $\beta$  کوچک مولفه‌های مهم را در فاصله  $f_c \pm f_m$  فرض می‌کنیم. در

حالت کلی می‌توان نوشت :  $B = 2M(\beta)f_m$  ،  $M(\beta) \geq 1$  پهنای باند



که  $M(\beta)$  عدد طبیعی است که بازاء آن  $J_M(\beta) > \varepsilon$  و  $J_{M+1}(\beta) < \varepsilon$  است که  $\varepsilon$  یک مقدار آستانه است. (وابسته به کاربرد بین 0.01 تا 0.1 است). این عدد همانطور که دیدیم تابعی از  $\beta$  است، لذا بصورت  $M(\beta)$  نوشته می‌شود. بازاء  $\varepsilon = 0.01$  پهنای باند خیلی سخت‌گیرانه و بازاء  $\varepsilon = 0.1$  پهنای باند نسبتاً بدون احتیاط (همراه با اعوجاج) انتخاب شده است. لذا معمولاً بین ایندو انتخاب می‌شود. نمودار  $M(\beta)$  برحسب  $\beta$  در دو حالت مذکور در شکل زیر نشان داده شده است:



(توجه کنید که  $B$  زمانی همان پهنای باند انتقال است که  $\beta$  برای ماکزیمم فرکانس موجود در سیگنال و با ماکزیمم دامنه محاسبه شده باشد)

$$M(\beta) \approx \beta + 2 \Rightarrow B \cong 2(\beta + 2)f_m = 2(A_m f_\Delta + 2f_m) \Rightarrow$$

$$(A_m = 1 \text{ و } f_m = w) \text{ پهنای باند انتقال } B_T \cong 2(f_\Delta + 2w) \xrightarrow{\text{به شرط}} \beta > 2$$

توجه کنید که در رابطه  $B_T$ ،  $\beta$  متناظر با ماکزیمم فرکانس است و بزرگترین  $\beta$  نیست. ولی تمام مولفه‌های دیگر پهنای باندی کمتر از  $B_T$  خواهند داشت.

گرچه در حالت مدولاسیون نمایی نمی‌توان از اصل جمع آثار استفاده کرد اما همانطور که در تحلیل قبلی خود در مورد مدولاسیون چند تُن دیدیم پهنای باند تحت تأثیر فرکانس غالب قرار دارد. لذا در حالت سیگنال دلخواه

$x(t)$  با پهنای باند  $W$ ، پهنای باند  $B_T$  را در شرایط بدترین حالت (بزرگترین مؤلفه فرکانسی  $x(t)$ ) بدست می‌آوریم. بنابراین با تعمیم مدولاسیون تُن به یک سیگنال دلخواه  $x(t)$ ، نسبت انحراف<sup>۱</sup> را چنین تعریف می‌کنیم:

$$D \triangleq \frac{f_{\Delta}}{W}$$

ملاحظه می‌کنید که  $D$  برابر تقسیم بیشترین انحراف فرکانسی به بیشترین مؤلفه فرکانسی موجود در سیگنال است. از نتایج قبل می‌توان پهنای باند انتقال  $B_T$  را چنین نوشت:

$$B_T = 2M(D)W$$

در عبارت بالا  $D$  معادل  $\beta$  است.

برای تقریب  $M(D)$  در حالت‌های حدی معمولاً از رابطه زیر استفاده می‌شود:

$$B_T = \begin{cases} 2DW = 2f_{\Delta} & D \gg 1 \\ 2W & D \ll 1 \end{cases}$$

دو نتیجه فوق را می‌توان در رابطه زیر با هم ترکیب کرد:

$$B_T \simeq 2(f_{\Delta} + W) = 2(D + 1)W \quad \begin{cases} D \gg 1 \\ D \ll 1 \end{cases} \quad \text{قاعده کارلسون}^2$$

در عمل مخصوصاً برای سیستم‌های  $FM$ ،  $2 < D < 10$  است لذا تقریب فوق چندان مناسب نیست. در حقیقت تقریب فوق مقداری کمتر از مقدار واقعی را بدست می‌دهد.

در این حالت یک تقریب بهتر چنین است:

$$B_T \simeq 2(f_{\Delta} + 2W) = 2(D + 2)W \quad \text{for } D > 2$$

که از آن می‌توان برای محاسبه پهنای باند  $3dB$  تقویت‌کننده‌های  $FM$  استفاده کرد.

همانطور که در مورد  $FM$  از پارامتر  $D$  استفاده کردیم در مورد  $PM$  نیز می‌توان از  $\phi_{\Delta}$  در رابطه  $B_T$  استفاده کرد:

$$B_T = 2M(\phi_{\Delta})W \quad M(\phi_{\Delta}) \geq 1$$

معادل قاعده کارلسون در این حالت چنین می‌شود:

$$B_T \simeq 2(\phi_{\Delta} + 1)W$$

نکته‌ای که در این حالت باید به آن اشاره داشت این است که برخلاف  $D$  که به  $W$  وابستگی داشت،  $\phi_{\Delta}$  در اینجا مستقل از  $W$  است.

1. deviation ratio  
3. underestimate

2. Carson's rule

$$\begin{aligned} \text{NBFM} : D \ll 1 \\ \text{NBPM} : |\phi_\Delta| \ll 1 \Rightarrow B_T \simeq 2W \end{aligned}$$

برای FM و PM باند باریک داریم :

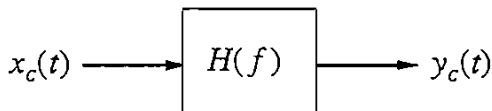
$$\text{WBFM} : D \gg 1 \Rightarrow B_T \simeq 2f_\Delta \gg W$$

برای FM باند وسیع داریم :

اما PM باند وسیع (WBPM) وجود ندارد، زیرا طبق تعریف اولیه PM، همیشه  $\phi_\Delta \leq \pi$  است، درحالیکه برای WBPM باید  $\phi_\Delta \gg 1$  باشد که این مخالف با فرض در نظر گرفته شده است.

## اعوجاج خطی :

در اثر عبور سیگنال FM یا PM از یک شبکه خطی ممکن است روی دهد :

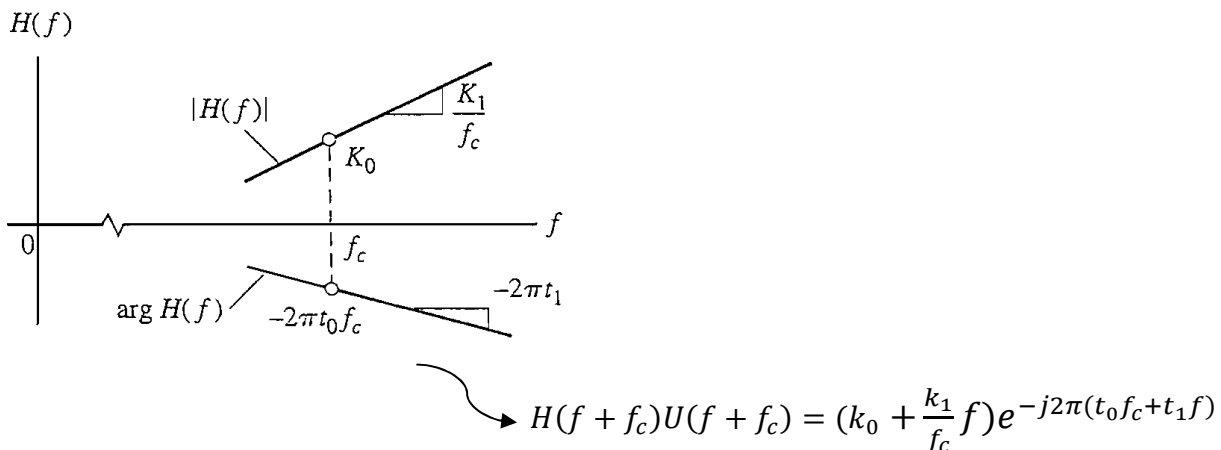


$$x_c(t) = \frac{1}{2} A_c e^{j(\omega_c t + \phi(t))} \Rightarrow x_{lp}(t) = \frac{1}{2} A_c e^{j\phi(t)}$$

$$H(f) \text{ معادل پایین گذر} = H(f + f_c)U(f + f_c) \Rightarrow Y_{lp}(f) = H(f + f_c)U(f + f_c)X_{lp}(f)$$

$$\text{تبدیل به حالت میان گذر} \Rightarrow y_c(t) = 2\text{Re}[y_{lp}(t)e^{j\omega_c t}]$$

در عمل محاسبه ی  $Y_{lp}(f)$  و  $X_{lp}(f)$  بسیار مشکل است. برای ادامه تحلیل حالت ساده زیر را در نظر می گیریم:



$$\Rightarrow Y_{lp}(f) = k_0 e^{-j\omega_c t} [X_{lp}(f) e^{-j2\pi t_1 f}] + \frac{k_1}{j\omega_c} e^{-j\omega_c t} [(j2\pi f) X_{lp}(f) e^{-j2\pi t_1 f}]$$

$$\Rightarrow y_{lp}(t) = k_0 e^{-j\omega_c t} \cdot x_{lp}(t - t_1) + \frac{k_1}{j\omega_c} e^{-j\omega_c t} \cdot \dot{x}_{lp}(t - t_1)$$

$$\text{از طرفی: } x_{lp}(t - t_1) = \frac{d}{dt} \left[ \frac{1}{2} A_c e^{j\phi(t-t_1)} \right] = \frac{j}{2} A_c \dot{\phi}(t - t_1) e^{j\phi(t-t_1)}$$

$$\Rightarrow \begin{cases} y_c(t) = A(t) \cos[\omega_c(t - t_0) + \phi(t - t_1)] \\ A(t) = A_c \left[ k_0 + \frac{k_1}{\omega_c} \phi(t - t_1) \right] \end{cases} \rightarrow \text{اعوجاج خطی}$$

در حالت FM،  $\phi(t) = 2\pi f_\Delta x(t)$  است لذا:

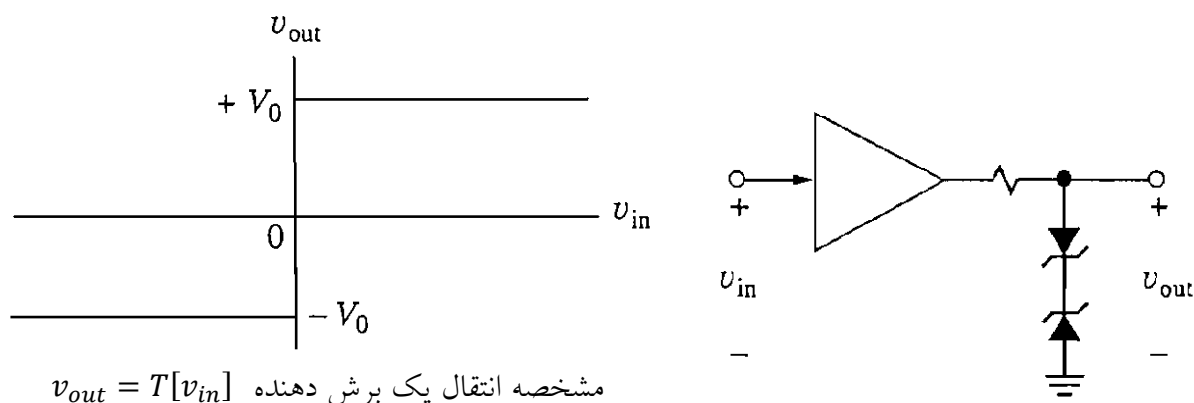
$$A(t) = A_c \left[ k_0 + \frac{k_1 f_\Delta}{f_c} x(t - t_1) \right]$$

ملاحظه می‌کنید که رابطه مربوط به مدولاسیون AM با  $\mu = \frac{k_1 f_\Delta}{f_c k_0}$  است. بنابراین سیستم خطی فوق باعث

تبدیل FM به AM شده است.

اعوجاج فوق را می‌توان به کمک یک محدودکننده سخت ایده‌آل<sup>۱</sup> یا برش دهنده<sup>۲</sup> از بین برده و دوباره موج

FM بدست آورد:



برای تحلیل از سری فوریه  $v_{out}(t)$  استفاده می‌کنیم.

اگر ورودی را بصورت  $v_{in}(t) = A(t) \cos \theta_c(t)$  بنویسیم ملاحظه می‌شود که خروجی و ورودی هردو با

دوره تناوب  $2\pi$  متناوب هستند. بسط سری فوریه خروجی چنین خواهد شد:

$$v_{out}(t) = \sum_{n=1}^{\infty} |2a_n| \cos(n\theta_c(t) + \angle a_n) \quad \text{و} \quad a_n = \frac{1}{2\pi} \int_{2\pi} T[v_{in}] e^{-jn\theta_c} d\theta_c$$

نتیجه نهایی چنین خواهد شد:

$$v_{out}(t) = \frac{4v_o}{\pi} \cos(\omega_c t + \phi(t)) - \frac{4v_o}{3\pi} \cos(3\omega_c t + 3\phi(t)) + \dots$$

حال به کمک یک BPF می‌توان مؤلفه مورد نظر را جدا کرد و موج FM بدست آورد.

1. ideal hard limiter

2. clipper

## تولید مستقیم FM:

الف- در فرکانس‌های بالا: به کمک VCO<sup>۱</sup> مانند لامپ کلیسترون<sup>۲</sup> ( $f > 1\text{GHz}$ )

ب- در فرکانس‌های پایین:  $\left. \begin{array}{l} ۱- انتقال نتیجه قبلی به فرکانس‌های پایین<sup>۳</sup> \\ ۲- تغییرات امپدانس با سیگنال، بطور مثال در یک مدار تشدید LC: \end{array} \right\}$

$$C(t) = C_0 - Cx(t) \Rightarrow \text{خروجی نوسان ساز } x_c(t) = A_c \cos \theta_c(t)$$

$$\theta_c'(t) = \frac{1}{\sqrt{LC(t)}} = \frac{1}{\sqrt{LC_0}} \left[ 1 - \frac{C}{C_0} x(t) \right]^{-\frac{1}{2}} \quad \text{if } \begin{cases} \omega_c = \frac{1}{\sqrt{LC_0}} \\ \left| \frac{C}{C_0} x(t) \right| \ll 1 \end{cases} \Rightarrow$$

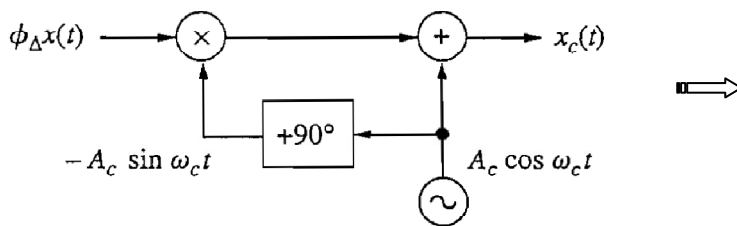
$$\theta_c'(t) \simeq \omega_c \left[ 1 + \frac{C}{2C_0} x(t) \right] \Rightarrow \theta_c(t) \simeq 2\pi f_c t + 2\pi \frac{C}{2C_0} f_c \int^t x(\lambda) d\lambda$$

که همان مدولاسیون فرکانسی با  $f_\Delta = \frac{C}{2C_0} \cdot f_c$  است.

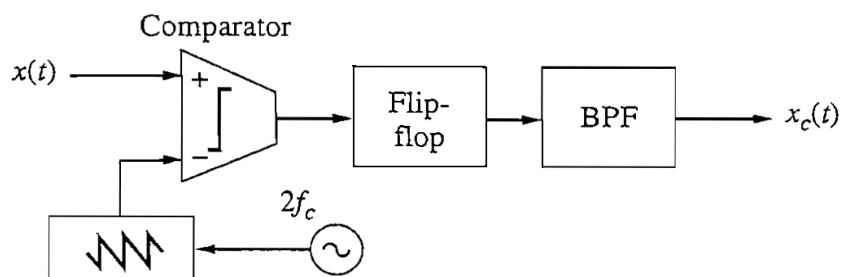
## تولید PM:

۱- PM باند باریک (NBPM): با توجه به رابطه  $x_c(t) \simeq A_c \cos \omega_c t - A_c \phi_\Delta x(t) \cdot \sin \omega_c t$ ، مدولاتور

NBPM چنین است:



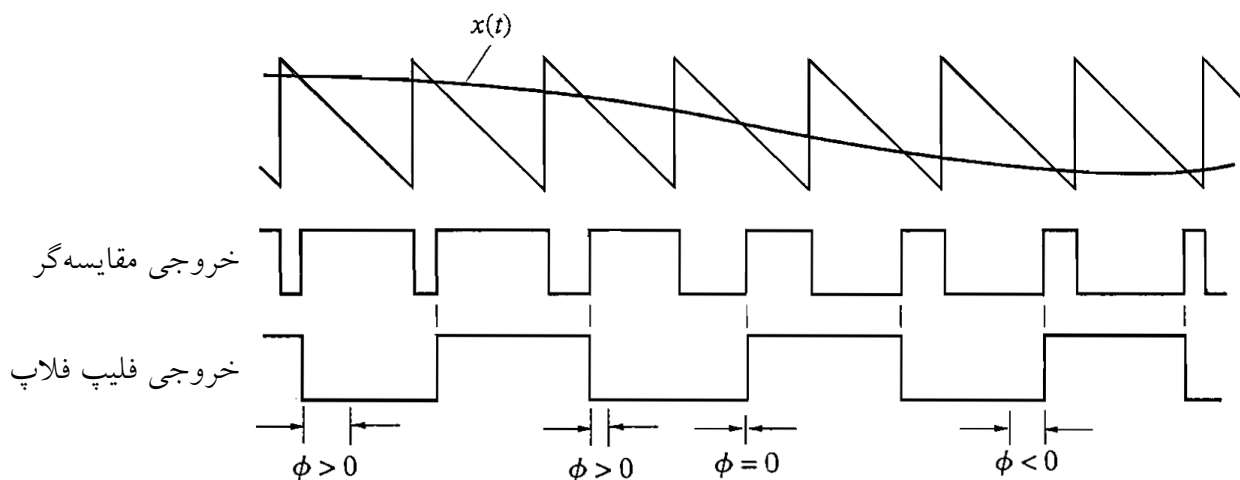
۲- تولید PM معمولی: برای داشتن شیفت‌فازهای بزرگتر می‌توان از طرح زیر استفاده کرد:



1. voltage controlled oscillator
3. down-convert

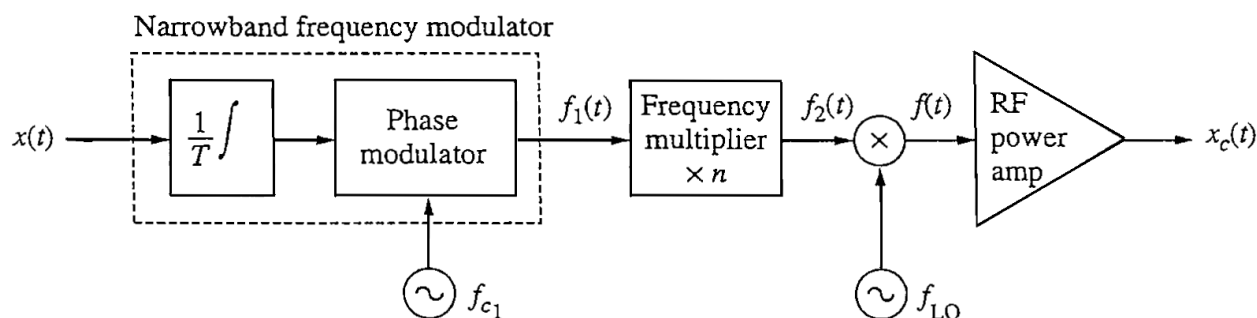
2. klystron tube

نحوه عملکرد مدار بالا بصورت زیر است :



### تولید غیرمستقیم FM:

ابتدا NBFM و سپس FM می‌سازیم. برای اینکار می‌توان از طرح زیر استفاده کرد :



$$f_1(t) = f_{c_1} + \frac{\phi_{\Delta}}{2\pi T} x(t) \Rightarrow \text{انحراف فرکانسی اولیه } f_{\Delta_1} = \frac{\phi_{\Delta}}{2\pi T}$$

انحراف فرکانس نهایی که مطلوب ما است،  $f_{\Delta}$  است. مقدار  $f_{\Delta_1}$  را به کمک ضرب کننده فرکانسی به  $f_{\Delta}$  می‌رسانیم. لذا خروجی واحد مذکور دارای فرکانس لحظه‌ای زیر است :

$$f_2(t) = n f_1(t) = n f_{c_1} + f_{\Delta} \cdot x(t) \quad \text{و} \quad f_{\Delta} = n \cdot \frac{\phi_{\Delta}}{2\pi T}$$

ملاحظه می‌کنید که فرکانس حامل نیز در  $n$  ضرب شده است که ممکن است بزرگتر از مقدار مورد نظر ما باشد. برای بدست آوردن فرکانس حامل مطلوب  $f_c$ ، از شیفت یا تبدیل فرکانسی<sup>۱</sup> استفاده می‌کنیم. فرکانس

نوسان ساز محلی  $f_{lo}$  طوری تعیین می شود که  $f_c = |nf_{c1} \pm f_{lo}|$  شود. در این حالت، فرکانس لحظه خروجی،

$$f(t) = f_c + f_{\Delta} \cdot x(t) \quad \text{برابر می شود با :}$$

## آشکارسازی فرکانسی :

یک آشکارساز فرکانسی<sup>۱</sup> یا مجزا ساز<sup>۲</sup> باید ولتاژ خروجی آن متناسب با فرکانس لحظه ای سیگنال ورودی باشد.

دسته های مختلف آشکارسازی فرکانسی عبارتند از :

۱- تبدیل  $FM$  به  $AM$       ۲- مجزاساز بر مبنای شیفت فاز<sup>۳</sup>

۳- آشکارساز عبور از صفر<sup>۴</sup>      ۴- فیدبک فرکانسی

در ادامه سه دسته اول را بررسی می کنیم.

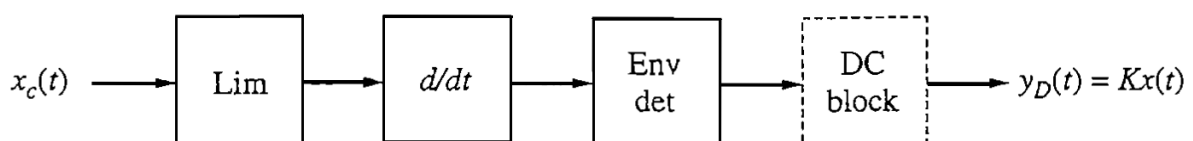
**دسته اول :** در این دسته خروجی مشتق زمانی ورودی است. با این کار همانطور که دیدیم  $FM$  به  $AM$  تبدیل

$$x_c(t) = A_c \cos \theta_c(t) \quad \text{و} \quad \dot{\theta}_c(t) = 2\pi[f_c + f_{\Delta} \cdot x(t)] \Rightarrow \text{می شود.}$$

$$\Rightarrow \dot{x}_c(t) = -A_c \dot{\theta}_c(t) \sin \theta_c(t) = 2\pi A_c [f_c + f_{\Delta} \cdot x(t)] \sin(\theta_c(t) \pm 180^\circ)$$

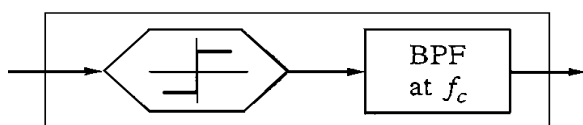
حال می توان از یک آشکارساز پوش برای بدست آوردن فرکانس لحظه ای  $f(t) = f_c + f_{\Delta} \cdot x(t)$  استفاده کرد.

بلوک دیاگرام این روش چنین است :



ورودی  $x_c(t)$  ابتدا به یک محدودکننده<sup>۵</sup> داده می شود تا تغییرات ناخواسته و تصادفی دامنه سیگنال  $x_c(t)$

حذف شود. واحد محدودکننده معمولاً چنین است :



1. frequency detector
4. Zero-crossing detection

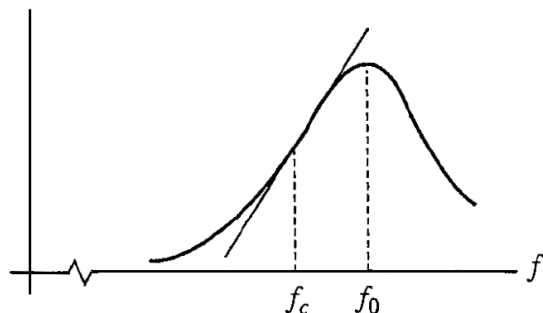
2. Discriminator
5. limiter

3. phase-shift discrimination

واحد حذف DC نیز برای حذف مؤلفه DC ناشی از حامل است.

همانطور که می‌دانیم یک مشتق‌گیر حول نقطه کار خود پاسخ فرکانسی بصورت  $|H(f)| = 2\pi f$  دارد. همانطور

$|H(f)|$



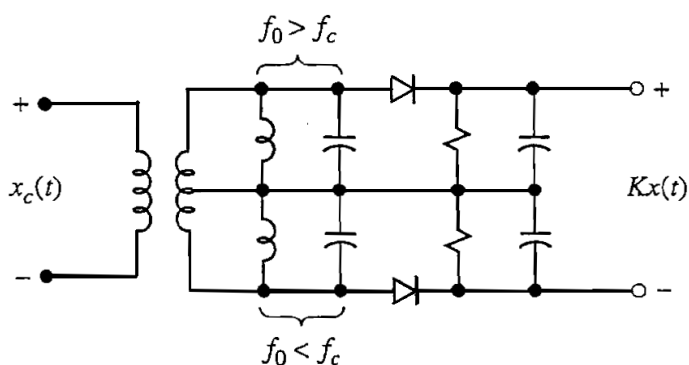
که در روبرو نشان داده شده یک مدار تشدید معمولی نیز

در قسمتی از پاسخ خود چنین رفتاری دارد.

(رفتار خطی = خاصیت مشتق‌گیری) اما محدوده خطی

مذکور کوچک است.

برای افزایش محدوده خطی می‌توان مطابق شکل زیر از مدار مجزا ساز متعادل<sup>۱</sup> استفاده کرده است :

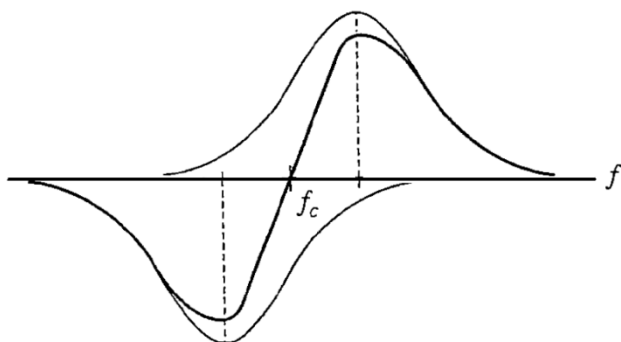


ملاحظه می‌کنید که مدار روبرو از دو مدار

تشدید که یکی بالای  $f_c$  و دیگری پایین

$f_c$  تنظیم شده تشکیل شده است. خروجی

برابر تفاضل پاسخ دو مدار تشدید است.



خروجی مدار بالا

در اینحالت نیاز به واحد حذف DC نداریم؛ زیرا در حین تفاضل‌گیری، مقادیر DC از هم کم می‌شوند.

**دسته دوم :** آشکارسازهای برمبنای شیفت فاز، پاسخ فاز خطی دارند. (برخلاف دسته قبل که پاسخ دامنه خطی

داشتند.)

$$\frac{dv}{dt} = v'(t) \approx \frac{1}{t_1} [v(t) - v(t - t_1)]$$

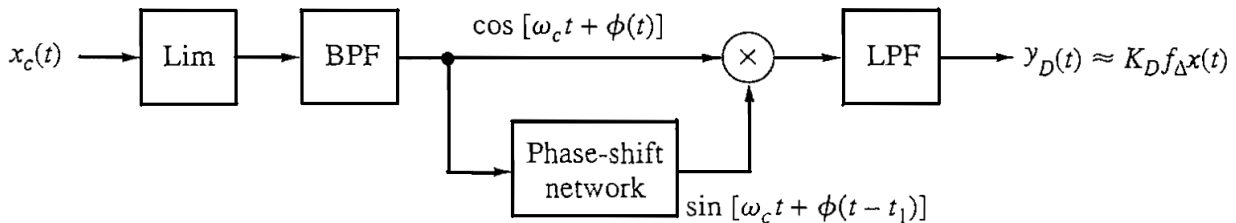
اصول کار آن‌ها برمبنای رابطه روبرو است :



حال اگر  $v(t)$  سیگنال FM با  $\phi'(t) = 2\pi f_\Delta x(t)$  باشد داریم :

$$\phi(t) - \phi(t - t_1) \simeq t_1 \phi'(t) = 2\pi f_\Delta \cdot t_1 \cdot x(t)$$

شکل زیر چنین طرحی را نشان می دهد :

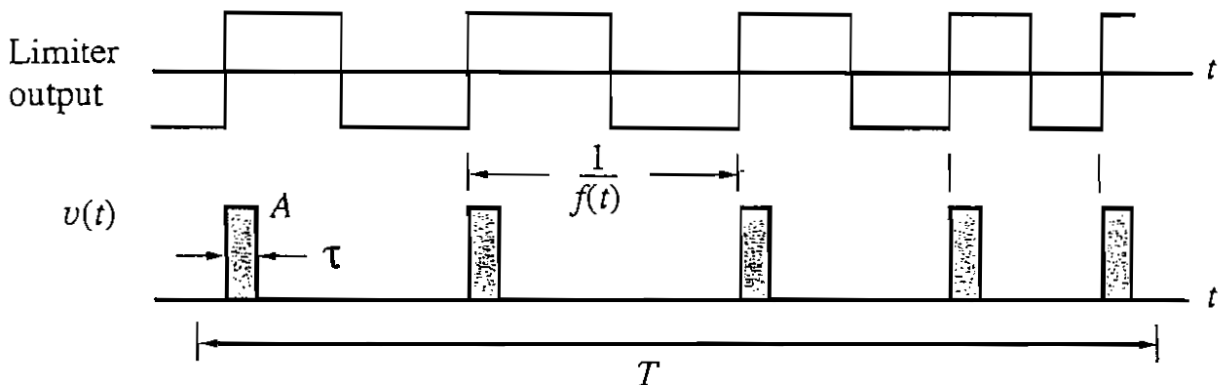
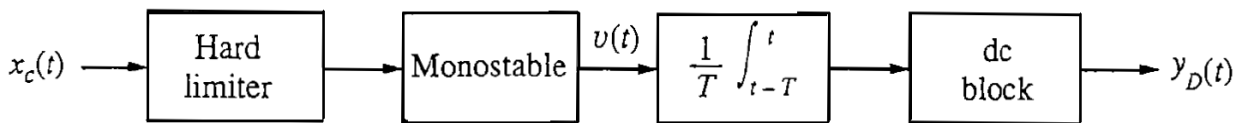


خروجی LPF در حقیقت چنین است :

$$\sin[\phi(t) - \phi(t - t_1)] \simeq \phi(t) - \phi(t - t_1) \quad ; \quad |\phi(t) - \phi(t - t_1)| \ll \pi$$

$$\Rightarrow y_D(t) \simeq k_D f_\Delta x(t)$$

دسته سوم : شکل زیر اصول عملکرد آشکارساز عبور از صفر را نشان می دهد :



زمان  $T$  را طوری انتخاب می کنیم که  $w \ll \frac{1}{T} \ll f_c$ . لذا سیگنال  $v(t)$  قطار پالسی با دوره تناوب تقریباً ثابت

است. تعداد پالس ها در زمان  $T$  برابر  $n_T \simeq T f(t)$  است. لذا :  $\frac{1}{T} \int_{t-T}^t v(\lambda) d\lambda = \frac{1}{T} n_T \cdot A \cdot \tau \simeq A \tau f(t)$

$$\Rightarrow y_D(t) \simeq k_D f_\Delta x(t)$$

محدوده کاری آشکارساز فوق بین 1HZ تا 10MHZ است. برای افزایش محدوده کاری می‌توان از یک شمارنده تقسیم بر ۱۰ بعد از واحد محدودکننده سخت استفاده کرد تا محدوده کاری تا 100MHZ نیز افزایش یابد.

## تداخل:

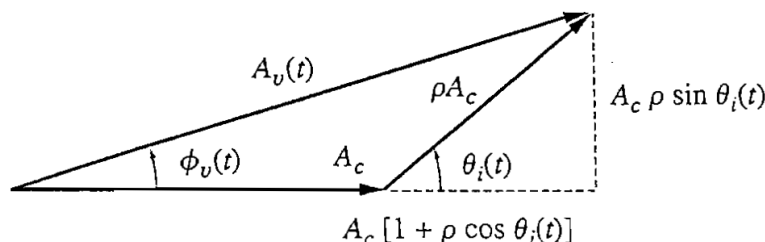
به ترکیب یک سیگنال مفید حاوی اطلاعات با سیگنال دیگری که معمولاً ناشی از یک منبع انسانی است گفته می‌شود. بطور مثال درآنتن گیرنده که همزمان چندین سیگنال روی یک محدوده فرکانسی دریافت می‌شوند. یا دریافت یک سیگنال مشخص از چند مسیر مختلف با تأخیرهای متفاوت.

## بررسی تداخل در حالت تن:

فرض کنید کل سیگنال دریافتی یک گیرنده که روی  $f_c$  تنظیم شده چنین باشد:

$$v(t) = A_c \cos \omega_c t + A_i \cos[(\omega_c + \omega_i)t + \phi_i]$$

$$= A_v(t) \cos[\omega_c t + \phi_v(t)] \quad , \quad \rho \triangleq \frac{A_i}{A_c} \quad , \quad \theta_i(t) \triangleq \omega_i t + \phi_i$$



$$\Rightarrow \begin{cases} A_v(t) = A_c \sqrt{1 + \rho^2 + 2\rho \cos \theta_i(t)} \\ \phi_v(t) = \tan^{-1} \frac{\rho \sin \theta_i(t)}{1 + \rho \cos \theta_i(t)} \end{cases} \quad \Rightarrow \quad \text{هم مدولاسیون دامنه و هم فاز داریم}$$

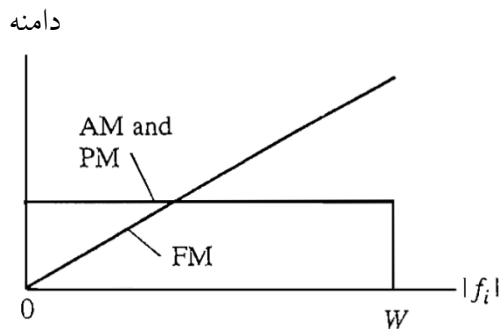
$$\text{if } \rho \ll 1 \Rightarrow \begin{cases} A_v(t) \simeq A_c [1 + \rho \cos(\omega_i t + \phi_i)] & \text{شبهه مدولاسیون AM با } \mu = \rho \\ \phi_v(t) \simeq \rho \sin(\omega_i t + \phi_i) & \text{شبهه مدولاسیون PM و FM با } \beta = \rho \text{ است.} \end{cases}$$

$$\text{if } \rho \gg 1 \Rightarrow \begin{cases} A_v(t) \simeq A_i [1 + \rho^{-1} \cos(\omega_i t + \phi_i)] \\ \phi_v(t) \simeq \omega_i t + \phi_i \end{cases} \quad \rightarrow \quad \text{پوش همچنان مدولاسیون AM را دارد.}$$

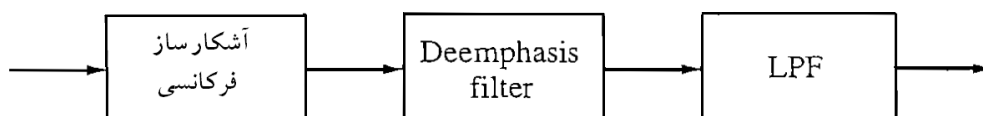
حال اگر  $v(t)$  را به یک مدولاتور  $AM$ ، یک مدولاتور فرکانسی با ثابت  $k_D$  اعمال کنیم، به فرض  $\rho \ll 1$  و  $\phi_i = 0$  بدست خواهیم آورد:

$$y_D(t) \approx \begin{cases} k_D(1 + \rho \cos \omega_i t) & AM \\ k_D \rho \sin \omega_i t & PM \\ k_D \rho f_i \cos \omega_i t & FM \end{cases} \quad \text{تا توسط فیلتر } LP \text{ حذف نشود} \quad f_i \leq W \quad \text{به شرط}$$

ملاحظه می‌کنید که در  $AM$  و  $PM$  یک سیگنال ناخواسته بوجود آمده که متناسب با  $\rho$  است. و در  $FM$  علاوه بر  $\rho$  به  $f_i$  نیز بستگی دارد. پس اگر سیگنال تداخل کننده سیگنال، هم‌کانال با سیگنال اصلی و با همان فرکانس حامل باشد ( $f_i = 0$ )،  $FM$  مصون از سیگنال ناخواسته خواهد بود و کمترین آسیب را خواهد دید. اما اگر سیگنال ناخواسته مربوط به کانال مجاور باشد ( $f_i \neq 0$ )،  $FM$  بیشترین آسیب را خواهد دید.



### فیلترهای Preemphasis و Deemphasis:



فیلتر  $deemphasis$  باعث کاهش اثر اعوجاج ناشی از سیگنال ناخواسته می‌شود.

برای جبران اثر فیلتر  $deemphasis$  روی سیگنال مطلوب، در فرستنده باید سیگنال اصلی را از یک فیلتر که

عکس منحنی فیلتر  $deemphasis$  است و فیلتر  $preemphasis$  یا  $predistorting$  نام دارد عبور دهیم:

$$H_{pe}(f) = \frac{1}{H_{de}(f)} \quad |f| \leq W$$

$$H_{de}(f) = \left[ 1 + j \left( \frac{f}{B_{de}} \right) \right]^{-1} \approx \begin{cases} 1 & |f| \ll B_{de} \\ \frac{B_{de}}{jf} & |f| \gg B_{de} \end{cases} \quad \text{معمولاً:}$$

که  $B_{de}$  تا حد قابل ملاحظه‌ای کمتر از  $W$  است.

$$H_{pe}(f) = \left[ 1 + j \left( \frac{f}{B_{de}} \right) \right] \approx \begin{cases} 1 & |f| \ll B_{de} \\ \frac{jf}{B_{de}} & |f| \gg B_{de} \end{cases}$$

ملاحظه می‌کنید که قبل از مدولاسیون  $FM$  از سیگنال مشتق گرفته شده است، و این در حقیقت مدولاسیون فاز

است. لذا  $preemphasized FM$  در حقیقت ترکیبی از  $FM$  و  $PM$  است.

